



TST



ES

Extractores helicoidales tubulares 400°C/2h y 300°C/2h

Extractores helicoidales tubulares con carcasa corta, para trabajar inmersos en zonas de riesgo de incendios 400°C/2h.

Ventilador:

- Envoltente en chapa de acero
- Hélices en fundición de aluminio
- Homologación según norma EN 12101-3:2002/AC:2006
- Dirección aire motor-hélice

Motor:

- Motores clase H, uso continuo S1 y uso emergencia S2, con rodamientos a bolas, protección IP55, de 1 ó 2 velocidades según modelo
- Trifásicos 230/400V.-50Hz. (hasta 4CV.) y 400/690V.-50Hz. (potencias superiores a 4CV.)
- Temperatura máxima del aire a transportar: Servicio S1 -20°C+ 40°C en continuo, Servicio S2 300°C/2h, 400°C/2h

Acabado:

- Anticorrosivo en resina de poliéster, polimerizada a 190°C., previo desengrase alcalino y pretratamiento libre de fosfatos

Bajo demanda:

- Extractores con carcasa larga equipada con trampilla de inspección
- Hélices reversibles 100%

DE

Rohr-Axialventilatoren 400°C/2h und 300°C/2 h

Rohr-Axialventilatoren mit kurzem Gehäuse zum Einsatz in feuergefährdeten Bereichen (400°C/2h).

Ventilator:

- Zylindrische Ummantelung aus Stahlblech
- Verstellbare Laufräder aus Aluminiumguss
- Zulassung gemäß Richtlinie EN 12101-3:2002/AC:2006
- Förderrichtung Motor-Laufrad

Motor:

- Motoren der Isolierklasse H, Dauerbetrieb S1 und Notbetrieb S2, mit Kugellagern, Schutzart IP55, je nach Modell mit 1 oder 2 Drehzahlen
- Drehstrommotoren (230/400 V, 50 Hz bis 4 PS und 400/690 V, 50 Hz für Leistungen über 4 PS)
- Höchsttemperatur der beförderten Luft: S1: -20°C bis +40°C im Dauerbetrieb, S2: 300°C/2h oder 400°C/2h

Beschichtung:

- Korrosionsfestes Polyesterharz, bei 190° C polymerisiert, alkali-entfettet und phosphatfrei vorbehandelt

Auf Anfrage:

- Ventilatoren mit langem Gehäuse und Inspektionsdeckel
- 100% reversible Laufräder

EN

Cased axial fans 400°C/2h and 300°C/2h

Cased axial fans with short casing for working inside fire danger zones, 400°C/2h.

Fan:

- Sheet steel tubular casing
- Turnable cast aluminium impellers.
- Approval according to Standard EN 12101-3:2002/AC:2006
- Airflow direction from motor to impeller

Motor:

- Class H motors, ongoing use S1 and emergency use S2, with ball bearings, IP55 protection, and one or two speeds depending on the model.
- Three-phase 230/400V.-50Hz. (up to 4CV.) and 400/690V.-50Hz. (power over 4CV.)
- Max. temperature of air for transport: S1 Service -20°C+ 40°C for ongoing use, S2 Service 300°C/2h, 400°C/2h

Finish:

- Anticorrosive finish in polyester resin, polymerised at 190°C, after alkaline degreasing and phosphate-free pre-treatment

On request:

- Long-casing fans with inspection hatch
- 100% reversible impellers.

FR

Extracteurs hélicoïdaux tubulaires 400°C/2h et 300°C/2h

Extracteurs hélicoïdaux tubulaires avec carcasse courte pour travailler dans les zones à risques d'incendies 400°C/2h.

Ventilateur :

- Gaine tubulaire en tôle d'acier
- Hélices orientables en fonte d'aluminium
- Homologation selon la norme EN 12101-3:2002/AC:2006
- Direction air moteur-hélice

Moteur :

- Moteurs classe H, utilisation continue S1 et d'urgence S2, à roulements à billes, protection IP55, à 1 ou 2 vitesses selon le modèle
- Triphasés 230/400 V.-50 Hz. (jusqu'à 4 CV) et 400/690 V -50 Hz. (puissances supérieures à 4 CV)
- Température maximum de l'air à transporter : Service S1 -20°C+ 40°C en continu, Service S2 300°C/2h, 400°C/2h

Finition :

- Anticorrosive en résine de polyester, polymérisée à 190°C, après dégraissage alcalin, prétraitement sans phosphate

Sur demande :

- Extracteurs avec longue carcasse équipée d'une trappe d'inspection
- Hélices réversibles 100 %.

Características técnicas
Technical characteristics
Technische Daten
Caractéristiques techniques

Modelo Model Modell Modèle	Velocidad Speed Drehzahl Vitesse (r/min)	Intensidad máxima admisible Maximum admissible current Maximal zulässige Stromstärke Intensité maximum admissible			Potencia instalada Installed Power Nenn-leistung Puissance installée (kW)	Ángulo inclinación palas Tilting angle blades Neigungswinkel Klappen L'inclinaison des lames d'angle (°)	Caudal máximo Maximum Airflow Maximaler Volumenstrom Débit maximum (m ³ /h)	Nivel presión sonora Sound pressure level Schalldruckpegel Niveau pression acoustique dB(A)	Peso aprox. Approx. weight Ung. Gewicht Poids approx. (kg)	
		230V (A)	400V	690V					Long	Short
TST-40-2T-1,5	2880	4,70	2,70		1,10	20	7050	76	33	31
TST-40-2/4T-1,5	2900 / 1450		2,90 / 1,10		1,10 / 0,25	20	7050 / 3525	76 / 61	34	32
TST-40-2T-2	2880	5,90	3,40		1,50	24	7950	77	35	33
TST-40-2/4T-2	2940 / 1460		4,40 / 1,40		1,50 / 0,37	24	7950 / 3975	77 / 62	35	33
TST-40-4T-0,75	1420	2,90	1,70		0,55	32	4800	64	32	29
TST-40-6T-0,75	930	3,30	1,90		0,55	32	3150	53	37	34
TST-40-6/12T-0,75	940 / 460		2,10 / 0,90		0,55 / 0,09	32	3150 / 1575	53 / 38	41	38
TST-45-2T-2	2880	5,90	3,40		1,50	16	9400	78	38	34
TST-45-2/4T-2	2940 / 1460		4,40 / 1,40		1,50 / 0,37	16	9400 / 4700	78 / 63	37	34
TST-45-2T-3	2900	8,70	5,00		2,20	22	11350	80	39	36
TST-45-2/4T-3	2930 / 1450		5,70 / 1,80		2,20 / 0,60	22	11350 / 5675	80 / 65	39	36
TST-45-4T-0,75	1420	2,90	1,70		0,55	36	7450	68	34	30
TST-45-6T-0,75	930	3,30	1,90		0,55	30	4450	55	38	35
TST-45-6/12T-0,75	940 / 460		2,10 / 0,90		0,55 / 0,09	30	4450 / 2225	55 / 40	42	39
TST-50-2T-4	2880	11,20	6,50		3,00	16	13900	82	49	42
TST-50-2/4T-4	2920 / 1440		6,70 / 2,00		3,00 / 0,80	16	13900 / 6950	82 / 67	51	44
TST-50-2T-5,5	2890	16,00	9,30		4,00	20	15900	83	65	57
TST-50-2/4T-6	2930 / 1450		10,00 / 3,20		4,50 / 1,30	20	15900 / 7950	83 / 68	67	60
TST-50-4T-1	1430	3,80	2,20		0,75	28	9750	69	37	33
TST-50-6T-0,75	930	3,30	1,90		0,55	32	7000	57	40	36
TST-50-6/12T-0,75	940 / 460		2,10 / 0,90		0,55 / 0,09	32	7000 / 3500	57 / 42	44	40
TST-56-2T-5,5	2890	16,00	9,30		4,00	16	18800	88	69	60
TST-56-2/4T-6	2930 / 1450		10,00 / 3,20		4,50 / 1,30	16	18800 / 9400	88 / 72	71	63
TST-56-2T-12	2950		19,20	11,09	9,00	30	27200	89	147	139
TST-56-2/4T-12	2920 / 1440		18,50 / 5,50		9,00 / 2,50	30	27200 / 13600	89 / 74	137	129
TST-56-4T-1	1430	3,80	2,20		0,75	22	11250	73	45	40
TST-56-4T-1,5	1420	4,70	2,70		1,10	30	13600	74	44	40
TST-56-4/8T-1,5	1440 / 710		2,90 / 1,40		1,10 / 0,25	30	13600 / 6800	74 / 59	48	43
TST-56-4T-2	1425	6,60	3,80		1,50	36	15050	75	48	43
TST-56-4/8T-2	1415 / 715		3,60 / 1,50		1,50 / 0,30	36	15050 / 7525	75 / 60	59	55
TST-56-6T-0,75	930	3,30	1,90		0,55	38	10150	62	44	39
TST-56-6/12T-0,75	940 / 460		2,10 / 0,90		0,55 / 0,09	38	10150 / 5075	62 / 47	48	43
TST-63-2T-12	2950		19,20	11,09	9,00	18	32300	90	161	143
TST-63-2/4T-12	2920 / 1440		18,50 / 5,50		9,00 / 2,50	18	32300 / 16150	90 / 75	151	133
TST-63-2T-22	2960		32,30	18,65	16,00	28	39950	91	188	170
TST-63-2/4T-22	2960 / 1480		32,30 / 8,90		16,00 / 4,00	28	39950 / 19975	91 / 76	188	170
TST-63-4T-1	1430	3,80	2,20		0,75	14	15200	73	49	43
TST-63-4T-1,5	1420	4,70	2,70		1,10	20	17800	74	51	45
TST-63-4/8T-1,5	1440 / 710		2,90 / 1,40		1,10 / 0,25	20	17800 / 8900	74 / 59	55	49
TST-63-4T-2	1425	6,60	3,80		1,50	24	19300	75	55	49
TST-63-4/8T-2	1415 / 715		3,60 / 1,50		1,50 / 0,30	24	19300 / 9650	75 / 60	70	60
TST-63-4T-3	1435	9,20	5,30		2,20	32	22150	76	64	54
TST-63-4/8T-3	1415 / 715		5,20 / 1,90		2,20 / 0,45	32	22150 / 11075	76 / 61	77	66
TST-63-4T-4	1430	11,40	6,60		3,00	38	24250	77	73	63
TST-63-4/8T-4	1420 / 705		6,90 / 2,30		3,00 / 0,60	38	24250 / 12125	77 / 62	86	77
TST-63-6T-0,75	930	3,30	1,90		0,55	28	13600	65	51	45
TST-63-6/12T-0,75	940 / 460		2,10 / 0,90		0,55 / 0,09	28	13600 / 6800	65 / 50	55	49
TST-63-6T-1	940	4,40	2,60		0,75	38	15900	66	54	48
TST-63-6/12T-1	935 / 430		2,50 / 1,03		0,75 / 0,15	38	15900 / 7950	66 / 51	61	55
TST-71-4T-1,5	1420	4,70	2,70		1,10	12	19500	78	58	52
TST-71-4/8T-1,5	1440 / 710		2,90 / 1,40		1,10 / 0,25	12	19500 / 9750	78 / 63	61	56
TST-71-4T-2	1425	6,60	3,80		1,50	14	20900	79	61	56
TST-71-4/8T-2	1415 / 715		3,60 / 1,50		1,50 / 0,30	14	20900 / 10450	79 / 64	76	67
TST-71-4T-3	1435	9,20	5,30		2,20	22	25100	81	70	61
TST-71-4/8T-3	1415 / 715		5,20 / 1,90		2,20 / 0,45	22	25100 / 12550	81 / 66	82	74
TST-71-4T-4	1430	11,40	6,60		3,00	28	27500	82	79	70
TST-71-4/8T-4	1420 / 705		6,90 / 2,30		3,00 / 0,60	28	27500 / 13750	82 / 67	92	83
TST-71-6T-0,75	930	3,30	1,90		0,55	20	16100	67	57	52

Características técnicas
Technical characteristics
Technische Daten
Caractéristiques techniques

Modelo Model Modell Modèle	Velocidad Speed Drehzahl Vitesse (r/min)	Intensidad máxima admisible Maximum admissible current Maximal zulässige Stromstärke Intensité maximum admissible			Potencia instalada Installed Power Nenn-leistung Puissance installée (kW)	Ángulo inclinación palas Tilting angle blades Neigungswinkel Klappen L'inclinaison des lames d'angle (°)	Caudal máximo Maximum Airflow Maximaler Volumenstrom Débit maximum (m³/h)	Nivel presión sonora Sound pressure level Schalldruckpegel Niveau pression acoustique dB(A)	Peso aprox. Approx. weight Ung. Gewicht Poids approx. (kg)	
		230V (A)	400V	690V					Long	Short
TST-71-6/12T-0,75	940 / 460		2,10 / 0,90		0,55 / 0,09	20	16100 / 8050	67 / 52	61	56
TST-71-6T-1	940	4,40	2,60		0,75	26	17300	68	61	55
TST-71-6/12T-1	935 / 430		2,50 / 1,03		0,75 / 0,15	26	17300 / 8650	68 / 53	67	62
TST-71-6T-1,5	945	6,40	3,70		1,10	34	19950	69	69	61
TST-71-6/12T-1,5	940 / 450		3,30 / 1,20		1,10 / 0,18	34	19950 / 9975	69 / 54	77	69
TST-80-4T-3	1435	9,20	5,30		2,20	12	25450	82	79	69
TST-80-4/8T-3	1415 / 715		5,20 / 1,90		2,20 / 0,45	12	25450 / 12725	82 / 67	91	82
TST-80-4T-4	1430	11,40	6,60		3,00	16	30250	83	88	78
TST-80-4/8T-4	1420 / 705		6,90 / 2,30		3,00 / 0,60	16	30250 / 15125	83 / 68	101	92
TST-80-4T-5,5	1440		8,40	4,85	4,00	18	32750	84	94	85
TST-80-4/8T-5,5	1450 / 720		9,40 / 3,50		4,00 / 0,80	18	32750 / 16375	84 / 69	127	118
TST-80-6T-1,5	945	6,40	3,70		1,10	18	21450	72	78	69
TST-80-6/12T-1,5	940 / 450		3,30 / 1,20		1,10 / 0,18	18	21450 / 10725	72 / 57	86	77
TST-80-6T-2	945	7,40	4,30		1,50	26	25950	73	87	78
TST-80-6/12T-2	960 / 470		4,30 / 1,70		1,50 / 0,25	26	25950 / 12975	73 / 58	91	82
TST-80-6T-3	950	10,30	5,90		2,20	32	29950	74	94	84
TST-80-6/12T-3	940 / 470		5,60 / 2,20		2,20 / 0,37	32	29950 / 14975	74 / 59	100	91
TST-80-8T-0,75	700	3,60	2,10		0,55	20	17550	70	71	62
TST-80-8T-1	710	4,80	2,80		0,75	28	20650	71	78	69
TST-90-4T-4	1430	11,40	6,60		3,00	8	33600	87	110	93
TST-90-4/8T-4	1420 / 705		6,90 / 2,30		3,00 / 0,60	8	33600 / 16800	87 / 72	124	106
TST-90-4T-5,5	1440		8,40	4,85	4,00	12	38900	89	117	99
TST-90-4/8T-5,5	1450 / 720		9,40 / 3,50		4,00 / 0,80	12	38900 / 19450	89 / 74	150	132
TST-90-4T-7,5	1430		11,50	6,64	5,50	18	46150	91	143	126
TST-90-4/8T-7,5	1455 / 725		12,80 / 4,60		5,50 / 1,10	18	46150 / 23075	91 / 76	157	140
TST-90-4T-10	1460		17,70	10,22	7,50	22	50150	92	154	137
TST-90-4/8T-9	1455 / 725		15,50 / 5,50		6,70 / 1,50	22	50150 / 25075	92 / 77	157	140
TST-90-6T-2	945	7,40	4,30		1,50	16	28800	77	110	92
TST-90-6/12T-2	960 / 470		4,30 / 1,70		1,50 / 0,25	16	28800 / 14400	77 / 62	114	96
TST-90-6T-3	950	10,30	5,90		2,20	24	34000	78	116	99
TST-90-6/12T-3	940 / 470		5,60 / 2,20		2,20 / 0,37	24	34000 / 17000	78 / 63	123	105
TST-90-6T-4	945	15,00	8,70		3,00	30	38900	79	142	124
TST-90-6/12T-4	970 / 475		8,90 / 3,50		3,00 / 0,55	30	38900 / 19450	79 / 64	143	126
TST-90-8T-1	710	4,80	2,80		0,75	18	22900	71	100	84
TST-90-8T-2	700	9,00	5,20		1,50	30	29500	73	116	99
TST-90-8T-3	705	13,20	7,60		2,20	32	30850	74	134	116
TST-100-4T-7,5	1430		11,50	6,64	5,50	10	46850	92	151	131
TST-100-4/8T-7,5	1455 / 725		12,80 / 4,60		5,50 / 1,10	10	46850 / 23425	92 / 77	165	145
TST-100-4T-10	1460		17,70	10,22	7,50	16	57400	93	162	142
TST-100-4/8T-9	1455 / 725		15,50 / 5,50		6,70 / 1,50	14	54700 / 27350	93 / 78	165	145
TST-100-4T-15	1455		23,00	13,28	11,00	22	66300	94	215	195
TST-100-4/8T-15	1470 / 725		23,20 / 8,70		11,00 / 2,80	22	66300 / 33150	94 / 79	215	195
TST-100-4T-20	1460		29,00	16,74	15,00	28	76150	95	230	210
TST-100-4/8T-20	1470 / 725		31,70 / 11,80		15,00 / 3,80	28	76150 / 38075	95 / 80	230	210
TST-100-6T-3	950	10,30	5,90		2,20	16	37600	82	124	105
TST-100-6/12T-3	940 / 470		5,60 / 2,20		2,20 / 0,37	16	37600 / 18800	82 / 67	130	112
TST-100-6T-4	945	15,00	8,70		3,00	20	41150	83	150	130
TST-100-6/12T-4	970 / 475		8,90 / 3,50		3,00 / 0,55	20	41150 / 20575	83 / 68	151	131
TST-100-6T-5,5	970		11,00	6,35	4,00	26	47800	84	162	142
TST-100-6/12T-5,5	970 / 480		11,30 / 4,20		4,00 / 0,65	26	47800 / 23900	84 / 69	162	142
TST-100-8T-2	700	9,00	5,20		1,50	22	32900	77	124	105
TST-100-8T-3	705	13,20	7,60		2,20	30	39400	77	142	122
TST-100-8T-4	710	15,60	9,00		3,00	32	40550	78	162	142
TST-125-4T/3-10	1460		17,70	10,22	7,50	8	58550	88	243	210
TST-125-4/8T/3-9	1455 / 725		15,50 / 5,50		6,70 / 1,50	8	58550 / 29275	88 / 68	243	210
TST-125-4T/3-15	1455		23,00	13,28	11,00	14	77750	89	294	266

Características técnicas
Technical characteristics
Technische Daten
Caractéristiques techniques

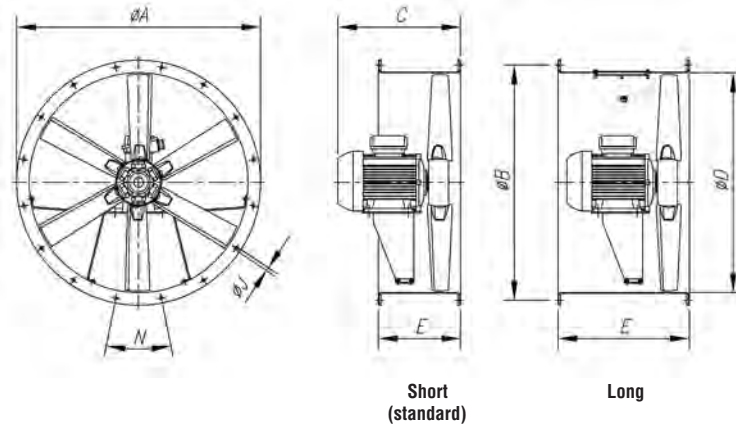
Modelo Model Modell Modèle	Velocidad Speed Drehzahl Vitesse (r/min)	Intensidad máxima admisible Maximum admissible current Maximal zulässige Stromstärke Intensité maximum admissible 230V (A) 400V 690V		Potencia instalada Installed Power Nenn-leistung Puissance installée (kW)	Ángulo inclinación palas Tilting angle blades Neigungswinkel Klängen L'inclinaison des lames d'angle (°)	Caudal máximo Maximum Airflow Maximaler Volumenstrom Débit maximum (m ³ /h)	Nivel presión sonora Sound pressure level Schalldruckpegel Niveau pression acoustique dB(A)	Peso aprox. Approx. weight Ung. Gewicht Poids approx. (kg)	
		Long	Short						
TST-125-4/8T/3-15	1470 / 725	23,20	8,70	11,00 / 2,80	14	77750 / 38875	89 / 69	294	266
TST-125-4T/3-20	1460	29,00	16,74	15,00	18	91450	91	309	281
TST-125-4/8T/3-20	1470 / 725	31,70	11,80	15,00 / 3,80	18	91450 / 45725	91 / 71	309	281
TST-125-4T/3-25	1465	37,00	21,36	18,50	20	98350	91	377	334
TST-125-4T/3-30	1470	42,00	24,25	22,00	24	110350	92	391	348
TST-125-4/8T/3-27	1470 / 735	38,00	13,00	20,00 / 4,00	22	104400 / 52200	92 / 71	391	348
TST-125-4/8T/3-37	1475 / 735	51,00	20,60	27,00 / 6,00	28	120700 / 60350	93 / 72	472	429
TST-125-4T/3-40	1475	58,00	33,49	30,00	30	125000	93	472	429
TST-125-4/8T/3-40	1480 / 735	62,00	27,00	30,00 / 10,00	30	125000 / 62500	93 / 72	618	562
TST-125-4T/6-20	1460	29,00	16,74	15,00	10	78600	89	318	290
TST-125-4/8T/6-20	1470 / 725	31,70	11,80	15,00 / 3,80	10	78600 / 39300	89 / 68	318	290
TST-125-4/8T/6-22	1470 / 735	31,80	12,00	16,50 / 3,30	12	85600 / 42800	89 / 69	303	275
TST-125-4T/6-25	1465	37,00	21,36	18,50	14	92550	90	386	343
TST-125-4/8T/6-27	1470 / 735	38,00	13,00	20,00 / 4,00	16	98850 / 49425	90 / 69	400	357
TST-125-4T/6-30	1470	42,00	24,25	22,00	16	98850	90	400	357
TST-125-4/8T/6-37	1475 / 735	51,00	20,60	27,00 / 6,00	20	110900 / 55450	90 / 70	481	437
TST-125-4T/6-40	1475	58,00	33,49	30,00	22	117450	92	481	437
TST-125-4/8T/6-40	1480 / 735	62,00	27,00	30,00 / 10,00	22	117450 / 58725	92 / 71	627	571
TST-125-4T/6-50	1480	73,00	42,15	37,00	26	131050	93	529	473
TST-125-4T/9-25	1465	37,00	21,36	18,50	10	79650	88	395	352
TST-125-4/8T/9-22	1470 / 735	31,80	12,00	16,50 / 3,30	8	71150 / 35575	88 / 69	312	284
TST-125-4T/9-30	1470	42,00	24,25	22,00	12	88300	89	409	366
TST-125-4/8T/9-27	1470 / 735	38,00	13,00	20,00 / 4,00	12	88300 / 44150	89 / 70	409	366
TST-125-4/8T/9-37	1475 / 735	51,00	20,60	27,00 / 6,00	16	104050 / 52025	90 / 70	490	446
TST-125-4T/9-40	1475	58,00	33,49	30,00	16	104050	91	490	446
TST-125-4/8T/9-40	1480 / 735	62,00	27,00	30,00 / 10,00	16	104050 / 52025	91 / 71	636	580
TST-125-4T/9-50	1480	73,00	42,15	37,00	20	118400	93	538	482
TST-125-6T/3-4	945	15,00	8,70	3,00	12	46750	79	230	197
TST-125-6/12T/3-4	970 / 475	8,90	3,50	3,00 / 0,55	12	46750 / 23375	79 / 64	232	199
TST-125-6T/3-5,5	970	11,00	6,35	4,00	16	55400	80	242	209
TST-125-6/12T/3-5,5	970 / 480	11,30	4,20	4,00 / 0,65	16	55400 / 27700	80 / 65	243	210
TST-125-6T/3-7,5	970	14,00	8,08	5,50	22	68400	81	249	216
TST-125-6/12T/3-7,5	970 / 480	13,70	5,60	5,50 / 1,00	22	68400 / 34200	81 / 66	263	230
TST-125-6T/3-10	960	18,60	10,74	7,50	28	79150	83	274	246
TST-125-6/12T/3-10	970 / 480	19,00	8,00	7,50 / 1,40	28	79150 / 39575	83 / 68	294	266
TST-125-6T/3-15	955	26,00	15,01	11,00	34	87150	84	304	276
TST-125-6/12T/3-15	970 / 470	28,50	13,00	11,00 / 2,00	34	87150 / 43575	84 / 69	309	281
TST-125-6T/3-20	950	35,50	20,50	15,00	38	91650	85	377	334
TST-125-6/12T/3-24	970 / 480	36,00	14,50	17,50 / 3,50	38	91650 / 45825	85 / 70	472	429
TST-125-6T/6-5,5	970	11,00	6,35	4,00	10	51500	77	251	218
TST-125-6/12T/6-5,5	970 / 480	11,30	4,20	4,00 / 0,65	10	51500 / 25750	77 / 62	252	219
TST-125-6T/6-7,5	970	14,00	8,08	5,50	14	60650	77	258	225
TST-125-6/12T/6-7,5	970 / 480	13,70	5,60	5,50 / 1,00	14	60650 / 30325	77 / 62	272	239
TST-125-6T/6-10	960	18,60	10,74	7,50	20	72650	79	283	255
TST-125-6/12T/6-10	970 / 480	19,00	8,00	7,50 / 1,40	20	72650 / 36325	79 / 64	303	275
TST-125-6T/6-15	955	26,00	15,01	11,00	26	85850	81	313	285
TST-125-6/12T/6-15	970 / 470	28,50	13,00	11,00 / 2,00	26	85850 / 42925	81 / 66	318	290
TST-125-6T/6-20	950	35,50	20,50	15,00	30	92850	82	386	343
TST-125-6/12T/6-24	970 / 480	36,00	14,50	17,50 / 3,50	34	99650 / 49825	82 / 67	481	437
TST-125-6T/9-10	960	18,60	10,74	7,50	14	63500	78	292	264
TST-125-6/12T/9-10	970 / 480	19,00	8,00	7,50 / 1,40	14	63500 / 31750	78 / 63	312	284
TST-125-6T/9-15	955	26,00	15,01	11,00	20	77550	81	322	294
TST-125-6/12T/9-15	970 / 470	28,50	13,00	11,00 / 2,00	20	77550 / 38775	81 / 66	327	299
TST-125-6T/9-20	950	35,50	20,50	15,00	26	92950	84	395	352
TST-125-6/12T/9-24	970 / 480	36,00	14,50	17,50 / 3,50	30	98500 / 49250	84 / 69	490	446

Dimensiones mm

Dimensions in mm

Abmessungen in mm

Dimensions mm



C (Consultar tamaño motor según potencia)
 C (consult motor size according to power)
 C (Motorgröße unter der jeweiligen Leistung nachschlagen)
 C (Consulter dimension moteur selon la puissance)

	ØA	ØB	80	90S	90L	100	112	132S	132M	160M	160L	180M	180L	200L	225	250	280	ØD	E		ØJ	N
																			Short	Long		
TST-40	490	450	348	364	389	-	-	-	-	-	-	-	-	-	-	-	-	410	250	400	12	8x45°
TST-45	540	500	348	364	389	-	-	-	-	-	-	-	-	-	-	-	-	460	250	400	12	8x45°
TST-50	600	560	339	364	389	419	-	-	-	-	-	-	-	-	-	-	-	514	250	400	12	12x30°
TST-50	600	560	-	-	-	-	438	-	-	-	-	-	-	-	-	-	-	514	250	500	12	12x30°
TST-56	660	620	275	364	389	-	-	-	-	-	-	-	-	-	-	-	-	560	250	400	12	12x30°
TST-56	660	620	-	-	-	416	432	480	518	-	-	-	-	-	-	-	-	560	250	500	12	12x30°
TST-56	660	620	-	-	-	-	-	-	-	620	-	-	-	-	-	-	-	560	250	650	12	12x30°
TST-63	730	690	339	359	389	-	-	-	-	-	-	-	-	-	-	-	-	640	250	400	12	12x30°
TST-63	730	690	-	-	-	420	437	-	-	-	-	-	-	-	-	-	-	640	250	500	12	12x30°
TST-63	730	690	-	-	-	-	-	539	577	-	-	-	-	-	-	-	-	640	250	650	12	12x30°
TST-63	730	690	-	-	-	-	-	-	-	630	674	-	-	-	-	-	-	640	350	650	12	12x30°
TST-71	810	770	366	379	404	-	-	-	-	-	-	-	-	-	-	-	-	710	300	430	12	16x22°30'
TST-71	810	770	-	-	-	438	433	-	-	-	-	-	-	-	-	-	-	710	300	500	12	16x22°30'
TST-80	900	860	-	-	422	456	472	-	-	-	-	-	-	-	-	-	-	800	300	500	12	16x22°30'
TST-80	900	860	-	-	-	-	515	-	-	-	-	-	-	-	-	-	-	800	300	600	12	16x22°30'
TST-90	1015	970	-	-	-	466	482	525	565	-	-	-	-	-	-	-	-	900	350	600	15	16x22°30'
TST-100	1115	1070	-	-	-	-	482	525	565	-	-	-	-	-	-	-	-	1000	350	600	15	16x22°30'
TST-100	1115	1070	-	-	-	-	-	-	-	695	695	-	-	-	-	-	-	1000	450	700	15	16x22°30'
TST-125	1365	1320	-	-	-	-	561	601	-	-	-	-	-	-	-	-	-	1250	500	700	15	20x18°
TST-125	1365	1320	-	-	-	-	-	-	-	695	695	-	-	-	-	-	-	1250	500	700	15	20x18°
TST-125	1365	1320	-	-	-	-	-	-	-	-	740	740	860	-	-	-	-	1250	500	900	15	20x18°
TST-125	1365	1320	-	-	-	-	-	-	-	-	-	-	-	907	-	-	-	1250	500	1000	15	20x18°
TST-125	1365	1320	-	-	-	-	-	-	-	-	-	-	-	-	987	-	-	1250	600	1000	15	20x18°
TST-125	1365	1320	-	-	-	-	-	-	-	-	-	-	-	-	-	1077	-	1250	600	1200	15	20x18°

Tamaños constructivos motores según potencia (1velocidad)

Motor build sizes depending on power (one-speed)

Motorkonstruktionsgrößen je nach Leistung (1 Drehzahl)

Dimensions fabrication moteurs selon la puissance (1 vitesse)

	CV																			
	0,75	1	1,5	2	3	4	5,5	7,5	10	12	15	20	22	25	30	40	50	60	75	100
2T (3000 r/min)	80	80	80	90S	90L	100LB	112M	132S	132S	132MA	160M	160M	160L	180M	180L	200L	225S/M	225S/M	250S/M	280S/M
4T (1500 r/min)	90S	90S	90S	90L	100LA	100LB	112M	132S	132M	-	160M	160L	-	180M	180L	200L	225S/M	225S/M	250S/M	280S/M
6T (1000 r/min)	90S	90S	90L	100L	112M	132S	132MA	132MB	160M	-	160L	180L	-	200MLA	200MLB	225SMB	250S/M	280S/M	280S/M	-
8T (750 r/min)	90L	100LA	100L	112M	132S	132M	160MA	160M	160L	-	180L	200MLA	-	225SMA	225SMB	250SMA	280S/M	280S/M	-	-

Tamaños constructivos motores según potencia (2velocidad)

Motor build sizes depending on power (two-speed)

Motorkonstruktionsgrößen je nach Leistung (1 Drehzahl)

Dimensions fabrication moteurs selon la puissance (2 vitesses)

	CV																						
	0,75	1	1,5	2	3	4	5,5	6	7,5	8	9	10	12	15	18	20	22	24	27	37	38	40	
2/4(3000/1500 r/min)	-	-	90S	90S	90L	100L	-	112M	-	-	132M	-	160MA	-	160M	-	160L	-	-	-	-	-	-
4/8(1500/750 r/min)	-	-	90S	100L	100LA	100LC	132S	-	132S	132S	-	132M	-	160M	-	160L	180M	180M	180L	200MLA	200L	225S/M	
6/12(1000/500 r/min)	90L	100L	100LB	112M	112M	132MC	160M	160M	160LB	160LB	-	160LB	-	200MLC	160L	200M	-	250SMB	22S/M	-	225S/M	-	

EJEMPLO SELECCIÓN

Curvas características

Q= Caudal en m³/h, m³/s y cfm.
Pe= Presión estática en mmH₂O, Pa e inwg.

Diámetro Hélice (cm): 71

Impeller diameter (cm)
Durchmesser des Laufrads (cm)
Diamètre Hélice (cm)

EXAMPLE OF SELECTION

Characteristic curves

Q = Airflow in m³/h, m³/s and cfm.
Pe = Static pressure in mmH₂O, Pa and inWS.

Número de polos: 6

Number of blades
Anzahl Schaufeln
Nombre de pales

AUSWAHLBEISPIEL

Kennlinien

Q = Volumenstrom in m³/h, m³/s und cfm.
Pe = Statischer Druck in mmH₂O, Pa und inWS

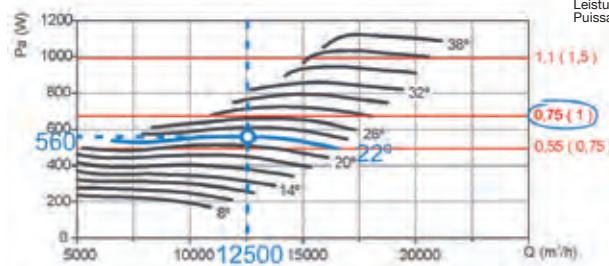
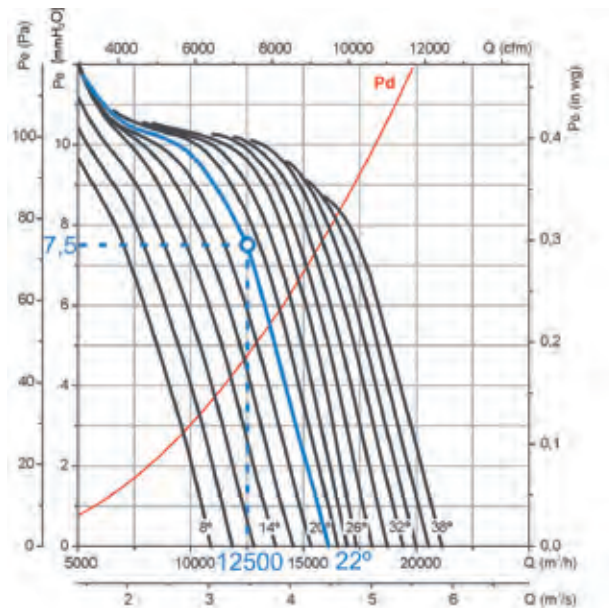
Número de palas: 6

Number of poles
Polzahl
Nombre de pôles

EXEMPLE SÉLECTION

Courbes caractéristiques

Q = Débit en m³/h, m³/s et cfm.
Pe = Pression statique en mmH₂O, Pa et inwg.



Potencia absorbida
Absorbed power
Leistungsaufnahme
Puissance absorbée

Potencia Motor Recomendada kW(CV)
Recommended motor power kW (CV)
Empfohlene Motorleistung kW (PS)
Puissance Moteur Recommandée kW (CV)

Datos de partida

- Punto de trabajo:
- Caudal: 12.500 m³/h
- Pérdida de carga: 7,5 mmH₂O

Pasos para la selección del equipo

En la gráfica de presiones:

1. Marcar el punto de trabajo, definido por el caudal de trabajo (12.500 m³/h) y la pérdida de carga (7,5 mmH₂O).
2. Escoger la curva del equipo que más se acerque por encima al punto de trabajo. En nuestro caso se obtiene una curva de 22° de ángulo de pala.

En la gráfica de potencia:

3. Marcar el punto de trabajo, definido por el caudal de trabajo (12.500 m³/h) y la curva de ángulo de pala escogido (22°).
4. Leer la potencia absorbida en el eje de potencias a la izquierda. La Pa= 560 W en el punto de trabajo.
5. Buscar recta roja que más se acerque al punto de trabajo por encima. En la parte derecha de la gráfica se obtiene el valor de potencia instalada de motor. En nuestro caso 0,75 kW o 1 CV.

Initial data

- Working point:
- Airflow: 12,500 m³/h
- Loss of load: 7.5 mmH₂O

Steps for the selection of equipment

On the pressure graph:

1. Mark the working point, defined by the airflow (12,500 m³/h) and the loss of load (7.5 mmH₂O).
2. Select the curve of the equipment which is closest above the working point. In our case, a curve with a blade angle of 22° is obtained.

On the power graph:

3. Mark the working point, defined by the airflow (12,500 m³/h) and the selected blade angle (22°).
4. Read the absorbed power on the power axis on the left. Pa= 560 W at the working point.
5. Look for the straight red line which is closest to the working point above. On the right-hand side of the graph, the value of the installed motor power is obtained. In our case, this is 0.75 kW or 1 CV.

Ausgangsdaten

- Betriebspunkt:
- Volumenstrom: 12.500 m³/h
- Lastverlust: 7,5 mmH₂O

Schritte zur Auswahl der Ausrüstung

In der Grafik mit den Druckwerten:

1. Den Betriebspunkt markieren, der durch den Volumenstrom (12.500 m³/h) und den Lastverlust (7,5 mmH₂O) definiert ist.
2. Die Kurve der Ausstattung wählen, die oberhalb des Betriebspunkts verläuft und diesem am nächsten liegt. In diesem Fall erhalten wir eine Kurve mit einem Schaufelwinkel von 22°.

In der Grafik mit den Leistungswerten:

3. Den Betriebspunkt markieren, der durch den Volumenstrom (12.500 m³/h) und den gewählten Schaufelwinkel (22°) definiert wird.
4. Links auf der Achse mit den Leistungswerten die Leistungsaufnahme ablesen. Pa= 560 W am Betriebspunkt.
5. Die rote Linie suchen, die oberhalb des Betriebspunkts verläuft und diesem am nächsten liegt. Rechts in der Grafik wird die Nennleistung des Motors abgelesen. In diesem Fall lautet der Wert 0,75 kW oder 1 PS.

Données de départ

- Point de travail :
- Débit : 12.500 m³/h
- Perte de charge : 7,5 mmH₂O

Étapes pour la sélection du matériel

Sur le graphique des pressions :

1. Marquer le point de travail, défini par le débit de service (12.500 m³/h) et la perte de charge (7,5 mmH₂O).
2. Choisir la courbe de l'appareil qui se rapproche le plus au point de travail tout en étant supérieure. En ce qui nous concerne, on obtient une courbe de 22° d'angle de pale.

Sur le graphique de puissance :

3. Marquer le point de travail, défini par le débit de service (12.500 m³/h) et la courbe d'angle de pale choisie (22°).
4. Lire la puissance absorbée sur l'axe des puissances sur la gauche. La Pa= 560 W sur le point de travail.
5. Rechercher la ligne droite rouge qui se rapproche le plus du point de travail tout étant supérieure. En haut à droite sur le graphique, on obtient la valeur de puissance installée du moteur. Dans notre cas 0,75 kW ou 1 CV.

Curvas características

Characteristic curves

Kennlinien

Courbes caractéristiques

Q= Caudal en m³/h, m³/s y cfm.
Pe= Presión estática en mmH₂O, Pa e inwg.

Q = Airflow in m³/h, m³/s and cfm.
Pe= Static pressure in mmH₂O, Pa and in wg.

Q= Volumenstrom in m³/h, m³/s und cfm.
Pe = Statischer Druck in mmH₂O, Pa und inWS

Q= Débit en m³/h, m³/s et cfm.
Pe = Pression statique en mmH₂O, Pa et inwg.

Diámetro Hélice (cm): 40

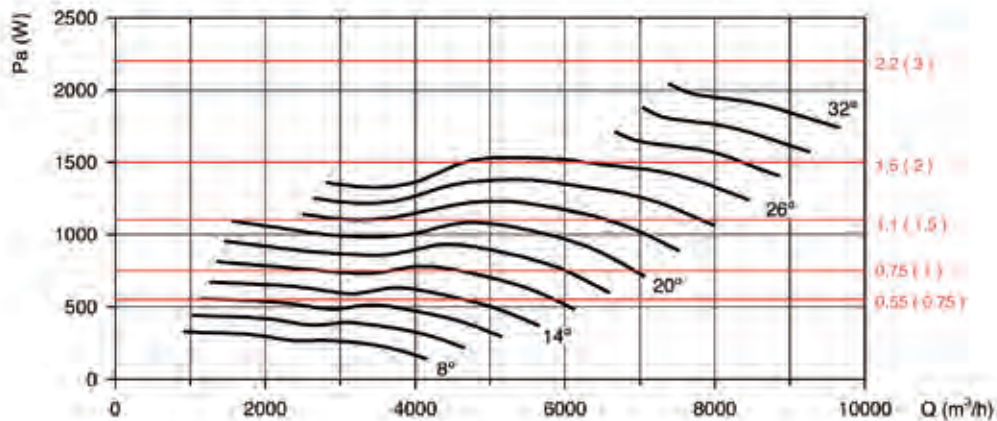
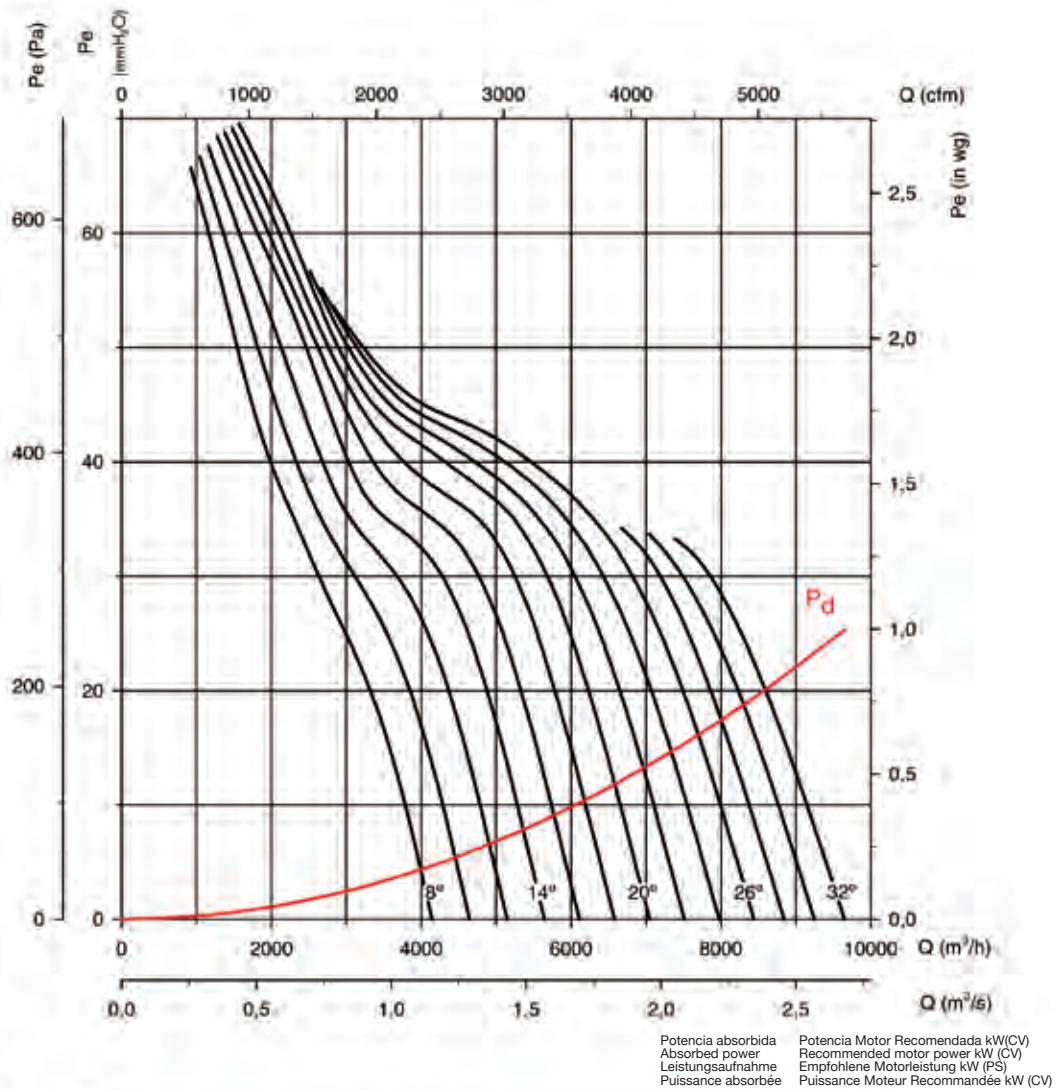
Impeller diameter (cm)
Durchmesser des Laufrads (cm)
Diamètre Hélice (cm)

Número de polos: 2

Number of blades
Anzahl Schaufeln
Nombre de pales

Número de palas: 6

Number of poles
Polzahl
Nombre de pôles



Consultar características del punto de máxima eficiencia (BEP) al final de la serie.
 Available features best efficiency point (BEP) at the end of the series.
 Siehe Eigenschaften des besten Effizienzpunkts (BEP) am Ende der Serie.
 Consulter les caractéristiques du point de rendement maximal (BEP) à la fin de la série.

Curvas características

Characteristic curves

Kennlinien

Courbes caractéristiques

Q= Caudal en m³/h, m³/s y cfm.
Pe= Presión estática en mmH₂O, Pa e inwg.

Q = Airflow in m³/h, m³/s and cfm.
Pe= Static pressure in mmH₂O, Pa and in wg.

Q= Volumenstrom in m³/h, m³/s und cfm.
Pe = Statischer Druck in mmH₂O, Pa und inWS

Q= Débit en m³/h, m³/s et cfm.
Pe = Pression statique en mmH₂O, Pa et inwg.

Diámetro Hélice (cm): 40

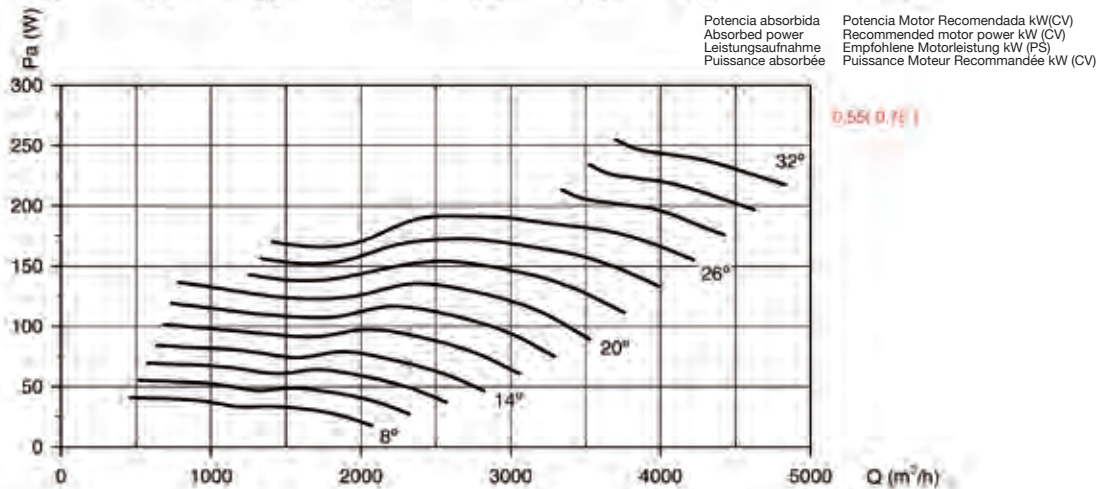
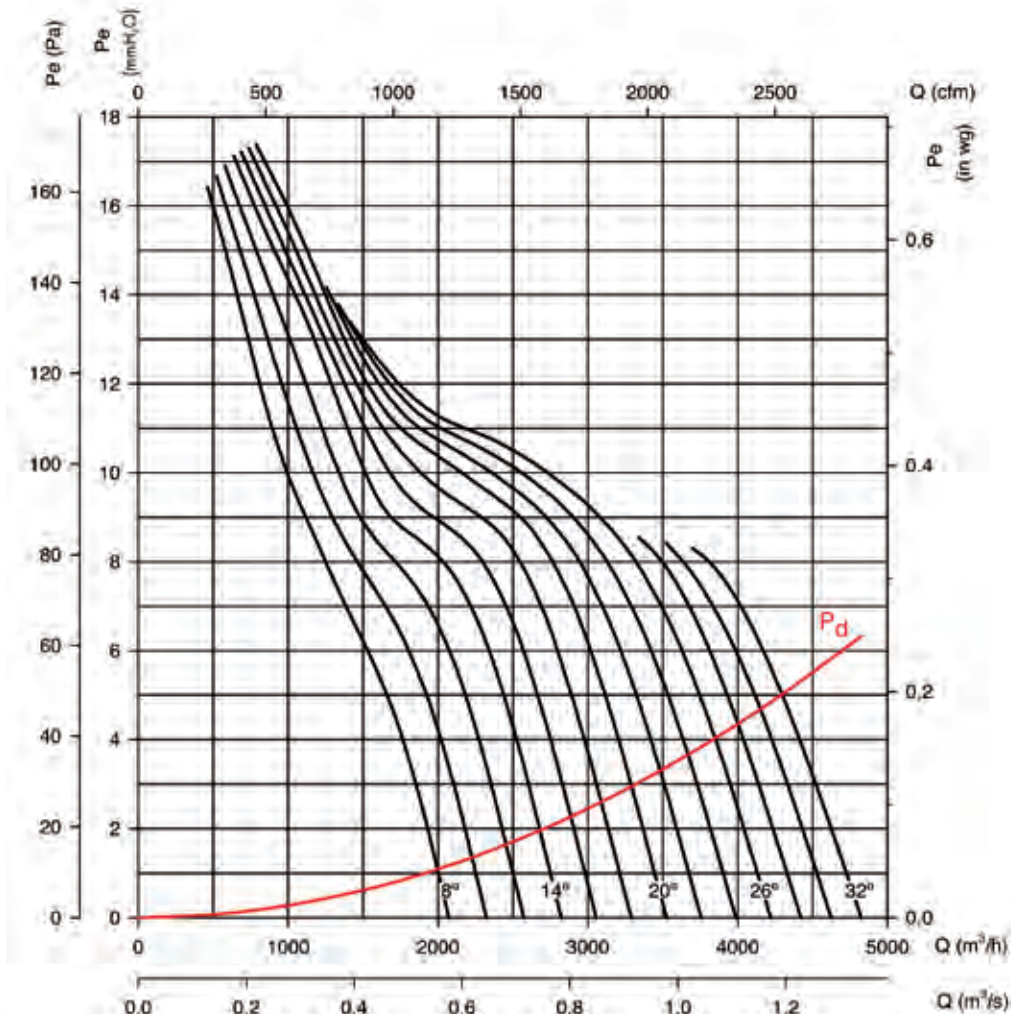
Número de polos: 4

Número de palas: 6

Impeller diameter (cm)
Durchmesser des Laufrads (cm)
Diamètre Hélice (cm)

Number of blades
Anzahl Schaufeln
Nombre de pales

Number of poles
Polzahl
Nombre de pôles



Consultar características del punto de máxima eficiencia (BEP) al final de la serie.
Available features best efficiency point (BEP) at the end of the series.
Siehe Eigenschaften des besten Effizienzpunkts (BEP) am Ende der Serie.
Consulter les caractéristiques du point de rendement maximal (BEP) à la fin de la série.

Curvas características

Characteristic curves

Kennlinien

Courbes caractéristiques

Q= Caudal en m³/h, m³/s y cfm.
Pe= Presión estática en mmH₂O, Pa e inwg.

Q = Airflow in m³/h, m³/s and cfm.
Pe= Static pressure in mmH₂O, Pa and in wg.

Q= Volumenstrom in m³/h, m³/s und cfm.
Pe = Statischer Druck in mmH₂O, Pa und inWS

Q= Débit en m³/h, m³/s et cfm.
Pe = Pression statique en mmH₂O, Pa et inwg.

Diámetro Hélice (cm): 40

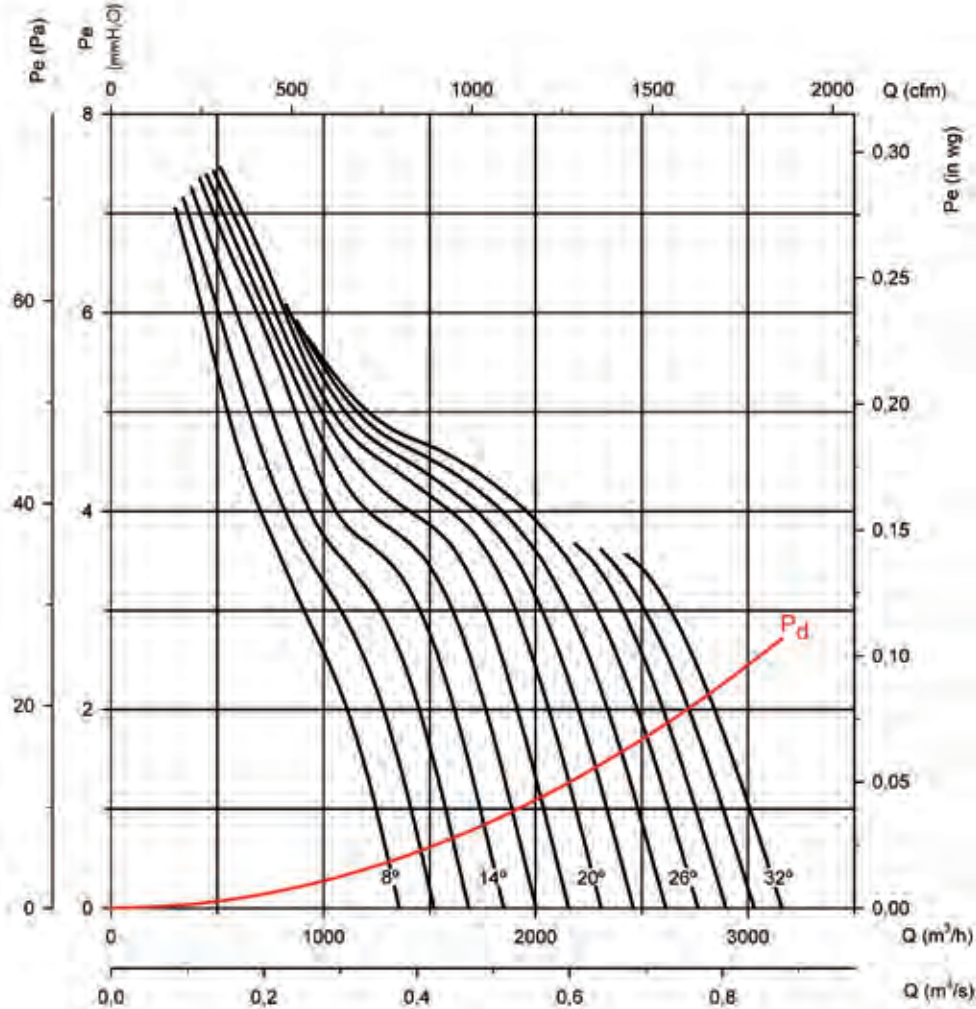
Número de polos: 6

Número de palas: 6

Impeller diameter (cm)
Durchmesser des Laufrads (cm)
Diamètre Hélice (cm)

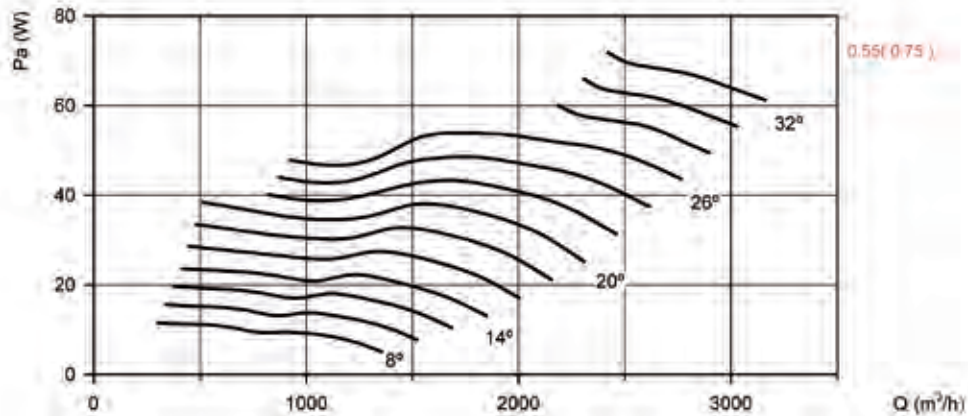
Number of blades
Anzahl Schaufeln
Nombre de pales

Number of poles
Polzahl
Nombre de pôles



Potencia absorbida
Absorbed power
Leistungsaufnahme
Puissance absorbée

Potencia Motor Recomendada kW(CV)
Recommended motor power kW (CV)
Empfohlene Motorleistung kW (PS)
Puissance Moteur Recommandée kW (CV)



Consultar características del punto de máxima eficiencia (BEP) al final de la serie.
Available features best efficiency point (BEP) at the end of the series.
Siehe Eigenschaften des besten Effizienzpunkts (BEP) am Ende der Serie.
Consulter les caractéristiques du point de rendement maximal (BEP) à la fin de la série.

Curvas características

Q= Caudal en m³/h, m³/s y cfm.
Pe= Presión estática en mmH₂O, Pa e inwg.

Characteristic curves

Q = Airflow in m³/h, m³/s and cfm.
Pe= Static pressure in mmH₂O, Pa and in wg.

Kennlinien

Q= Volumenstrom in m³/h, m³/s und cfm.
Pe = Statischer Druck in mmH₂O, Pa und inWS

Courbes caractéristiques

Q= Débit en m³/h, m³/s et cfm.
Pe = Pression statique en mmH₂O, Pa et inwg.

Diámetro Hélice (cm): 45

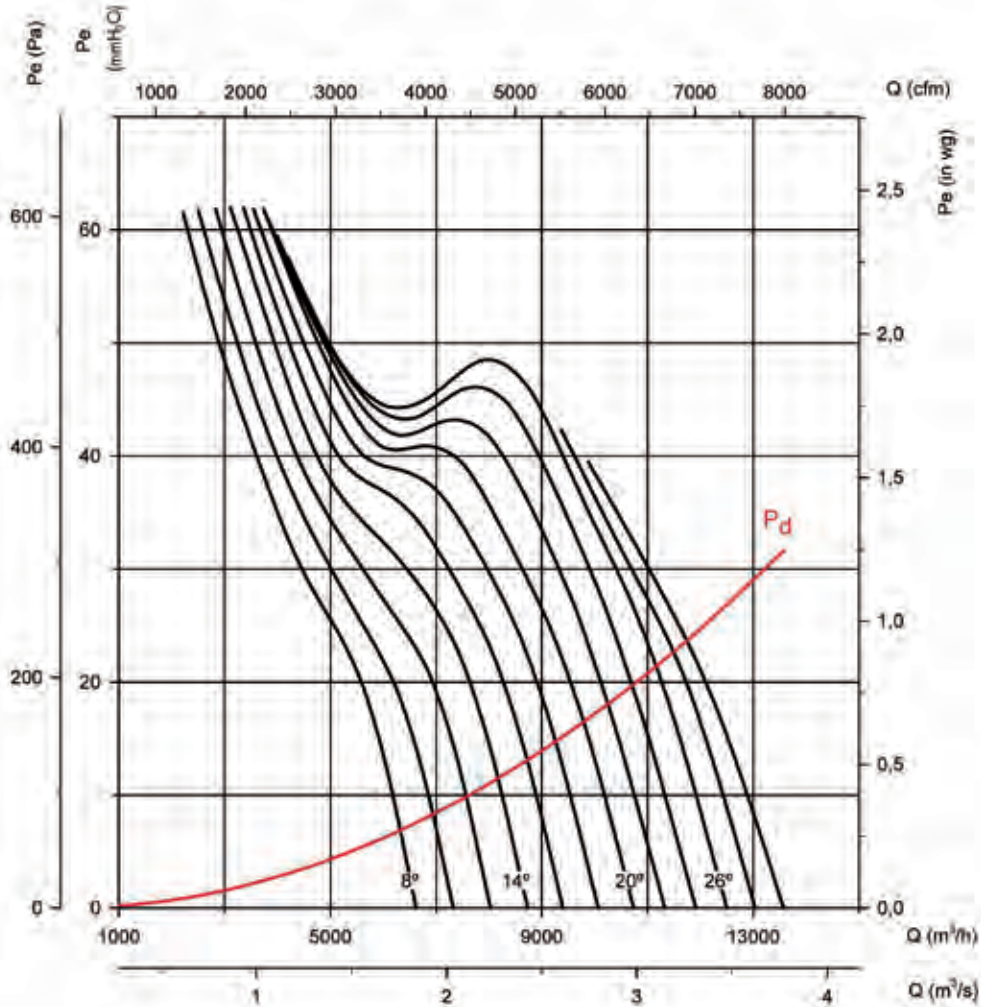
Impeller diameter (cm)
Durchmesser des Laufrads (cm)
Diamètre Hélice (cm)

Número de polos: 2

Number of blades
Anzahl Schaufeln
Nombre de pales

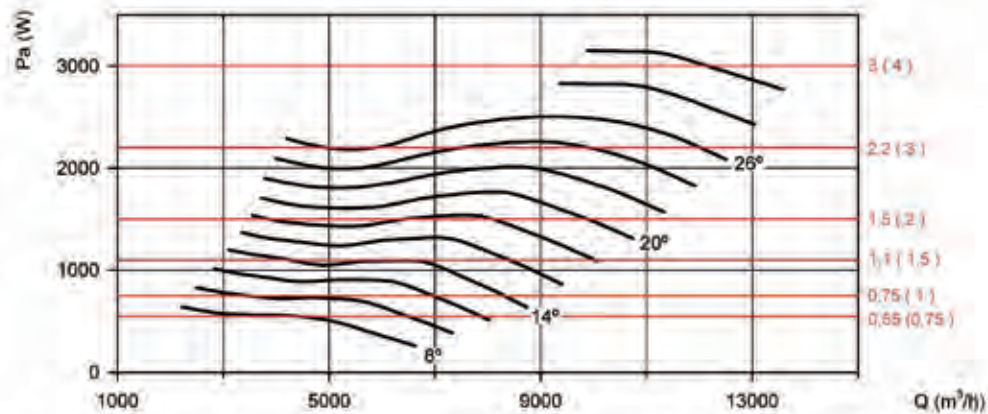
Número de palas: 6

Number of poles
Polzahl
Nombre de pôles



Potencia absorbida
Absorbed power
Leistungsaufnahme
Puissance absorbée

Potencia Motor Recomendada kW(CV)
Recommended motor power kW (CV)
Empfohlene Motorleistung kW (PS)
Puissance Moteur Recommandée kW (CV)



Consultar características del punto de máxima eficiencia (BEP) al final de la serie.
Available features best efficiency point (BEP) at the end of the series.
Siehe Eigenschaften des besten Effizienzpunkts (BEP) am Ende der Serie.
Consulter les caractéristiques du point de rendement maximal (BEP) à la fin de la série.

Curvas características

Characteristic curves

Kennlinien

Courbes caractéristiques

Q= Caudal en m³/h, m³/s y cfm.
Pe= Presión estática en mmH₂O, Pa e inwg.

Q = Airflow in m³/h, m³/s and cfm.
Pe= Static pressure in mmH₂O, Pa and inwg.

Q= Volumenstrom in m³/h, m³/s und cfm.
Pe = Statischer Druck in mmH₂O, Pa und inWS

Q= Débit en m³/h, m³/s et cfm.
Pe = Pression statique en mmH₂O, Pa et inwg.

Diámetro Hélice (cm): 45

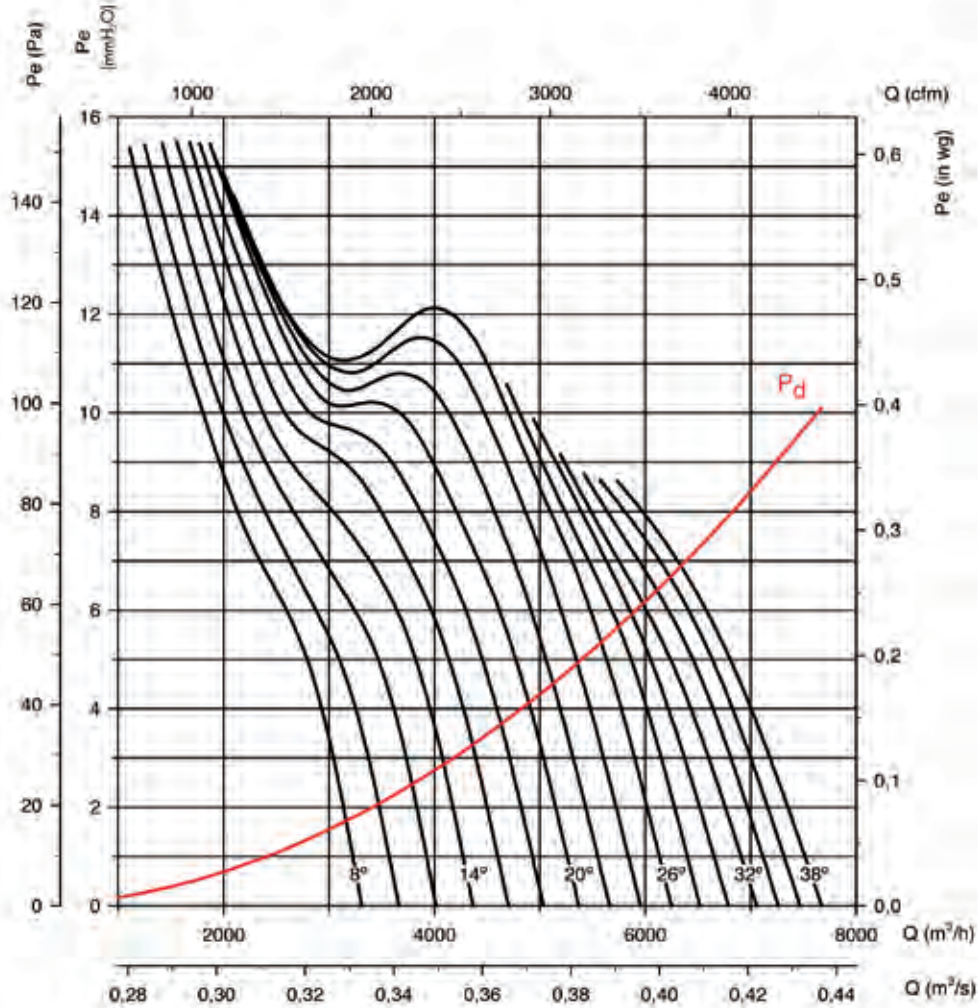
Número de polos: 4

Número de palas: 6

Impeller diameter (cm)
Durchmesser des Laufrads (cm)
Diamètre Hélice (cm)

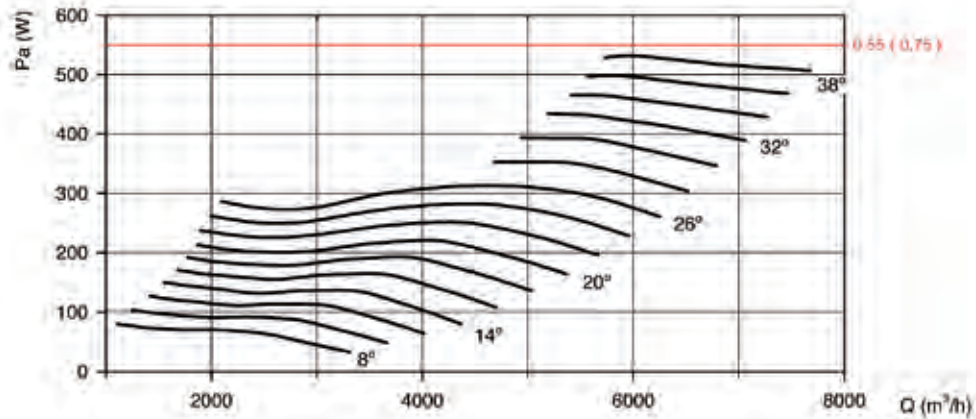
Number of blades
Anzahl Schaufeln
Nombre de pales

Number of poles
Polzahl
Nombre de pôles



Potencia absorbida
Absorbed power
Leistungsaufnahme
Puissance absorbée

Potencia Motor Recomendada kW(CV)
Recommended motor power kW (CV)
Empfohlene Motorleistung kW (PS)
Puissance Moteur Recommandée kW (CV)



Consultar características del punto de máxima eficiencia (BEP) al final de la serie.
Available features best efficiency point (BEP) at the end of the series.
Siehe Eigenschaften des besten Effizienzpunkts (BEP) am Ende der Serie.
Consulter les caractéristiques du point de rendement maximal (BEP) à la fin de la série.

Curvas características

Characteristic curves

Kennlinien

Courbes caractéristiques

Q= Caudal en m³/h, m³/s y cfm.
Pe= Presión estática en mmH₂O, Pa e inwg.

Q = Airflow in m³/h, m³/s and cfm.
Pe= Static pressure in mmH₂O, Pa and in wg.

Q= Volumenstrom in m³/h, m³/s und cfm.
Pe = Statischer Druck in mmH₂O, Pa und inWS

Q= Débit en m³/h, m³/s et cfm.
Pe = Pression statique en mmH₂O, Pa et inwg.

Diámetro Hélice (cm): 45

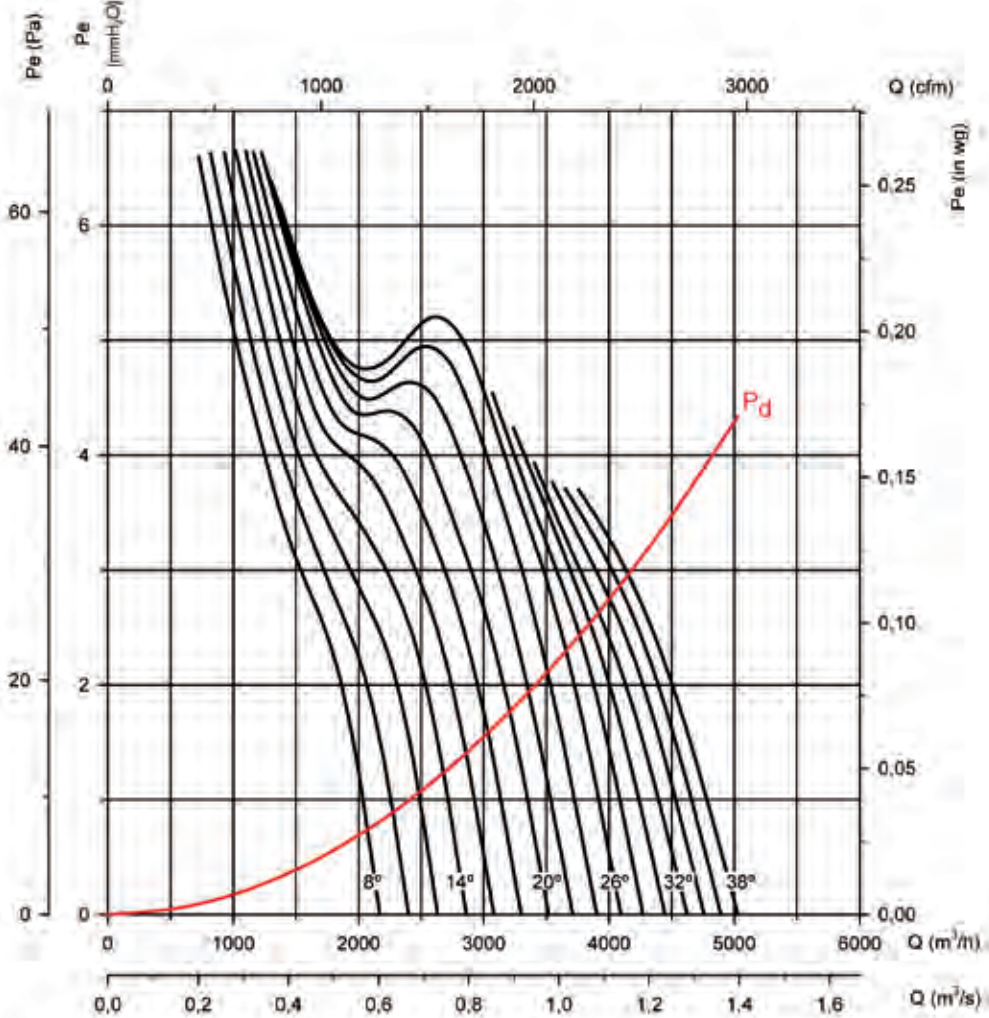
Número de polos: 6

Número de palas: 6

Impeller diameter (cm)
Durchmesser des Laufrads (cm)
Diamètre Hélice (cm)

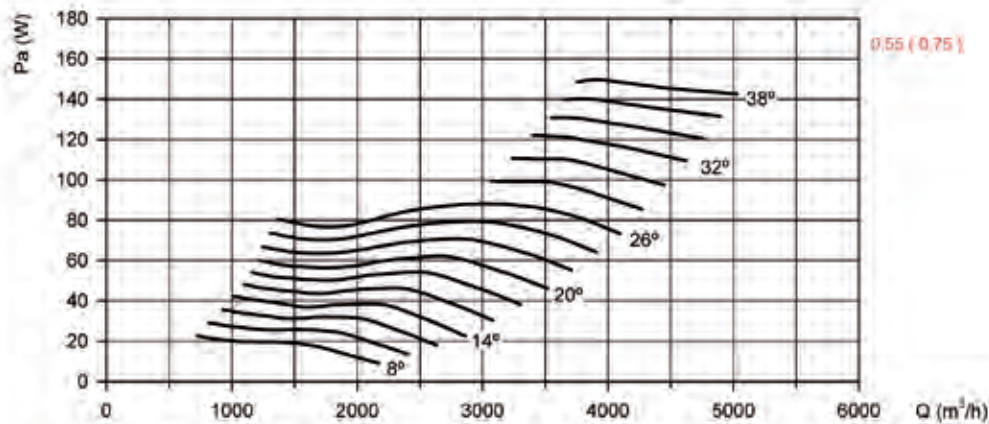
Number of blades
Anzahl Schaufeln
Nombre de pales

Number of poles
Polzahl
Nombre de pôles



Potencia absorbida
Absorbed power
Leistungsaufnahme
Puissance absorbée

Potencia Motor Recomendada kW(CV)
Recommended motor power kW (CV)
Empfohlene Motorleistung kW (PS)
Puissance Moteur Recommandée kW (CV)



Consultar características del punto de máxima eficiencia (BEP) al final de la serie.
Available features best efficiency point (BEP) at the end of the series.
Siehe Eigenschaften des besten Effizienzpunkts (BEP) am Ende der Serie.
Consulter les caractéristiques du point de rendement maximal (BEP) à la fin de la série.

Curvas características

Q= Caudal en m³/h, m³/s y cfm.
Pe= Presión estática en mmH₂O, Pa e inwg.

Diámetro Hélice (cm): 50

Impeller diameter (cm)
Durchmesser des Laufrads (cm)
Diamètre Hélice (cm)

Characteristic curves

Q = Airflow in m³/h, m³/s and cfm.
Pe= Static pressure in mmH₂O, Pa and inwg.

Número de polos: 2

Number of blades
Anzahl Schaufeln
Nombre de pales

Kennlinien

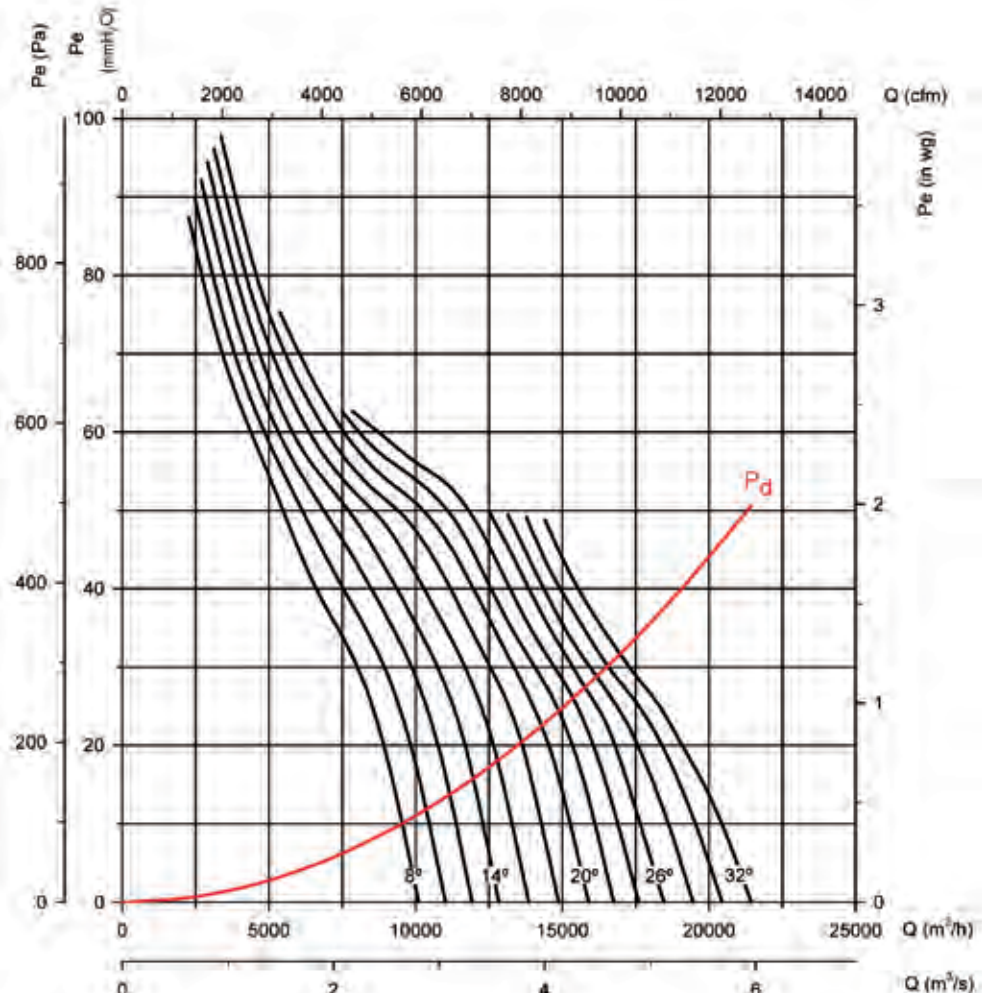
Q= Volumenstrom in m³/h, m³/s und cfm.
Pe = Statischer Druck in mmH₂O, Pa und inWS

Número de palas: 6

Number of poles
Polzahl
Nombre de pôles

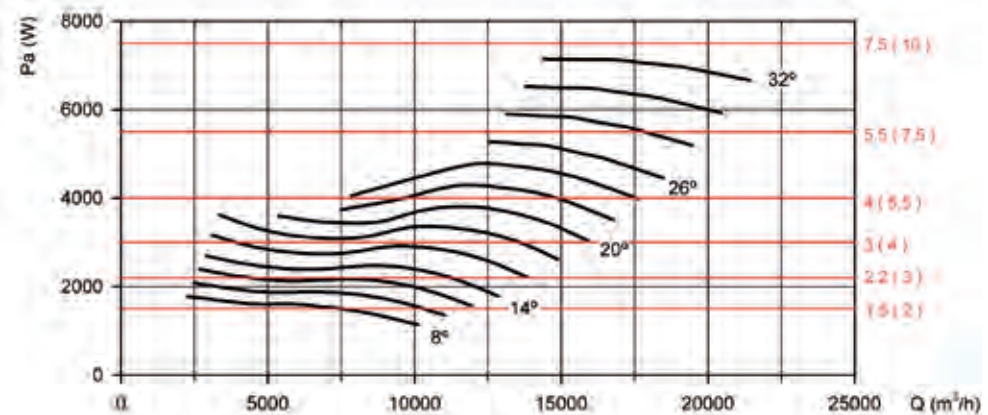
Courbes caractéristiques

Q= Débit en m³/h, m³/s et cfm.
Pe = Pression statique en mmH₂O, Pa et inwg.



Potencia absorbida
Absorbed power
Leistungsaufnahme
Puissance absorbée

Potencia Motor Recomendada kW(CV)
Recommended motor power kW (CV)
Empfohlene Motorleistung kW (PS)
Puissance Moteur Recommandée kW (CV)



Consultar características del punto de máxima eficiencia (BEP) al final de la serie.
Available features best efficiency point (BEP) at the end of the series.
Siehe Eigenschaften des besten Effizienzpunkts (BEP) am Ende der Serie.
Consulter les caractéristiques du point de rendement maximal (BEP) à la fin de la série.

Curvas características

Q= Caudal en m³/h, m³/s y cfm.
Pe= Presión estática en mmH₂O, Pa e inwg.

Diámetro Hélice (cm): 50

Impeller diameter (cm)
Durchmesser des Laufrads (cm)
Diamètre Hélice (cm)

Characteristic curves

Q = Airflow in m³/h, m³/s and cfm.
Pe= Static pressure in mmH₂O, Pa and in wg.

Número de polos: 4

Number of blades
Anzahl Schaufeln
Nombre de pales

Kennlinien

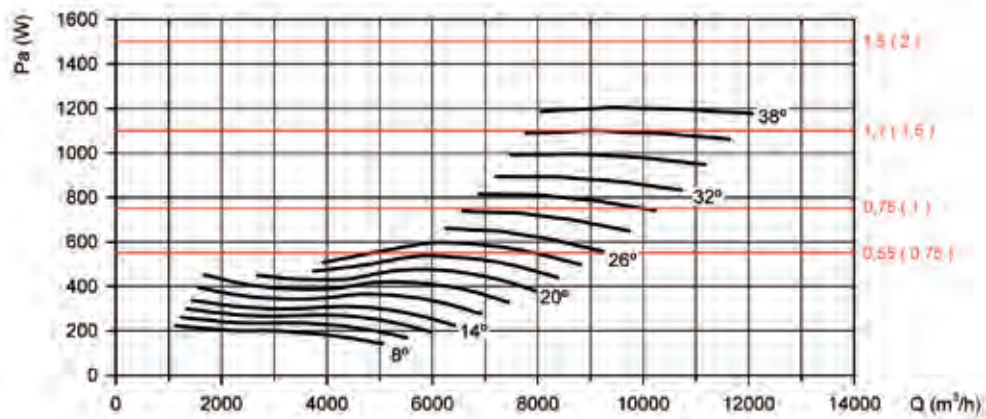
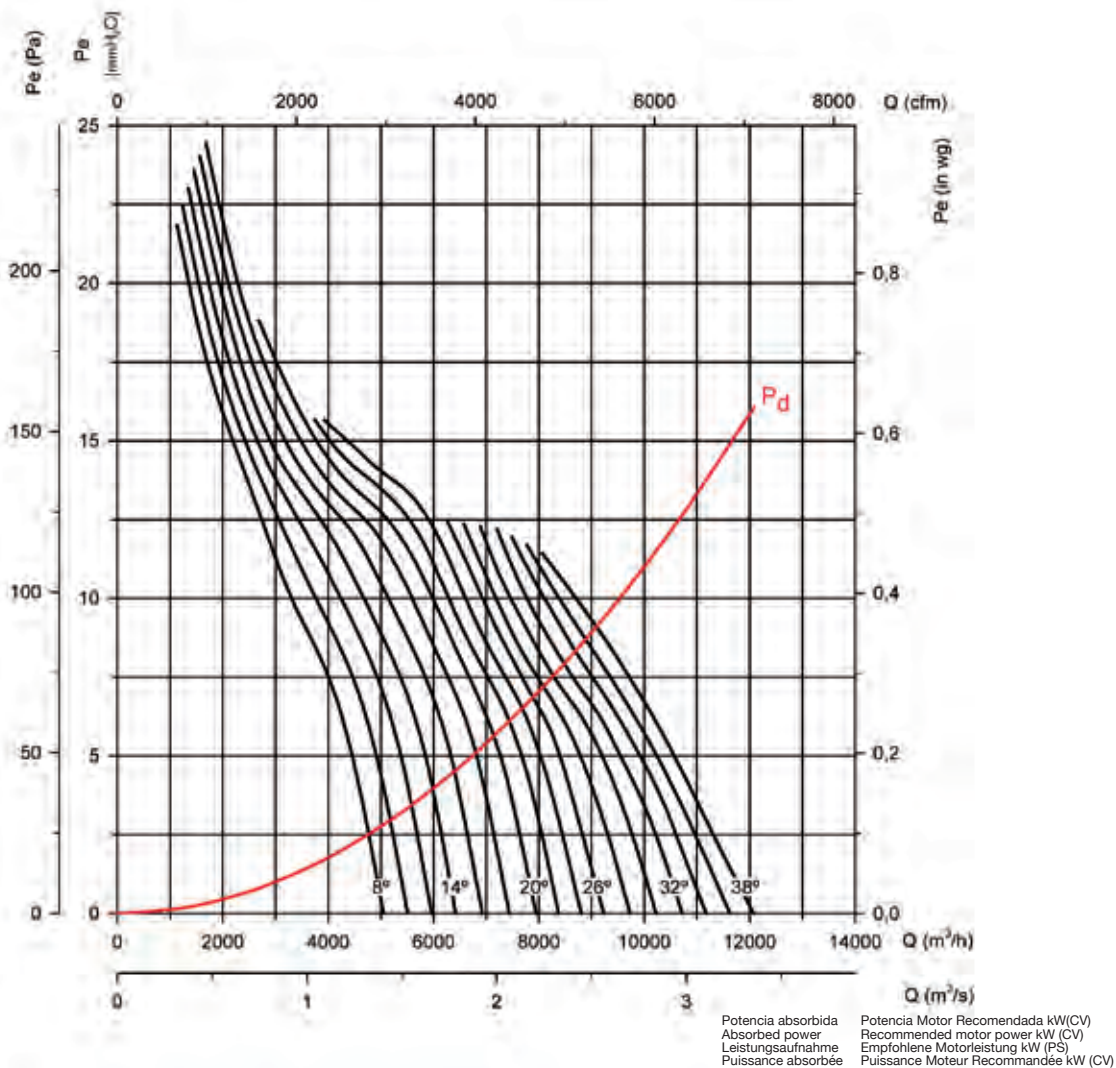
Q= Volumenstrom in m³/h, m³/s und cfm.
Pe = Statischer Druck in mmH₂O, Pa und inWS

Número de palas: 6

Number of poles
Polzahl
Nombre de pôles

Courbes caractéristiques

Q= Débit en m³/h, m³/s et cfm.
Pe = Pression statique en mmH₂O, Pa et inwg.



Consultar características del punto de máxima eficiencia (BEP) al final de la serie.
Available features best efficiency point (BEP) at the end of the series.
Siehe Eigenschaften des besten Effizienzpunkts (BEP) am Ende der Serie.
Consulter les caractéristiques du point de rendement maximal (BEP) à la fin de la série.

Curvas características

Q= Caudal en m³/h, m³/s y cfm.
Pe= Presión estática en mmH₂O, Pa e inwg.

Diámetro Hélice (cm): 50

Impeller diameter (cm)
Durchmesser des Laufrads (cm)
Diamètre Hélice (cm)

Characteristic curves

Q = Airlow in m³/h, m³/s and cfm.
Pe= Static pressure in mmH₂O, Pa and in wg.

Número de polos: 6

Number of blades
Anzahl Schaufeln
Nombre de pales

Kennlinien

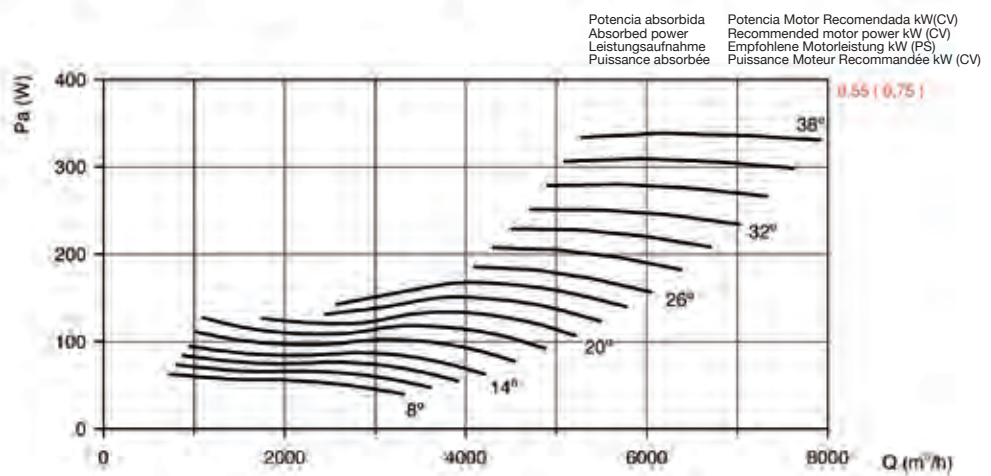
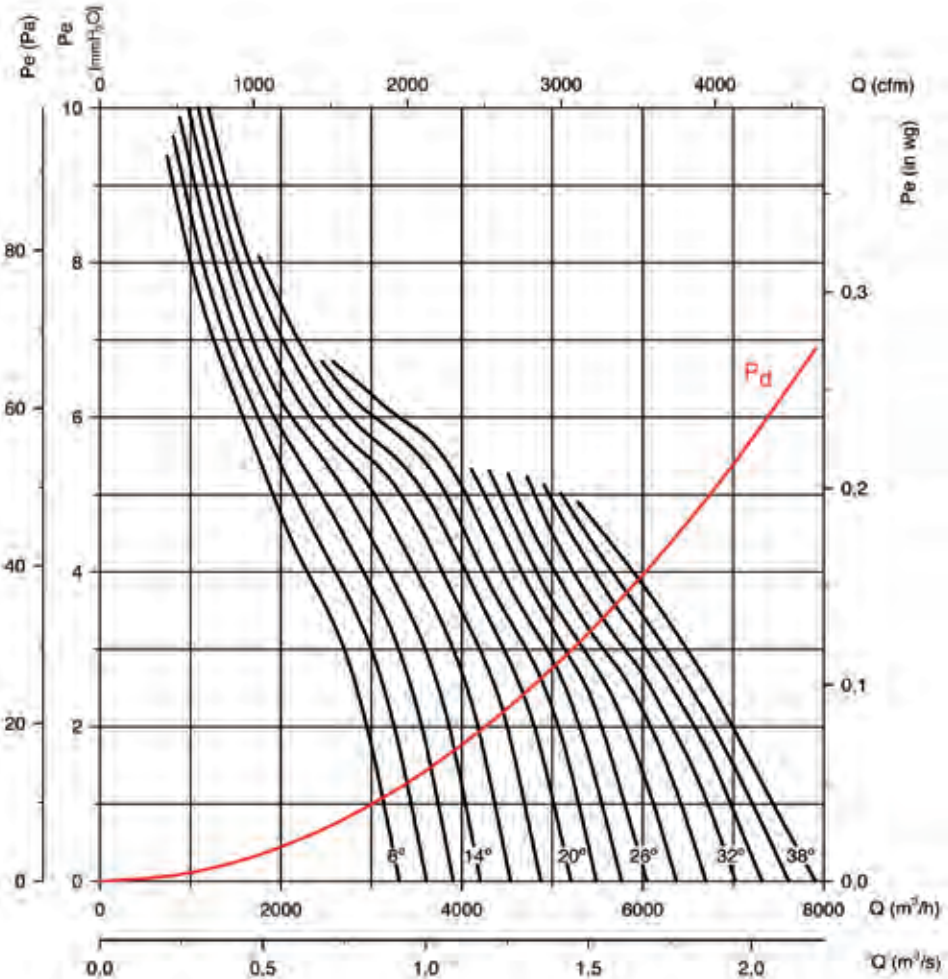
Q= Volumenstrom in m³/h, m³/s und cfm.
Pe = Statischer Druck in mmH₂O, Pa und inWS

Número de palas: 6

Number of poles
Polzahl
Nombre de pôles

Courbes caractéristiques

Q= Débit en m³/h, m³/s et cfm.
Pe = Pression statique en mmH₂O, Pa et inwg.



Consultar características del punto de máxima eficiencia (BEP) al final de la serie.
Available features best efficiency point (BEP) at the end of the series.
Siehe Eigenschaften des besten Effizienzpunkts (BEP) am Ende der Serie.
Consulter les caractéristiques du point de rendement maximal (BEP) à la fin de la série.

Curvas características

Q= Caudal en m³/h, m³/s y cfm.
Pe= Presión estática en mmH₂O, Pa e inwg.

Characteristic curves

Q = Airflow in m³/h, m³/s and cfm.
Pe= Static pressure in mmH₂O, Pa and in wg.

Kennlinien

Q= Volumenstrom in m³/h, m³/s und cfm.
Pe = Statischer Druck in mmH₂O, Pa und inWS

Courbes caractéristiques

Q= Débit en m³/h, m³/s et cfm.
Pe = Pression statique en mmH₂O, Pa et inwg.

Diámetro Hélice (cm): 56

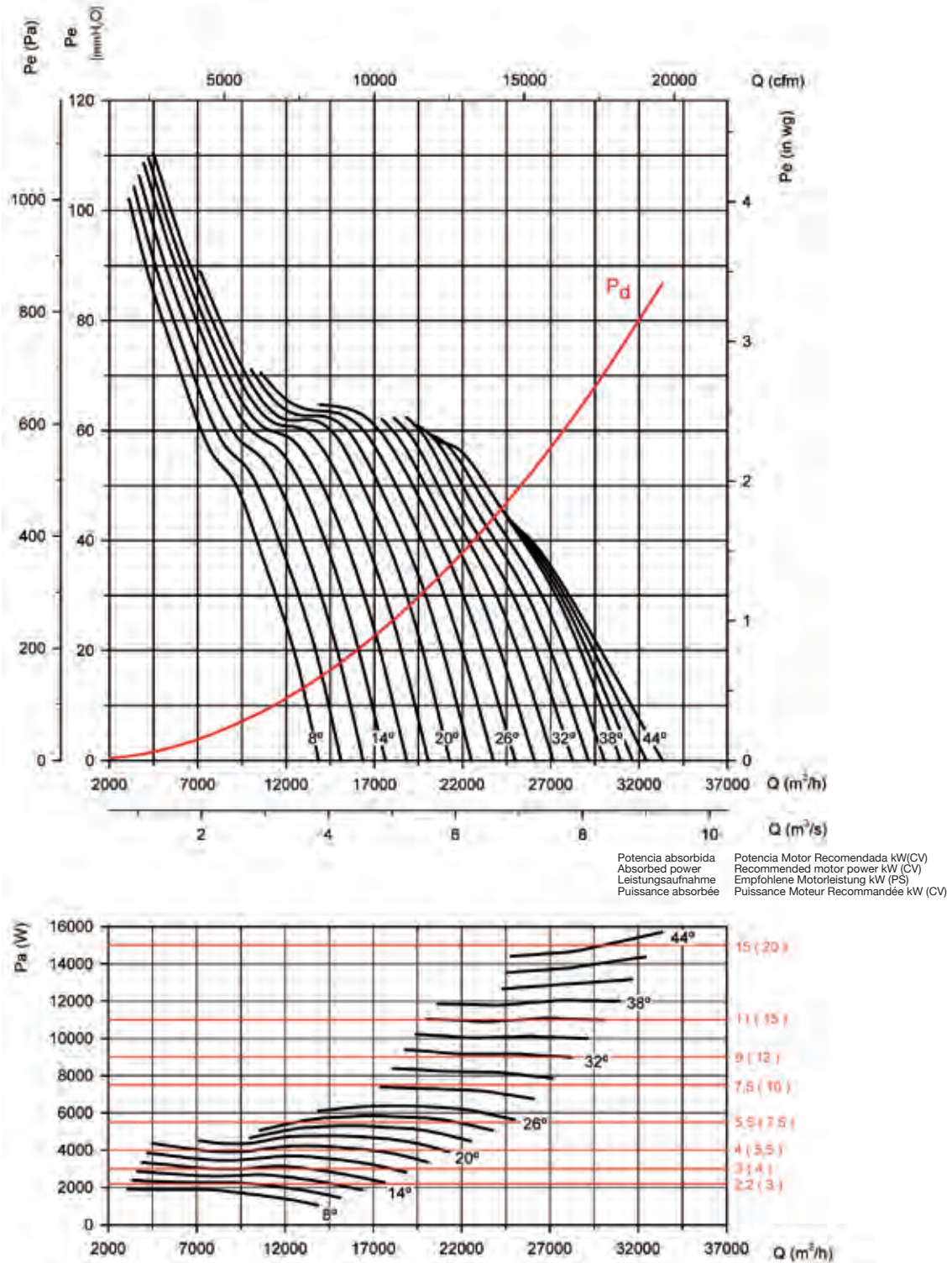
Impeller diameter (cm)
Durchmesser des Laufrads (cm)
Diamètre Hélice (cm)

Número de polos: 2

Number of blades
Anzahl Schaufeln
Nombre de pales

Número de palas: 6

Number of poles
Polzahl
Nombre de pôles



Consultar características del punto de máxima eficiencia (BEP) al final de la serie.
Available features best efficiency point (BEP) at the end of the series.
Siehe Eigenschaften des besten Effizienzpunkts (BEP) am Ende der Serie.
Consulter les caractéristiques du point de rendement maximal (BEP) à la fin de la série.

Curvas características

Characteristic curves

Kennlinien

Courbes caractéristiques

Q= Caudal en m³/h, m³/s y cfm.
Pe= Presión estática en mmH₂O, Pa e inwg.

Q = Airflow in m³/h, m³/s and cfm.
Pe= Static pressure in mmH₂O, Pa and in wg.

Q= Volumenstrom in m³/h, m³/s und cfm.
Pe = Statischer Druck in mmH₂O, Pa und inWS

Q= Débit en m³/h, m³/s et cfm.
Pe = Pression statique en mmH₂O, Pa et inwg.

Diámetro Hélice (cm): 56

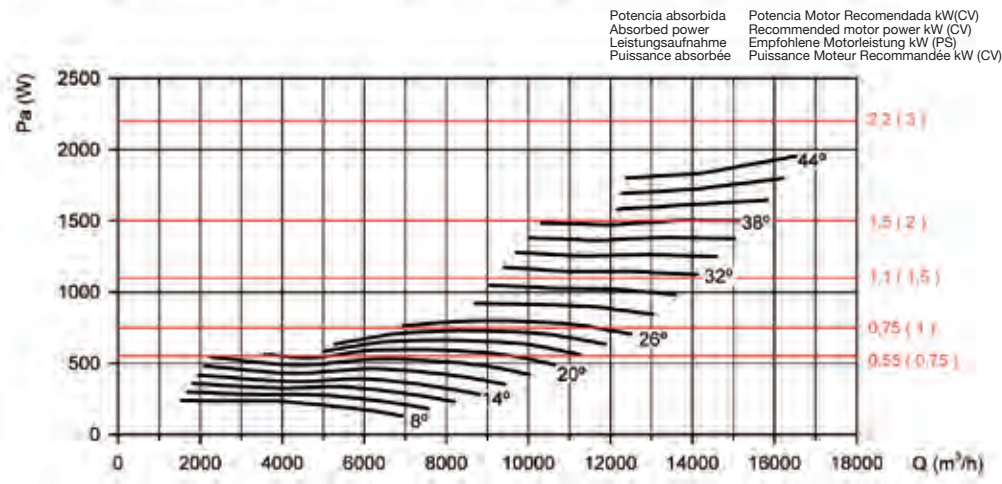
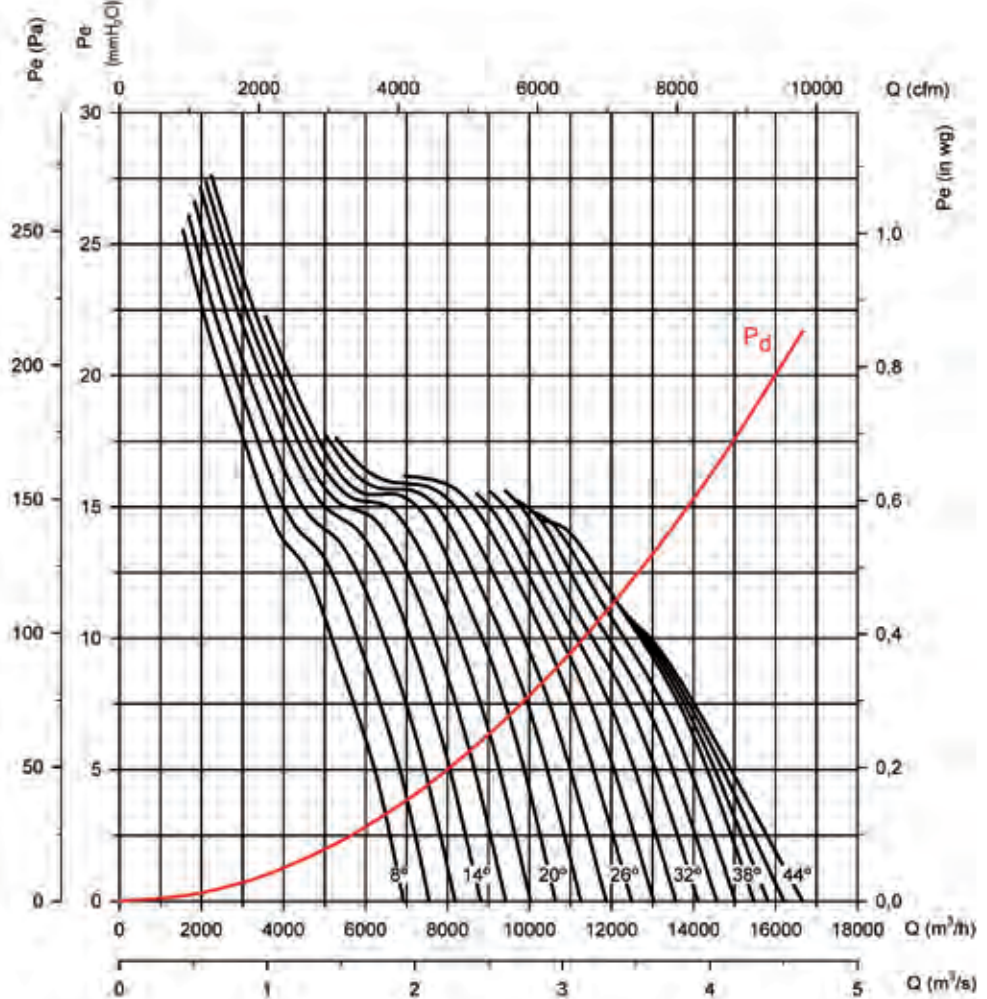
Número de polos: 4

Número de palas: 6

Impeller diameter (cm)
Durchmesser des Laufrads (cm)
Diamètre Hélice (cm)

Number of blades
Anzahl Schaufeln
Nombre de pales

Number of poles
Polzahl
Nombre de pôles



Potencia absorbida / Absorbed power / Leistungsaufnahme / Puissance absorbée
Potencia Motor Recomendada kW(CV) / Recommended motor power kW (CV) / Empfohlene Motorleistung kW (PS) / Puissance Moteur Recommandée kW (CV)



Consultar características del punto de máxima eficiencia (BEP) al final de la serie.
Available features best efficiency point (BEP) at the end of the series.
Siehe Eigenschaften des besten Effizienzpunkts (BEP) am Ende der Serie.
Consulter les caractéristiques du point de rendement maximal (BEP) à la fin de la série.

Curvas características

Q= Caudal en m³/h, m³/s y cfm.
Pe= Presión estática en mmH₂O, Pa e inwg.

Characteristic curves

Q = Airflow in m³/h, m³/s and cfm.
Pe= Static pressure in mmH₂O, Pa and in wg.

Kennlinien

Q= Volumenstrom in m³/h, m³/s und cfm.
Pe = Statischer Druck in mmH₂O, Pa und inWS

Courbes caractéristiques

Q= Débit en m³/h, m³/s et cfm.
Pe = Pression statique en mmH₂O, Pa et inwg.

Diámetro Hélice (cm): 56

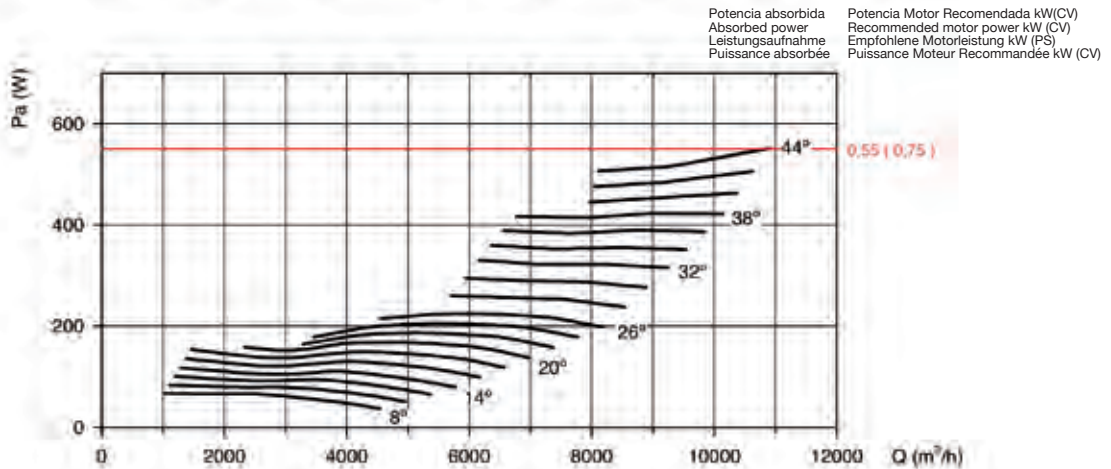
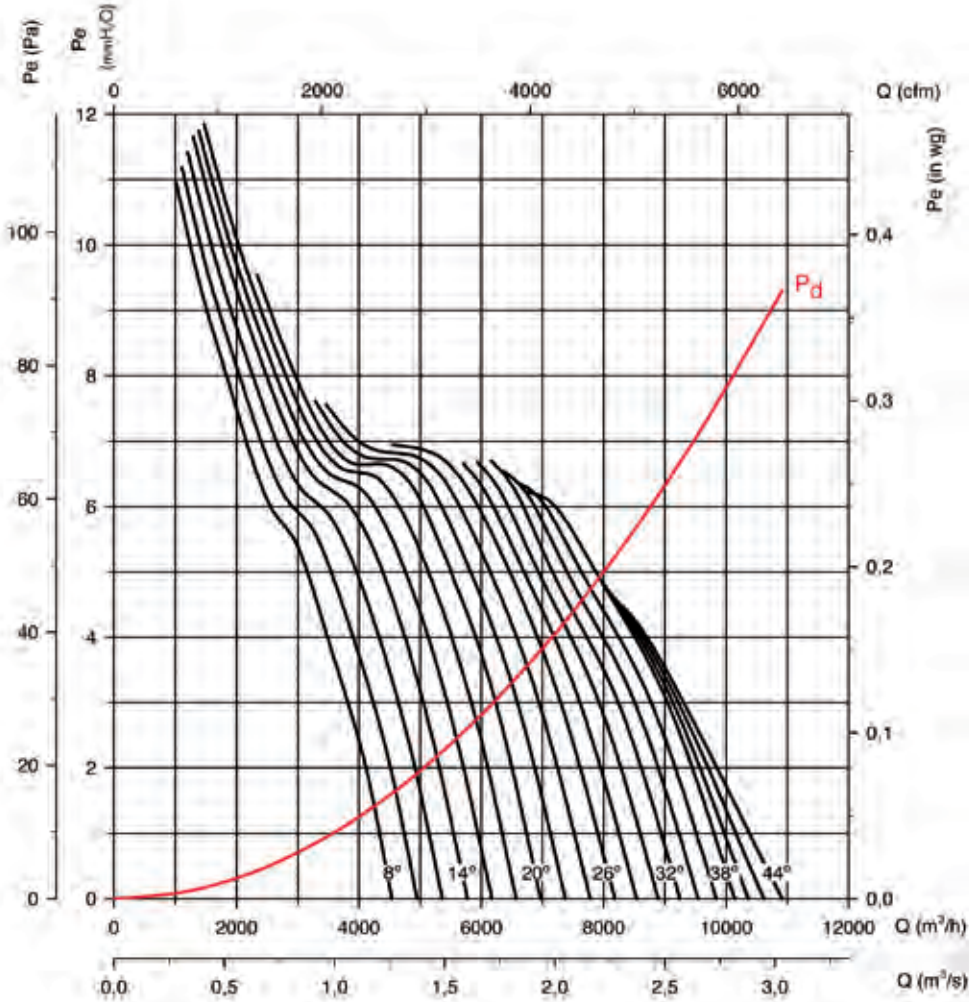
Impeller diameter (cm)
Durchmesser des Laufrads (cm)
Diamètre Hélice (cm)

Número de polos: 6

Number of blades
Anzahl Schaufeln
Nombre de pales

Número de palas: 6

Number of poles
Polzahl
Nombre de pôles



Potencia absorbida
Absorbed power
Leistungsaufnahme
Puissance absorbée

Potencia Motor Recomendada kW(CV)
Recommended motor power kW (CV)
Empfohlene Motorleistung kW (PS)
Puissance Moteur Recommandée kW (CV)



Consultar características del punto de máxima eficiencia (BEP) al final de la serie.
Available features best efficiency point (BEP) at the end of the series.
Siehe Eigenschaften des besten Effizienzpunkts (BEP) am Ende der Serie.
Consulter les caractéristiques du point de rendement maximal (BEP) à la fin de la série.

Curvas características

Q= Caudal en m³/h, m³/s y cfm.
Pe= Presión estática en mmH₂O, Pa e inwg.

Diámetro Hélice (cm): 63

Impeller diameter (cm)
Durchmesser des Laufrads (cm)
Diamètre Hélice (cm)

Characteristic curves

Q = Airflow in m³/h, m³/s and cfm.
Pe= Static pressure in mmH₂O, Pa and in wg.

Número de polos: 2

Number of blades
Anzahl Schaufeln
Nombre de pales

Kennlinien

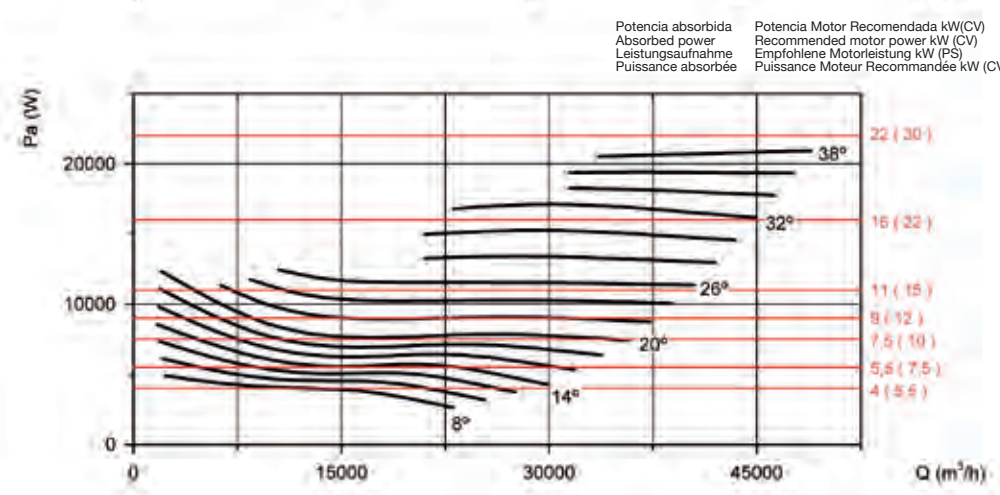
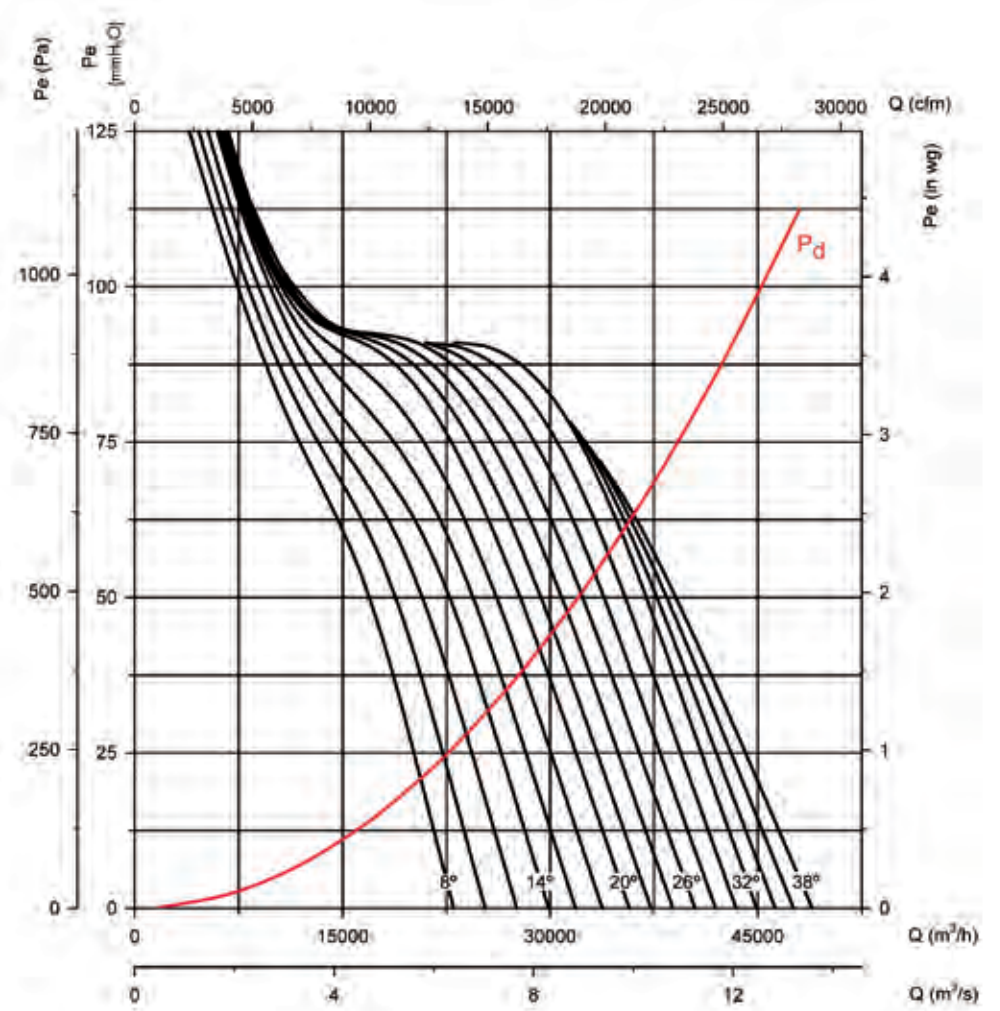
Q= Volumenstrom in m³/h, m³/s und cfm.
Pe = Statischer Druck in mmH₂O, Pa und inWS

Número de palas: 6

Number of poles
Polzahl
Nombre de pôles

Courbes caractéristiques

Q= Débit en m³/h, m³/s et cfm.
Pe = Pression statique en mmH₂O, Pa et inwg.



Potencia absorbida / Absorbed power / Leistungsaufnahme / Puissance absorbée
Potencia Motor Recomendada kW(CV) / Recommended motor power kW (CV) / Empfohlene Motorleistung kW (PS) / Puissance Moteur Recommandée kW (CV)



Consultar características del punto de máxima eficiencia (BEP) al final de la serie.
Available features best efficiency point (BEP) at the end of the series.
Siehe Eigenschaften des besten Effizienzpunkts (BEP) am Ende der Serie.
Consulter les caractéristiques du point de rendement maximal (BEP) à la fin de la série.

Curvas características

Q= Caudal en m³/h, m³/s y cfm.
Pe= Presión estática en mmH₂O, Pa e inwg.

Diámetro Hélice (cm): 63

Impeller diameter (cm)
Durchmesser des Laufrads (cm)
Diamètre Hélice (cm)

Characteristic curves

Q = Airflow in m³/h, m³/s and cfm.
Pe= Static pressure in mmH₂O, Pa and in wg.

Número de polos: 4

Number of blades
Anzahl Schaufeln
Nombre de pales

Kennlinien

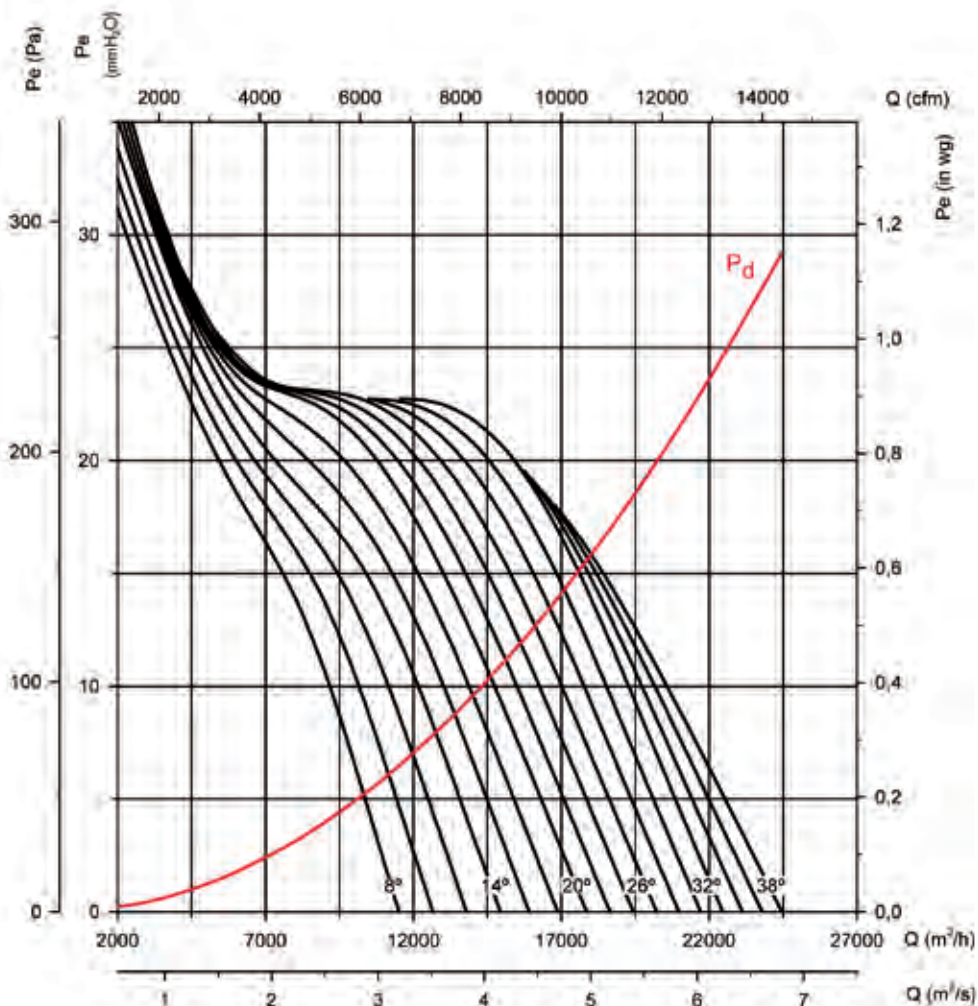
Q= Volumenstrom in m³/h, m³/s und cfm.
Pe = Statischer Druck in mmH₂O, Pa und inWS

Número de palas: 6

Number of poles
Polzahl
Nombre de pôles

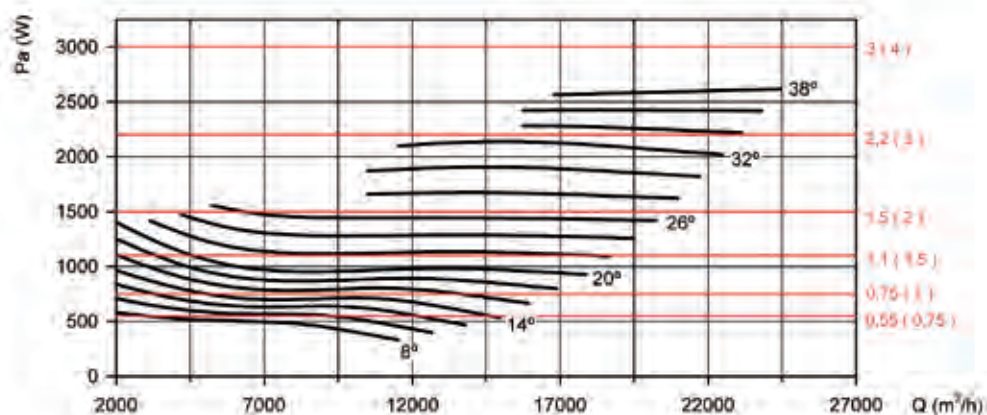
Courbes caractéristiques

Q= Débit en m³/h, m³/s et cfm.
Pe = Pression statique en mmH₂O, Pa et inwg.



Potencia absorbida
Absorbed power
Leistungsaufnahme
Puissance absorbée

Potencia Motor Recomendada kW(CV)
Recommended motor power kW (CV)
Empfohlene Motorleistung kW (PS)
Puissance Moteur Recommandée kW (CV)



Consultar características del punto de máxima eficiencia (BEP) al final de la serie.
Available features best efficiency point (BEP) at the end of the series.
Siehe Eigenschaften des besten Effizienzpunkts (BEP) am Ende der Serie.
Consulter les caractéristiques du point de rendement maximal (BEP) à la fin de la série.

Curvas características

Characteristic curves

Kennlinien

Courbes caractéristiques

Q= Caudal en m³/h, m³/s y cfm.
Pe= Presión estática en mmH₂O, Pa e inwg.

Q = Airflow in m³/h, m³/s and cfm.
Pe= Static pressure in mmH₂O, Pa and in wg.

Q= Volumenstrom in m³/h, m³/s und cfm.
Pe = Statischer Druck in mmH₂O, Pa und inWS

Q= Débit en m³/h, m³/s et cfm.
Pe = Pression statique en mmH₂O, Pa et inwg.

Diámetro Hélice (cm): 63

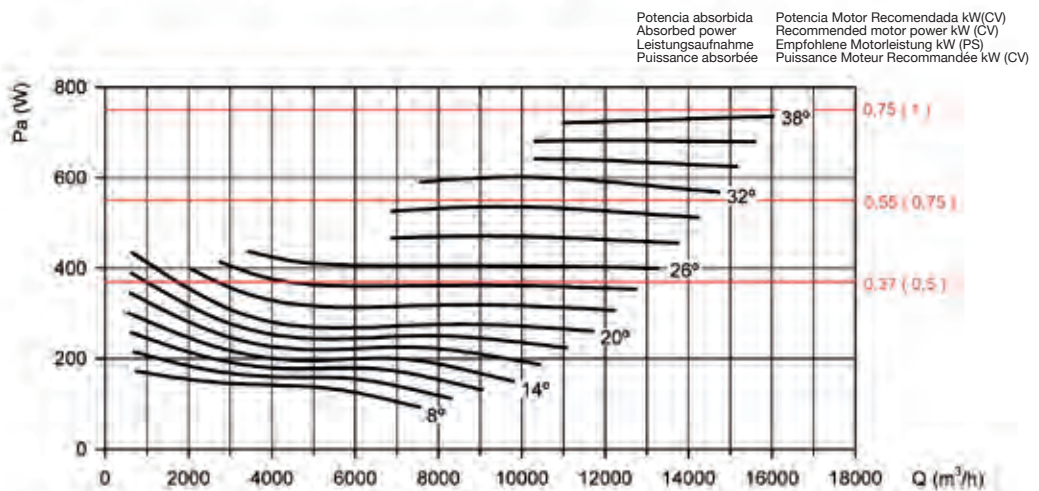
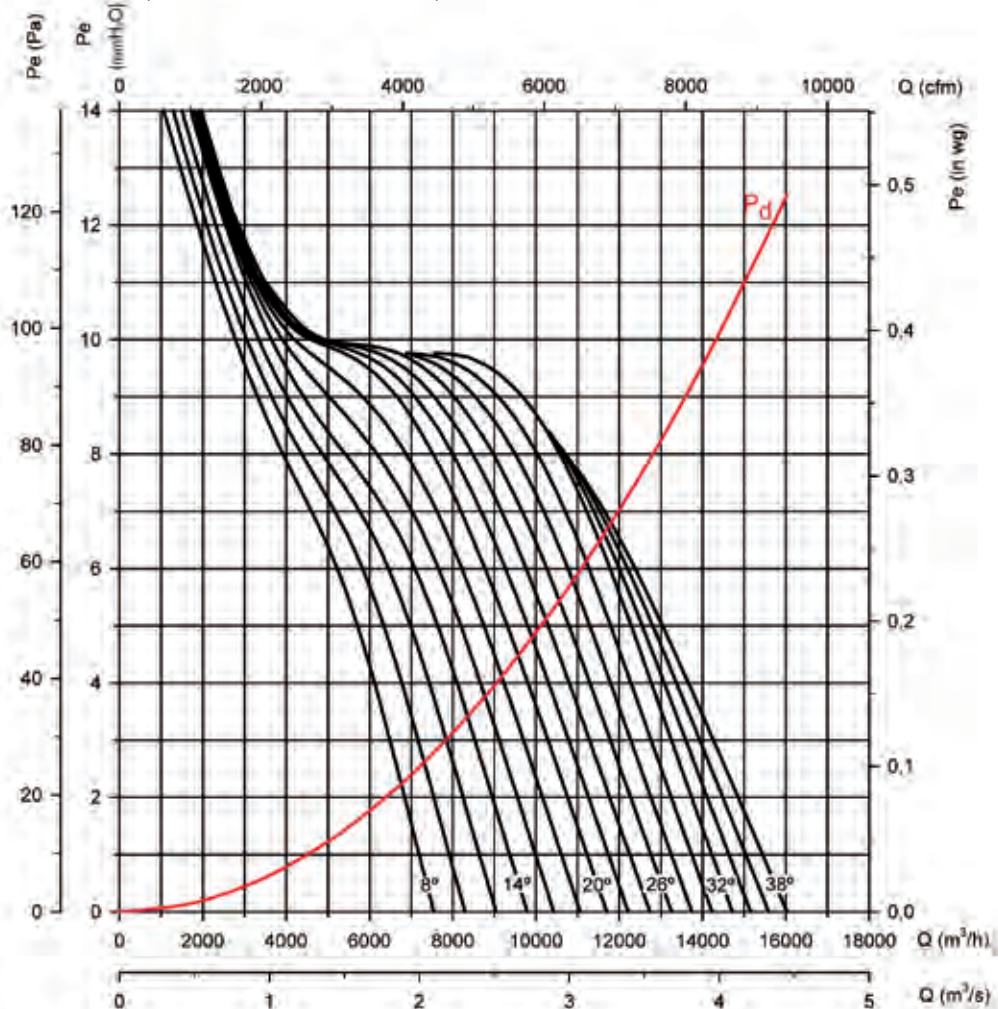
Número de polos: 6

Número de palas: 6

Impeller diameter (cm)
Durchmesser des Laufrads (cm)
Diamètre Hélice (cm)

Number of blades
Anzahl Schaufeln
Nombre de pales

Number of poles
Polzahl
Nombre de pôles



Potencia absorbida
Absorbed power
Leistungsaufnahme
Puissance absorbée

Potencia Motor Recomendada kW(CV)
Recommended motor power kW (CV)
Empfohlene Motorleistung kW (PS)
Puissance Moteur Recommandée kW (CV)



Consultar características del punto de máxima eficiencia (BEP) al final de la serie.
Available features best efficiency point (BEP) at the end of the series.
Siehe Eigenschaften des besten Effizienzpunkts (BEP) am Ende der Serie.
Consulter les caractéristiques du point de rendement maximal (BEP) à la fin de la série.

Curvas características

Q= Caudal en m³/h, m³/s y cfm.
Pe= Presión estática en mmH₂O, Pa e inwg.

Characteristic curves

Q = Airflow in m³/h, m³/s and cfm.
Pe= Static pressure in mmH₂O, Pa and in wg.

Kennlinien

Q= Volumenstrom in m³/h, m³/s und cfm.
Pe = Statischer Druck in mmH₂O, Pa und inWS

Courbes caractéristiques

Q= Débit en m³/h, m³/s et cfm.
Pe = Pression statique en mmH₂O, Pa et inwg.

Diámetro Hélice (cm): 71

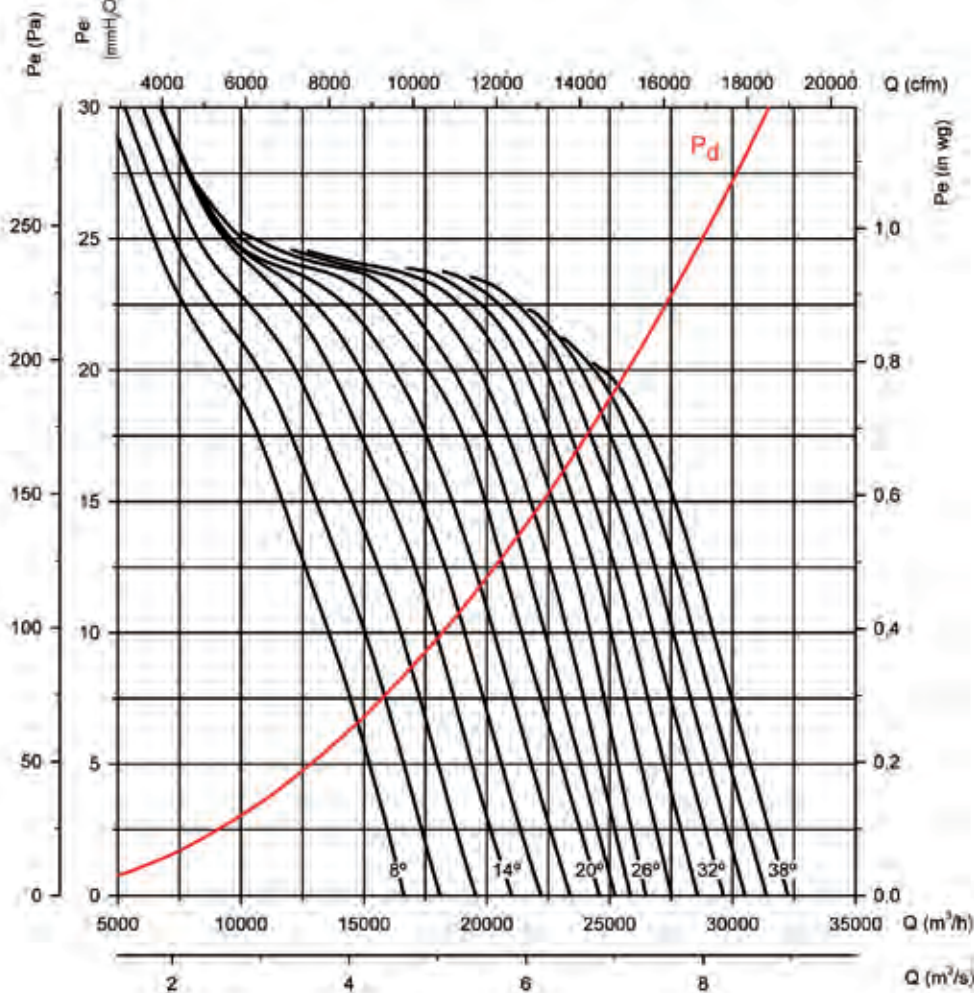
Impeller diameter (cm)
Durchmesser des Laufrads (cm)
Diamètre Hélice (cm)

Número de polos: 4

Number of blades
Anzahl Schaufeln
Nombre de pales

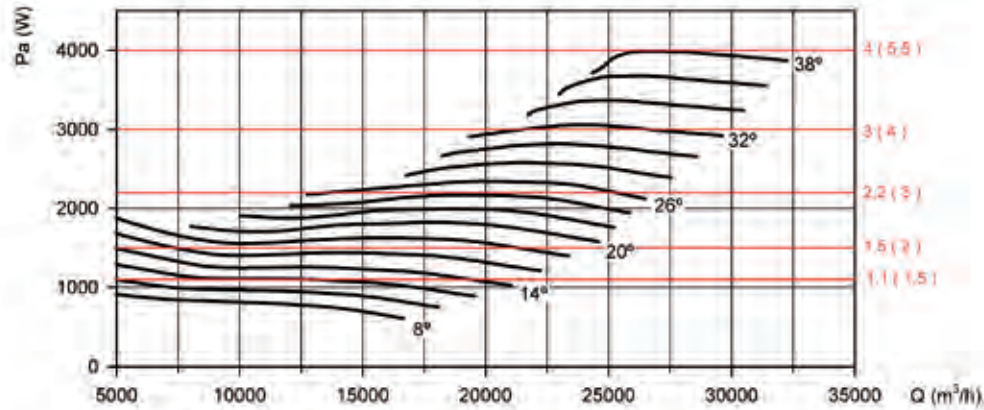
Número de palas: 6

Number of poles
Polzahl
Nombre de pôles



Potencia absorbida
Absorbed power
Leistungsaufnahme
Puissance absorbée

Potencia Motor Recomendada kW(CV)
Recommended motor power kW (CV)
Empfohlene Motorleistung kW (PS)
Puissance Moteur Recommandée kW (CV)



Consultar características del punto de máxima eficiencia (BEP) al final de la serie.
Available features best efficiency point (BEP) at the end of the series.
Siehe Eigenschaften des besten Effizienzpunkts (BEP) am Ende der Serie.
Consulter les caractéristiques du point de rendement maximal (BEP) à la fin de la série.

Curvas características

Characteristic curves

Kennlinien

Courbes caractéristiques

Q= Caudal en m³/h, m³/s y cfm.
Pe= Presión estática en mmH₂O, Pa e inwg.

Q = Airflow in m³/h, m³/s and cfm.
Pe= Static pressure in mmH₂O, Pa and inwg.

Q= Volumenstrom in m³/h, m³/s und cfm.
Pe = Statischer Druck in mmH₂O, Pa und inWS

Q= Débit en m³/h, m³/s et cfm.
Pe = Pression statique en mmH₂O, Pa et inwg.

Diámetro Hélice (cm): 71

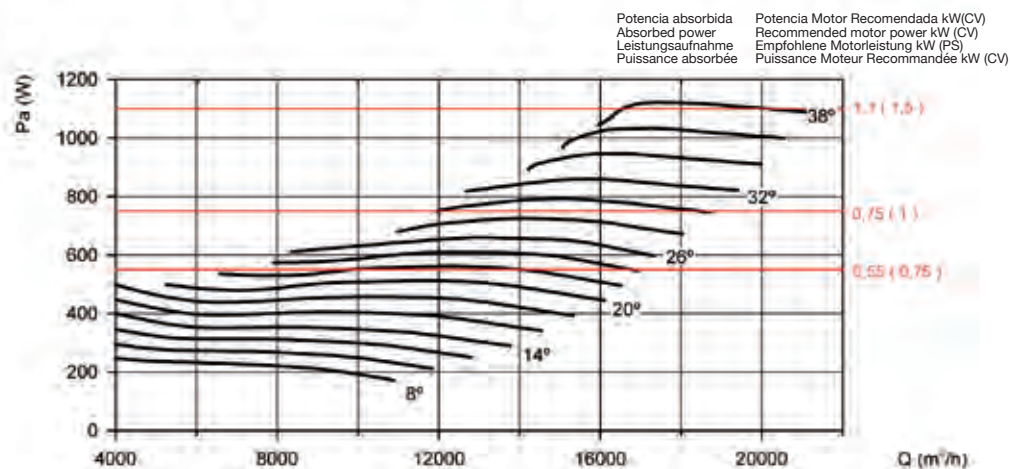
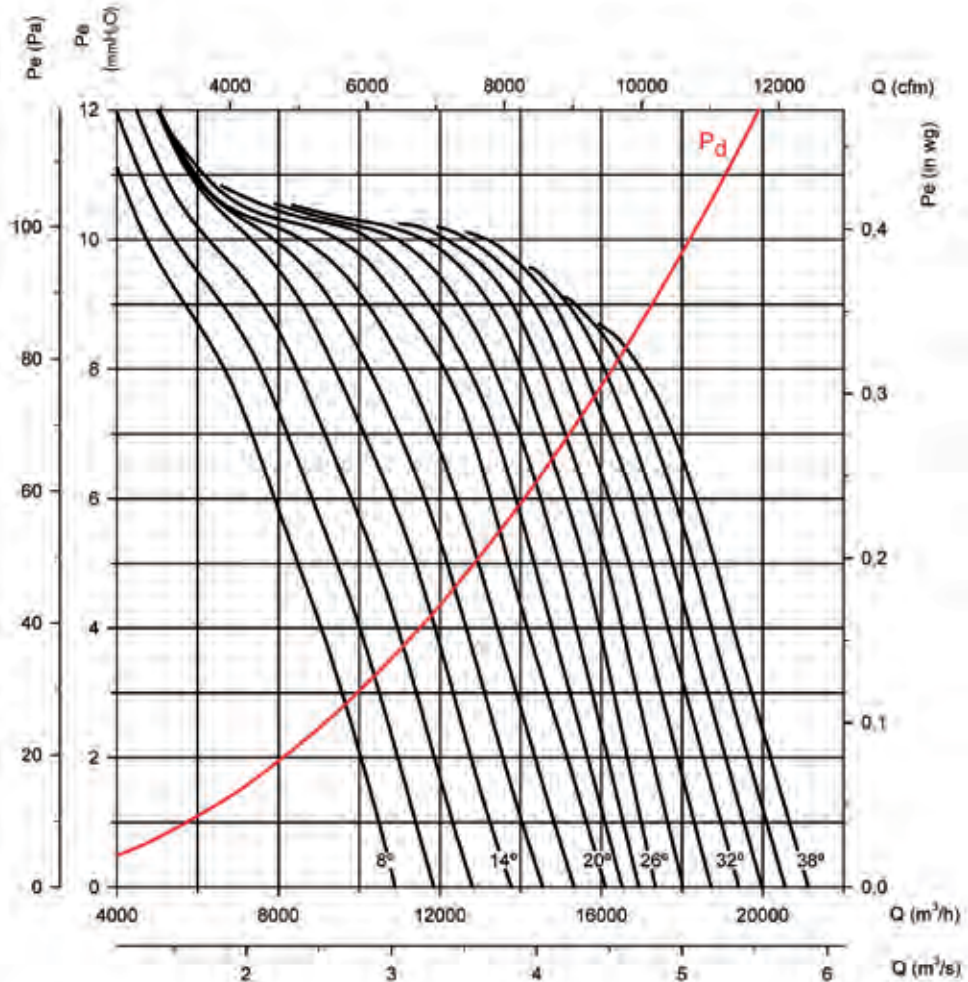
Número de polos: 6

Número de palas: 6

Impeller diameter (cm)
Durchmesser des Laufrads (cm)
Diamètre Hélice (cm)

Number of blades
Anzahl Schaufeln
Nombre de pales

Number of poles
Polzahl
Nombre de pôles



Potencia absorbida
Absorbed power
Leistungsaufnahme
Puissance absorbée

Potencia Motor Recomendada kW(CV)
Recommended motor power kW (CV)
Empfohlene Motorleistung kW (PS)
Puissance Moteur Recommandée kW (CV)



Consultar características del punto de máxima eficiencia (BEP) al final de la serie.
Available features best efficiency point (BEP) at the end of the series.
Siehe Eigenschaften des besten Effizienzpunkts (BEP) am Ende der Serie.
Consulter les caractéristiques du point de rendement maximal (BEP) à la fin de la série.

Curvas características

Q= Caudal en m³/h, m³/s y cfm.
Pe= Presión estática en mmH₂O, Pa e inwg.

Diámetro Hélice (cm): 80

Impeller diameter (cm)
Durchmesser des Laufrads (cm)
Diamètre Hélice (cm)

Characteristic curves

Q = Airflow in m³/h, m³/s and cfm.
Pe= Static pressure in mmH₂O, Pa and in wg.

Número de polos: 4

Number of blades
Anzahl Schaufeln
Nombre de pales

Kennlinien

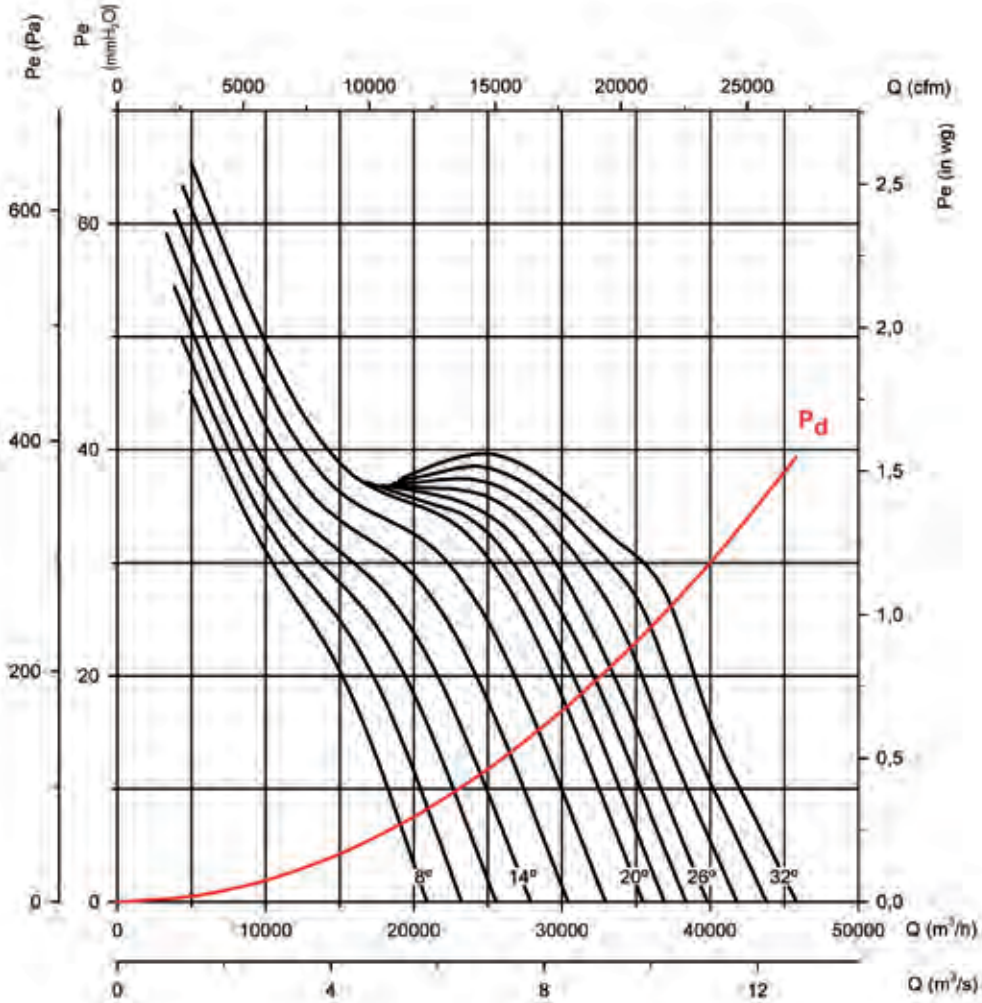
Q= Volumenstrom in m³/h, m³/s und cfm.
Pe = Statischer Druck in mmH₂O, Pa und inWS

Número de palas: 6

Number of poles
Polzahl
Nombre de pôles

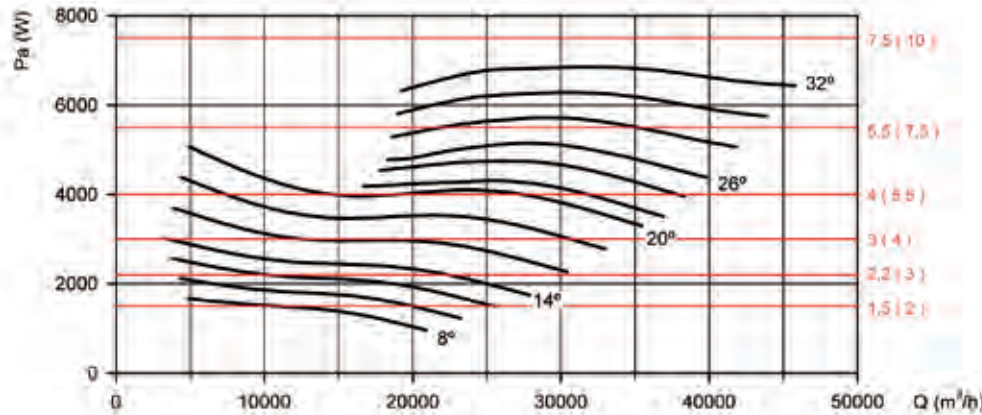
Courbes caractéristiques

Q= Débit en m³/h, m³/s et cfm.
Pe = Pression statique en mmH₂O, Pa et inwg.



Potencia absorbida
Absorbed power
Leistungsaufnahme
Puissance absorbée

Potencia Motor Recomendada kW(CV)
Recommended motor power kW (CV)
Empfohlene Motorleistung kW (PS)
Puissance Moteur Recommandée kW (CV)



Consultar características del punto de máxima eficiencia (BEP) al final de la serie.
Available features best efficiency point (BEP) at the end of the series.
Siehe Eigenschaften des besten Effizienzpunkts (BEP) am Ende der Serie.
Consulter les caractéristiques du point de rendement maximal (BEP) à la fin de la série.

Curvas características

Characteristic curves

Kennlinien

Courbes caractéristiques

Q= Caudal en m³/h, m³/s y cfm.
Pe= Presión estática en mmH₂O, Pa e inwg.

Q = Airflow in m³/h, m³/s and cfm.
Pe= Static pressure in mmH₂O, Pa and in wg.

Q= Volumenstrom in m³/h, m³/s und cfm.
Pe = Statischer Druck in mmH₂O, Pa und inWS

Q= Débit en m³/h, m³/s et cfm.
Pe = Pression statique en mmH₂O, Pa et inwg.

Diámetro Hélice (cm): 80

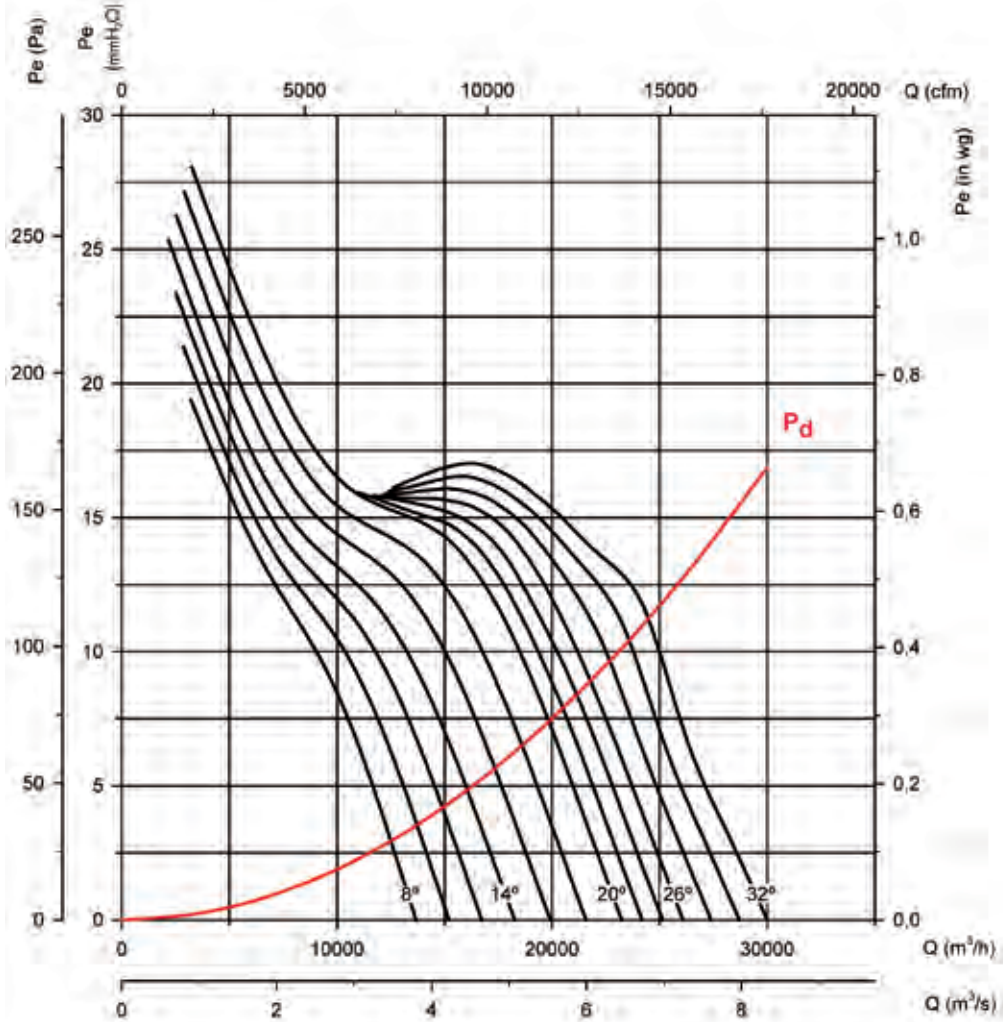
Número de polos: 6

Número de palas: 6

Impeller diameter (cm)
Durchmesser des Laufrads (cm)
Diamètre Hélice (cm)

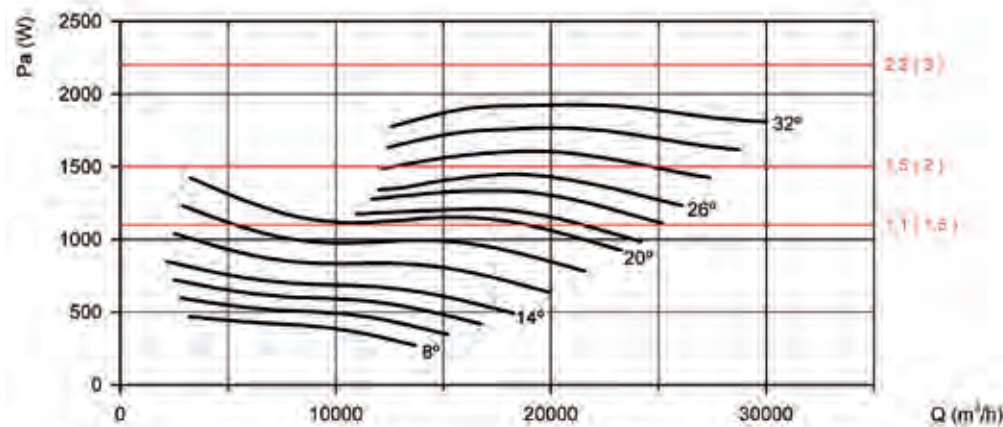
Number of blades
Anzahl Schaufeln
Nombre de pales

Number of poles
Polzahl
Nombre de pôles



Potencia absorbida
Absorbed power
Leistungsaufnahme
Puissance absorbée

Potencia Motor Recomendada kW(CV)
Recommended motor power kW (CV)
Empfohlene Motorleistung kW (PS)
Puissance Moteur Recommandée kW (CV)



Consultar características del punto de máxima eficiencia (BEP) al final de la serie.
Available features best efficiency point (BEP) at the end of the series.
Siehe Eigenschaften des besten Effizienzpunkts (BEP) am Ende der Serie.
Consulter les caractéristiques du point de rendement maximal (BEP) à la fin de la série.

Curvas características

Q= Caudal en m³/h, m³/s y cfm.
Pe= Presión estática en mmH₂O, Pa e inwg.

Characteristic curves

Q = Airflow in m³/h, m³/s and cfm.
Pe= Static pressure in mmH₂O, Pa and in wg.

Kennlinien

Q= Volumenstrom in m³/h, m³/s und cfm.
Pe = Statischer Druck in mmH₂O, Pa und inWS

Courbes caractéristiques

Q= Débit en m³/h, m³/s et cfm.
Pe = Pression statique en mmH₂O, Pa et inwg.

Diámetro Hélice (cm): 80

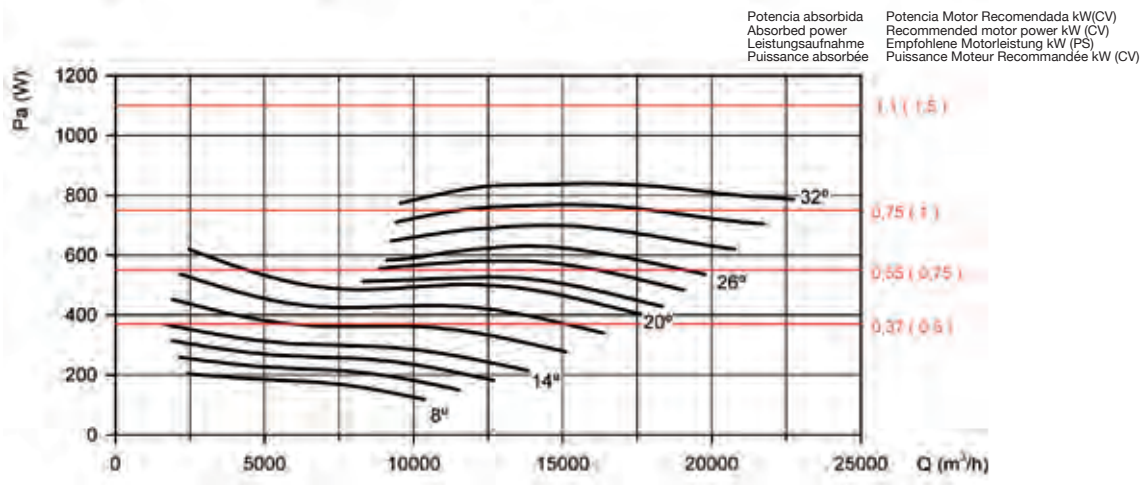
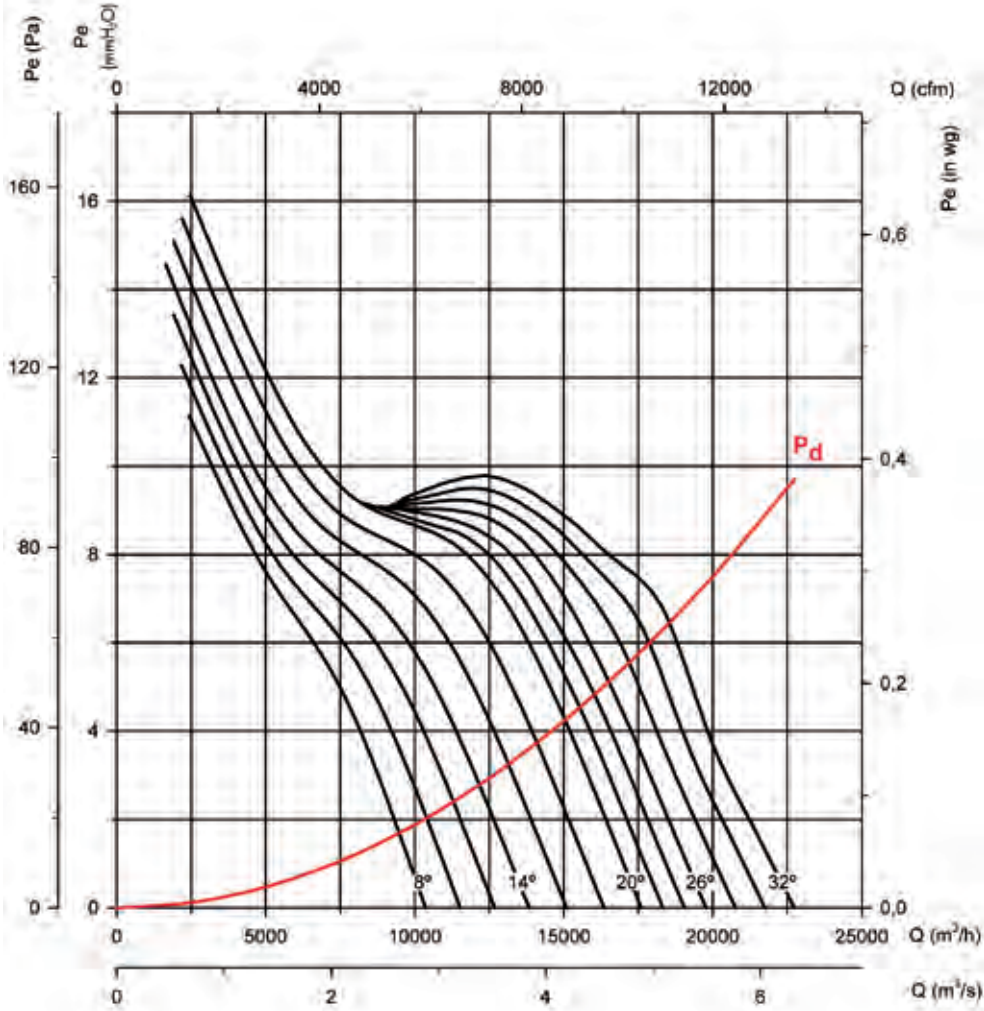
Impeller diameter (cm)
Durchmesser des Laufrads (cm)
Diamètre Hélice (cm)

Número de polos: 8

Number of blades
Anzahl Schaufeln
Nombre de pales

Número de palas: 6

Number of poles
Polzahl
Nombre de pôles



Consultar características del punto de máxima eficiencia (BEP) al final de la serie.
Available features best efficiency point (BEP) at the end of the series.
Siehe Eigenschaften des besten Effizienzpunkts (BEP) am Ende der Serie.
Consulter les caractéristiques du point de rendement maximal (BEP) à la fin de la série.

Curvas características

Characteristic curves

Kennlinien

Courbes caractéristiques

Q= Caudal en m³/h, m³/s y cfm.
Pe= Presión estática en mmH₂O, Pa e inwg.

Q = Airflow in m³/h, m³/s and cfm.
Pe= Static pressure in mmH₂O, Pa and inwg.

Q= Volumenstrom in m³/h, m³/s und cfm.
Pe = Statischer Druck in mmH₂O, Pa und inWS

Q= Débit en m³/h, m³/s et cfm.
Pe = Pression statique en mmH₂O, Pa et inwg.

Diámetro Hélice (cm): 90

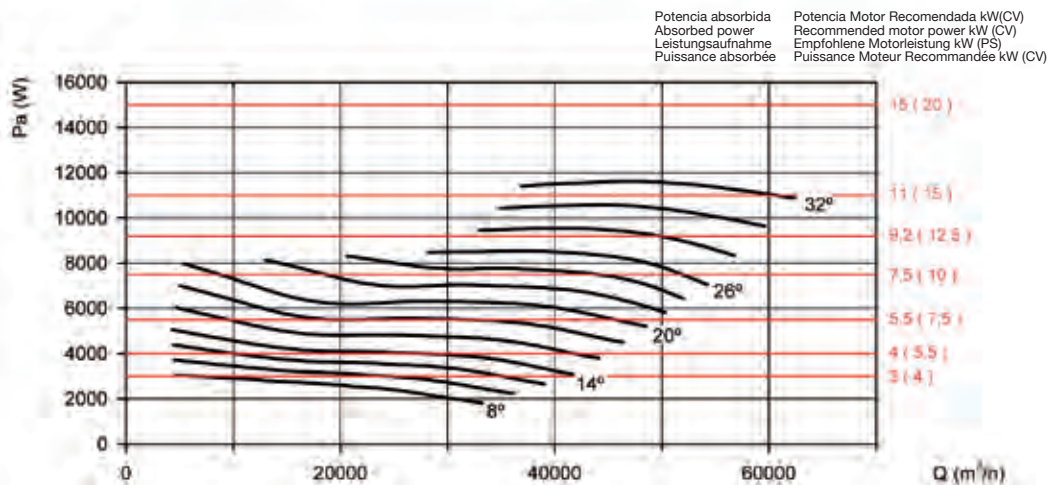
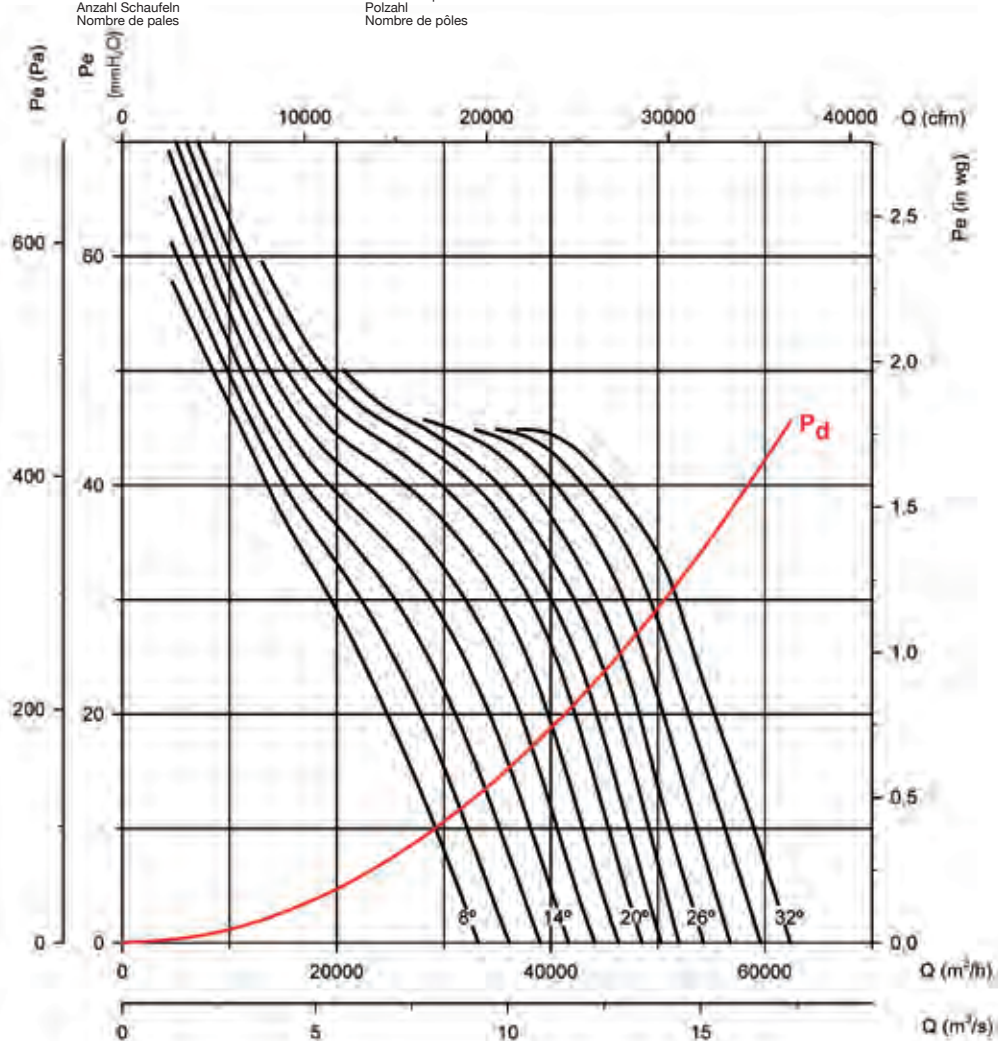
Número de polos: 4

Número de palas: 6

Impeller diameter (cm)
Durchmesser des Laufrads (cm)
Diamètre Hélice (cm)

Number of blades
Anzahl Schaufeln
Nombre de pales

Number of poles
Polzahl
Nombre de pôles



Potencia absorbida
Absorbed power
Leistungsaufnahme
Puissance absorbée

Potencia Motor Recomendada kW(CV)
Recommended motor power kW (CV)
Empfohlene Motorleistung kW (PS)
Puissance Moteur Recommandée kW (CV)



Consultar características del punto de máxima eficiencia (BEP) al final de la serie.
Available features best efficiency point (BEP) at the end of the series.
Siehe Eigenschaften des besten Effizienzpunkts (BEP) am Ende der Serie.
Consulter les caractéristiques du point de rendement maximal (BEP) à la fin de la série.

Curvas características

Q= Caudal en m³/h, m³/s y cfm.
Pe= Presión estática en mmH₂O, Pa e inwg.

Diámetro Hélice (cm): 90

Impeller diameter (cm)
Durchmesser des Laufrads (cm)
Diamètre Hélice (cm)

Characteristic curves

Q = Airflow in m³/h, m³/s and cfm.
Pe= Static pressure in mmH₂O, Pa and in wg.

Número de polos: 6

Number of blades
Anzahl Schaufeln
Nombre de pales

Kennlinien

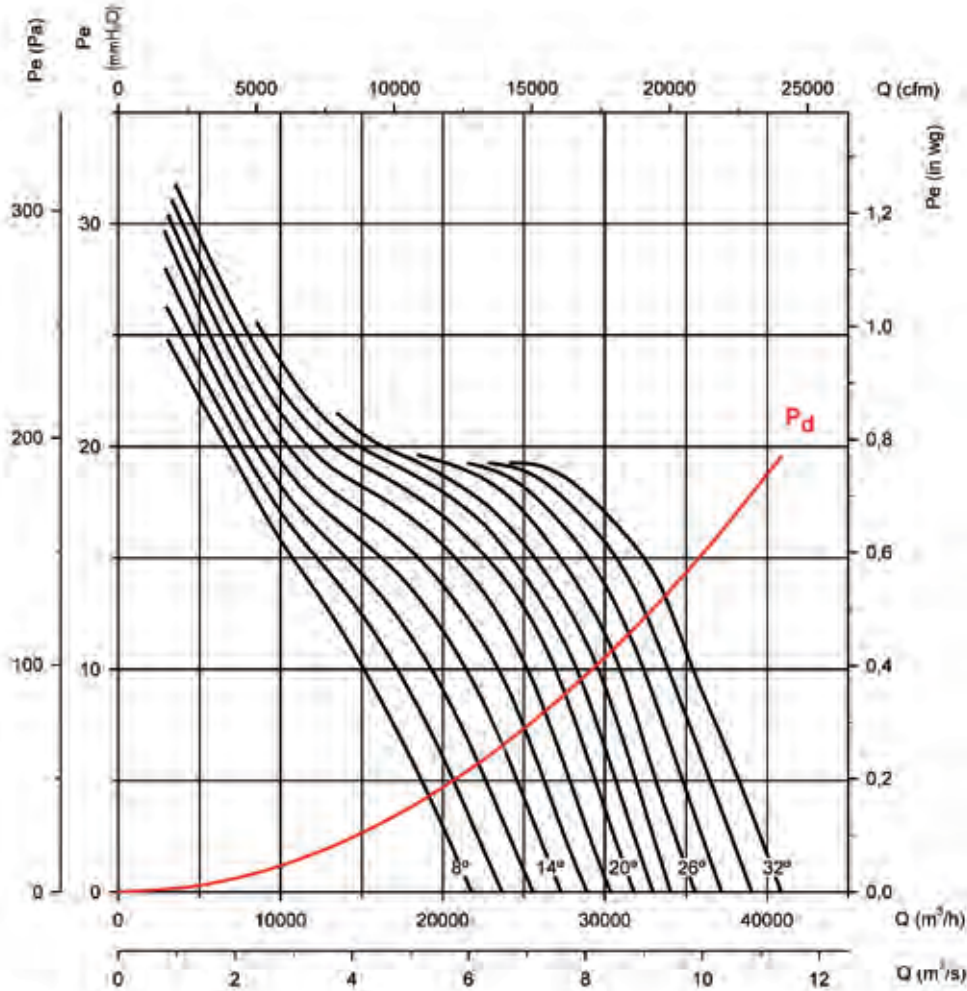
Q= Volumenstrom in m³/h, m³/s und cfm.
Pe = Statischer Druck in mmH₂O, Pa und inWS

Número de palas: 6

Number of poles
Polzahl
Nombre de pôles

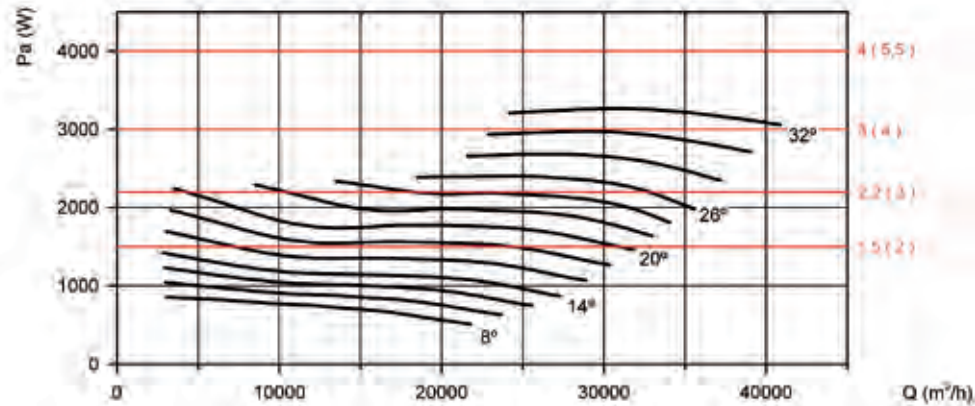
Courbes caractéristiques

Q= Débit en m³/h, m³/s et cfm.
Pe = Pression statique en mmH₂O, Pa et inwg.



Potencia absorbida
Absorbed power
Leistungsaufnahme
Puissance absorbée

Potencia Motor Recomendada kW(CV)
Recommended motor power kW (CV)
Empfohlene Motorleistung kW (PS)
Puissance Moteur Recommandée kW (CV)



Consultar características del punto de máxima eficiencia (BEP) al final de la serie.
Available features best efficiency point (BEP) at the end of the series.
Siehe Eigenschaften des besten Effizienzpunkts (BEP) am Ende der Serie.
Consulter les caractéristiques du point de rendement maximal (BEP) à la fin de la série.

Curvas características

Characteristic curves

Kennlinien

Courbes caractéristiques

Q= Caudal en m³/h, m³/s y cfm.
Pe= Presión estática en mmH₂O, Pa e inwg.

Q = Airflow in m³/h, m³/s and cfm.
Pe= Static pressure in mmH₂O, Pa and in wg.

Q= Volumenstrom in m³/h, m³/s und cfm.
Pe = Statischer Druck in mmH₂O, Pa und inWS

Q= Débit en m³/h, m³/s et cfm.
Pe = Pression statique en mmH₂O, Pa et inwg.

Diámetro Hélice (cm): 90

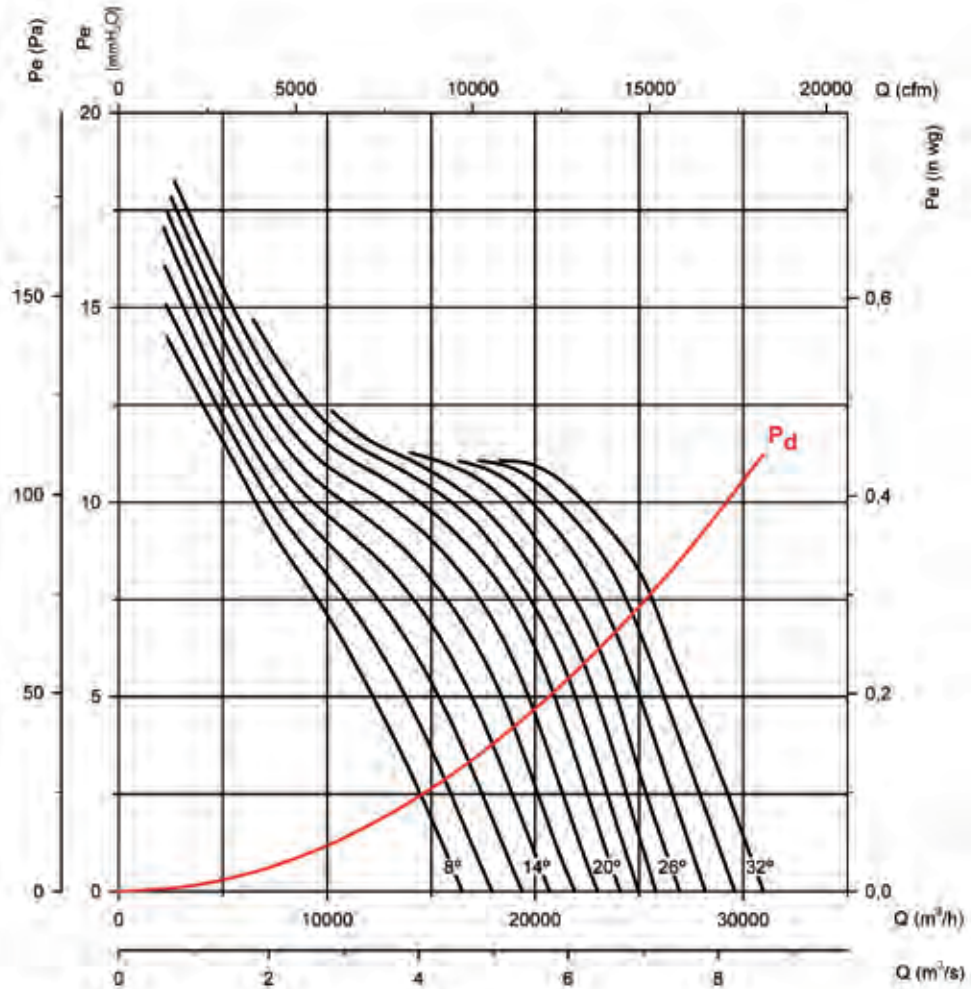
Número de polos: 8

Número de palas: 6

Impeller diameter (cm)
Durchmesser des Laufrads (cm)
Diamètre Hélice (cm)

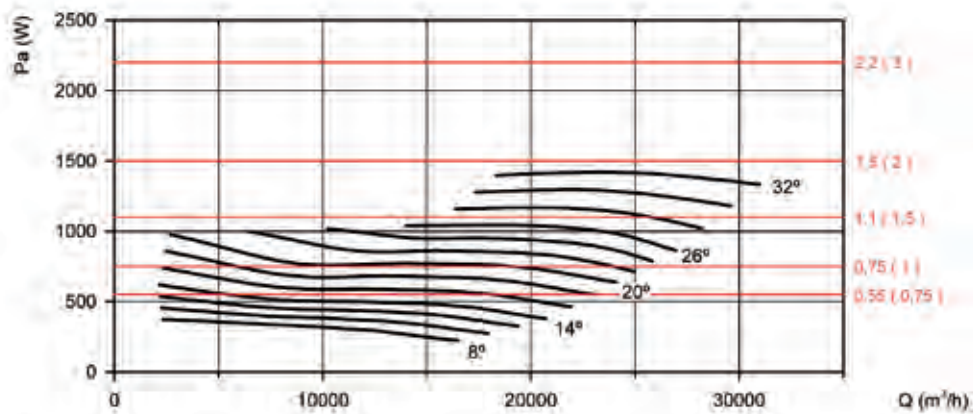
Number of blades
Anzahl Schaufeln
Nombre de pales

Number of poles
Polzahl
Nombre de pôles



Potencia absorbida
Absorbed power
Leistungsaufnahme
Puissance absorbée

Potencia Motor Recomendada kW(CV)
Recommended motor power kW (CV)
Empfohlene Motorleistung kW (PS)
Puissance Moteur Recommandée kW (CV)



Consultar características del punto de máxima eficiencia (BEP) al final de la serie.
Available features best efficiency point (BEP) at the end of the series.
Siehe Eigenschaften des besten Effizienzpunkts (BEP) am Ende der Serie.
Consulter les caractéristiques du point de rendement maximal (BEP) à la fin de la série.

Curvas características

Q= Caudal en m³/h, m³/s y cfm.
Pe= Presión estática en mmH₂O, Pa e inwg.

Diámetro Hélice (cm): 100

Impeller diameter (cm)
Durchmesser des Laufrads (cm)
Diamètre Hélice (cm)

Characteristic curves

Q = Airflow in m³/h, m³/s and cfm.
Pe= Static pressure in mmH₂O, Pa and in wg.

Número de polos: 4

Number of blades
Anzahl Schaufeln
Nombre de pales

Kennlinien

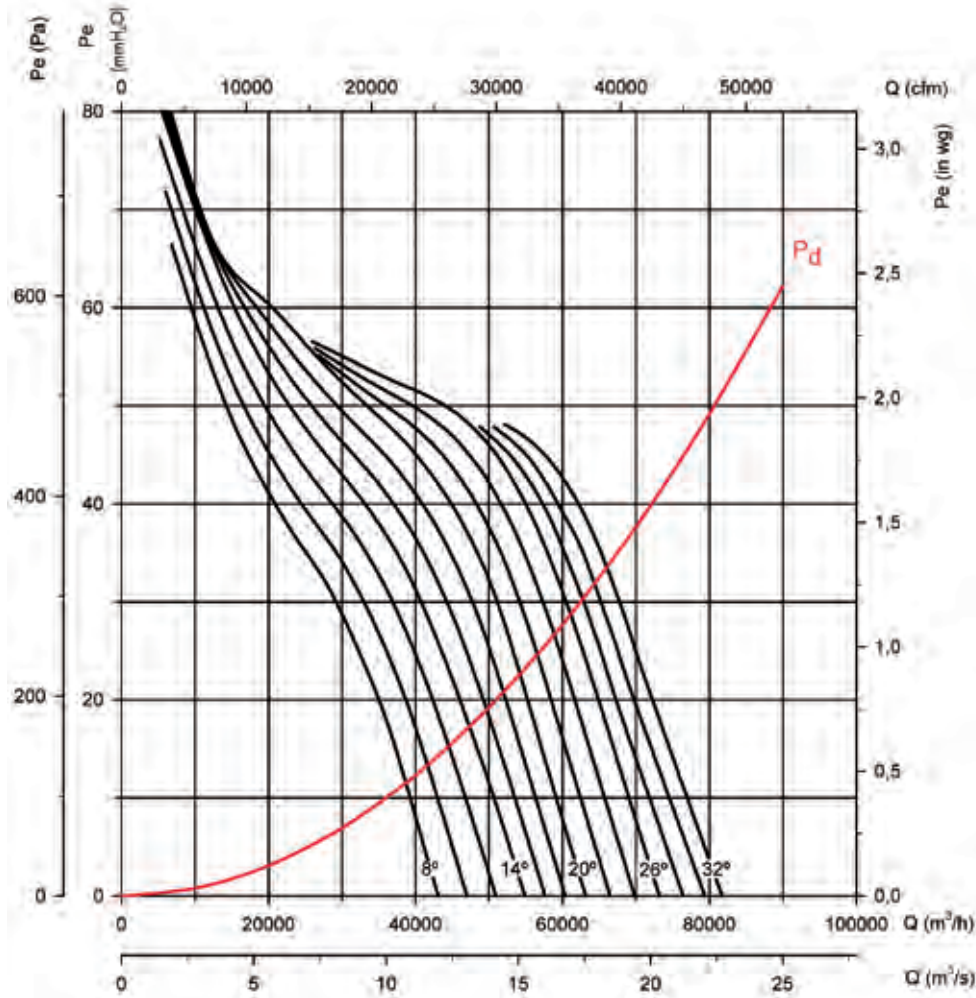
Q= Volumenstrom in m³/h, m³/s und cfm.
Pe = Statischer Druck in mmH₂O, Pa und inWS

Número de palas: 6

Number of poles
Polzahl
Nombre de pôles

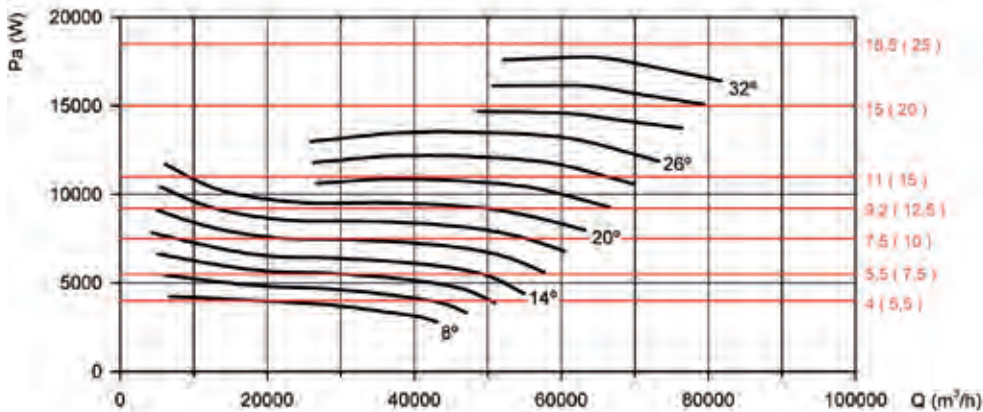
Courbes caractéristiques

Q= Débit en m³/h, m³/s et cfm.
Pe = Pression statique en mmH₂O, Pa et inwg.



Potencia absorbida
Absorbed power
Leistungsaufnahme
Puissance absorbée

Potencia Motor Recomendada kW(CV)
Recommended motor power kW (CV)
Empfohlene Motorleistung kW (PS)
Puissance Moteur Recommandée kW (CV)



Consultar características del punto de máxima eficiencia (BEP) al final de la serie.
Available features best efficiency point (BEP) at the end of the series.
Siehe Eigenschaften des besten Effizienzpunkts (BEP) am Ende der Serie.
Consulter les caractéristiques du point de rendement maximal (BEP) à la fin de la série.

Curvas características

Q= Caudal en m³/h, m³/s y cfm.
Pe= Presión estática en mmH₂O, Pa e inwg.

Diámetro Hélice (cm): 100

Impeller diameter (cm)
Durchmesser des Laufrads (cm)
Diamètre Hélice (cm)

Characteristic curves

Q = Airflow in m³/h, m³/s and cfm.
Pe= Static pressure in mmH₂O, Pa and in wg.

Número de polos: 6

Number of blades
Anzahl Schaufeln
Nombre de pales

Kennlinien

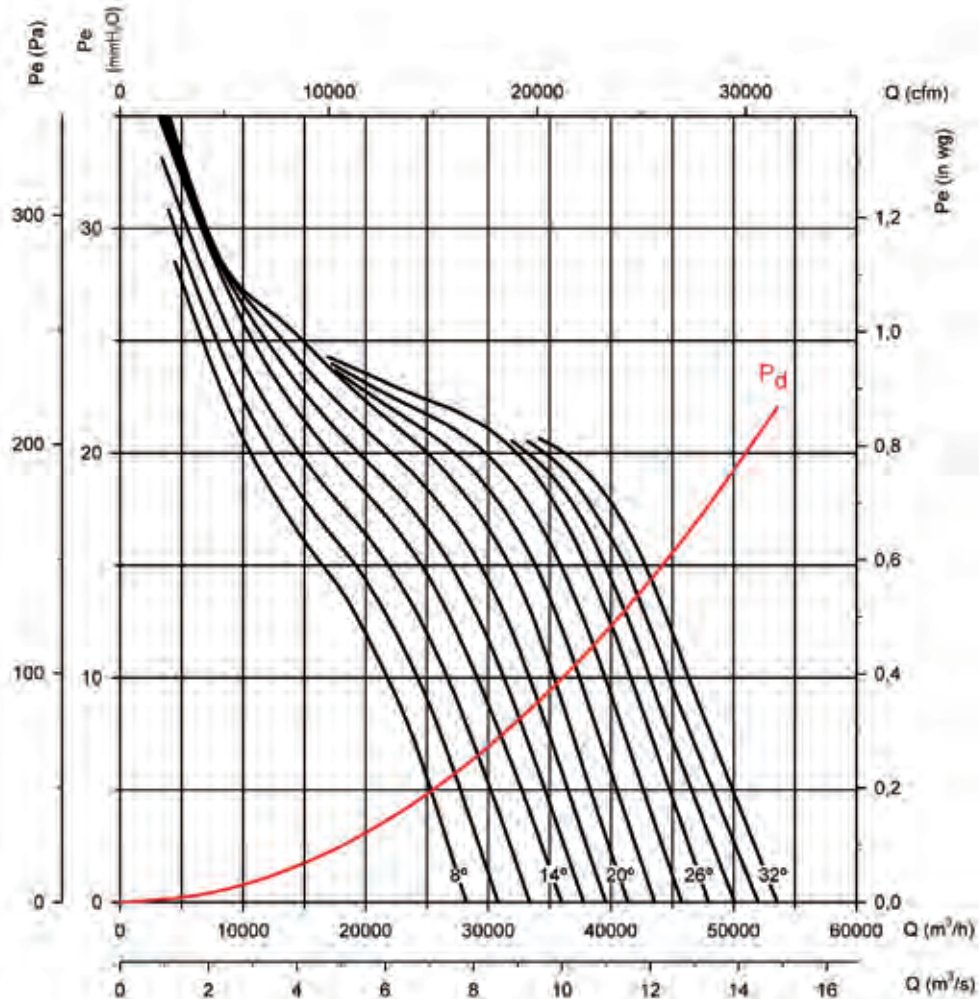
Q= Volumenstrom in m³/h, m³/s und cfm.
Pe = Statischer Druck in mmH₂O, Pa und inWS

Número de palas: 6

Number of poles
Polzahl
Nombre de pôles

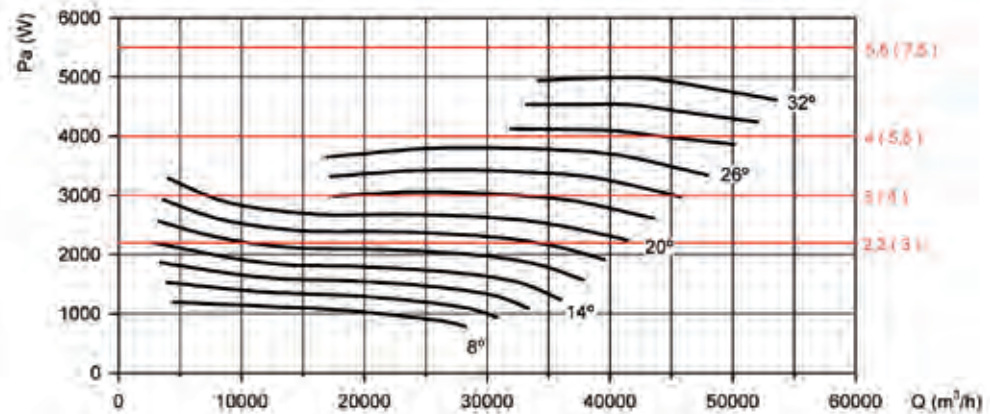
Courbes caractéristiques

Q= Débit en m³/h, m³/s et cfm.
Pe = Pression statique en mmH₂O, Pa et inwg.



Potencia absorbida
Absorbed power
Leistungsaufnahme
Puissance absorbée

Potencia Motor Recomendada kW(CV)
Recommended motor power kW (CV)
Empfohlene Motorleistung kW (PS)
Puissance Moteur Recommandée kW (CV)



Consultar características del punto de máxima eficiencia (BEP) al final de la serie.
Available features best efficiency point (BEP) at the end of the series.
Siehe Eigenschaften des besten Effizienzpunkts (BEP) am Ende der Serie.
Consulter les caractéristiques du point de rendement maximal (BEP) à la fin de la série.

Curvas características

Q= Caudal en m³/h, m³/s y cfm.
Pe= Presión estática en mmH₂O, Pa e inwg.

Characteristic curves

Q = Airflow in m³/h, m³/s and cfm.
Pe= Static pressure in mmH₂O, Pa and in wg.

Kennlinien

Q= Volumenstrom in m³/h, m³/s und cfm.
Pe = Statischer Druck in mmH₂O, Pa und inWS

Courbes caractéristiques

Q= Débit en m³/h, m³/s et cfm.
Pe = Pression statique en mmH₂O, Pa et inwg.

Diámetro Hélice (cm): 100

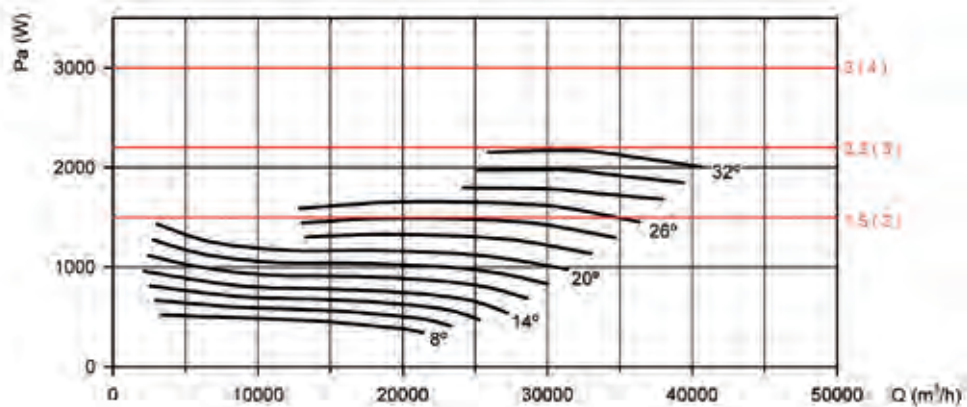
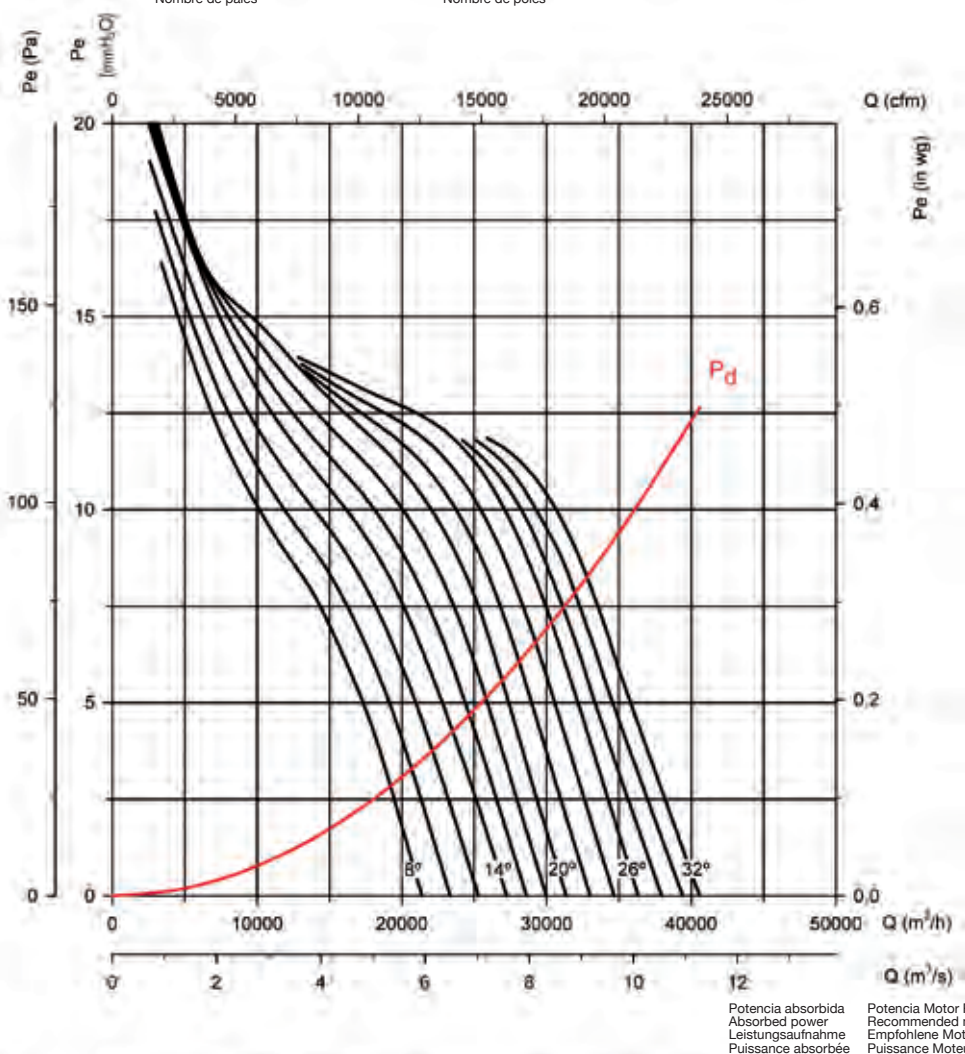
Impeller diameter (cm)
Durchmesser des Laufrads (cm)
Diamètre Hélice (cm)

Número de polos: 8

Number of blades
Anzahl Schaufeln
Nombre de pales

Número de palas: 6

Number of poles
Polzahl
Nombre de pôles



Consultar características del punto de máxima eficiencia (BEP) al final de la serie.
Available features best efficiency point (BEP) at the end of the series.
Siehe Eigenschaften des besten Effizienzpunkts (BEP) am Ende der Serie.
Consulter les caractéristiques du point de rendement maximal (BEP) à la fin de la série.

Curvas características

Q= Caudal en m³/h, m³/s y cfm.
Pe= Presión estática en mmH₂O, Pa e inwg.

Diámetro Hélice (cm): 125

Impeller diameter (cm)
Durchmesser des Laufrads (cm)
Diamètre Hélice (cm)

Characteristic curves

Q = Airflow in m³/h, m³/s and cfm.
Pe= Static pressure in mmH₂O, Pa and inwg.

Número de polos: 4

Number of blades
Anzahl Schaufeln
Nombre de pales

Kennlinien

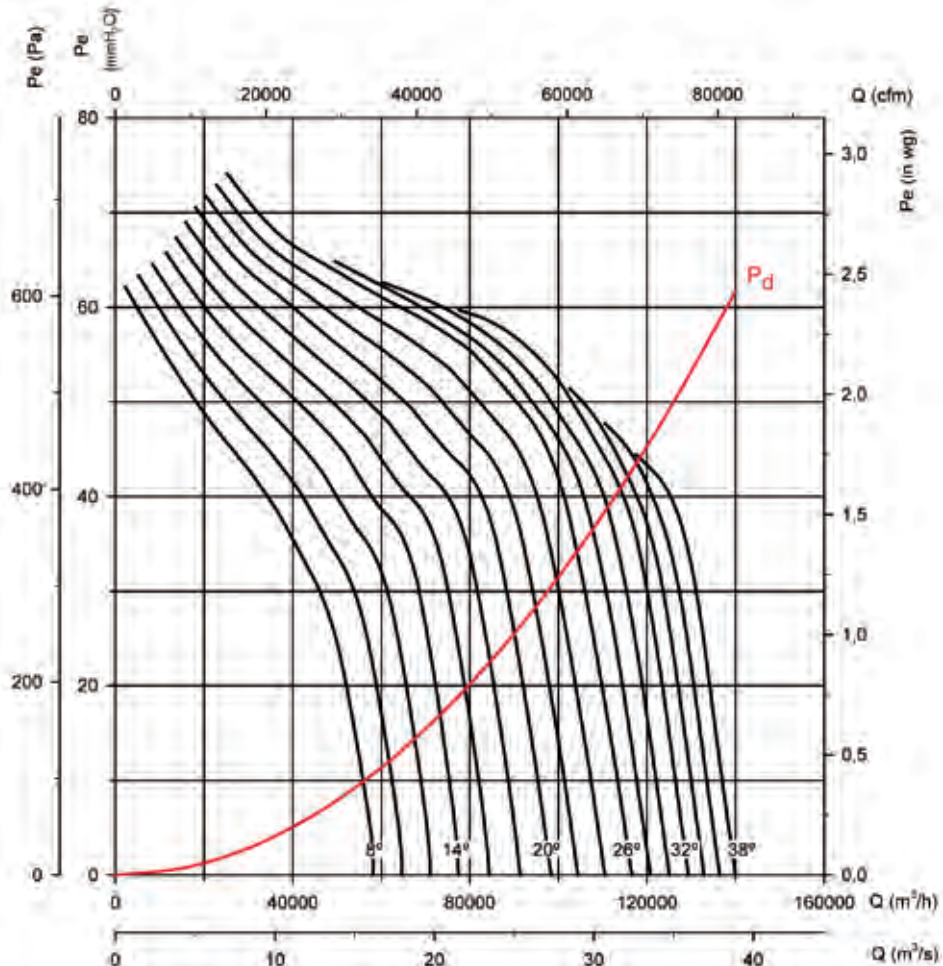
Q= Volumenstrom in m³/h, m³/s und cfm.
Pe = Statischer Druck in mmH₂O, Pa und inWS

Número de palas: 3

Number of poles
Polzahl
Nombre de pôles

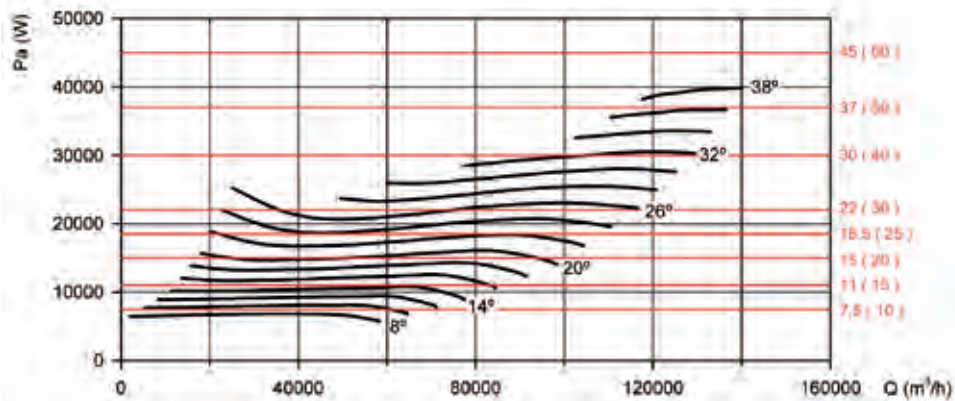
Courbes caractéristiques

Q= Débit en m³/h, m³/s et cfm.
Pe = Pression statique en mmH₂O, Pa et inwg.



Potencia absorbida
Absorbed power
Leistungsaufnahme
Puissance absorbée

Potencia Motor Recomendada kW(CV)
Recommended motor power kW (CV)
Empfohlene Motorleistung kW (PS)
Puissance Moteur Recommandée kW (CV)



Consultar características del punto de máxima eficiencia (BEP) al final de la serie.
Available features best efficiency point (BEP) at the end of the series.
Siehe Eigenschaften des besten Effizienzpunkts (BEP) am Ende der Serie.
Consulter les caractéristiques du point de rendement maximal (BEP) à la fin de la série.

Curvas características

Q= Caudal en m³/h, m³/s y cfm.
Pe= Presión estática en mmH₂O, Pa e inwg.

Diámetro Hélice (cm): 125

Impeller diameter (cm)
Durchmesser des Laufrads (cm)
Diamètre Hélice (cm)

Characteristic curves

Q = Airflow in m³/h, m³/s and cfm.
Pe= Static pressure in mmH₂O, Pa and in wg.

Número de polos: 4

Number of blades
Anzahl Schaufeln
Nombre de pales

Kennlinien

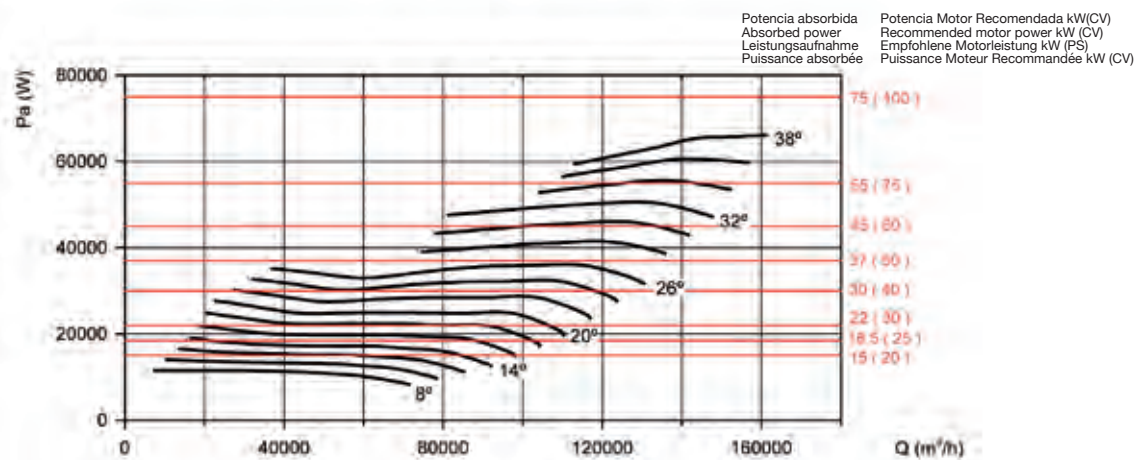
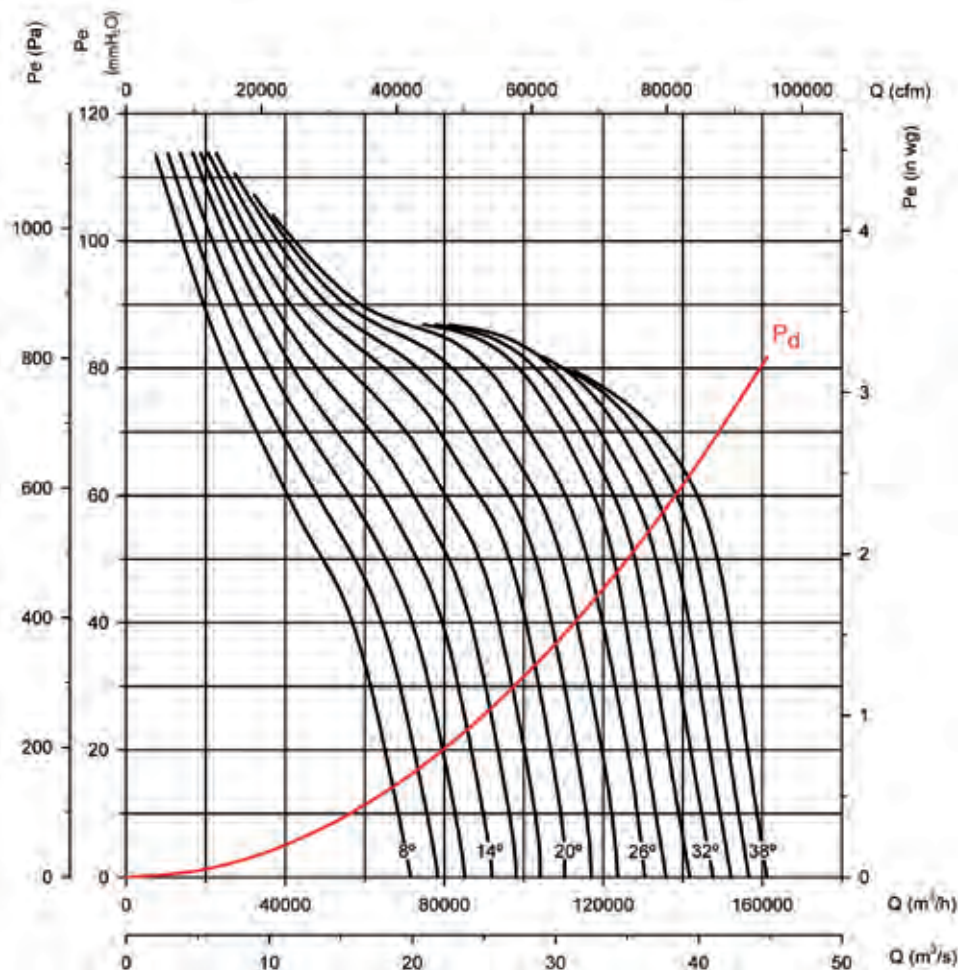
Q= Volumenstrom in m³/h, m³/s und cfm.
Pe = Statischer Druck in mmH₂O, Pa und inWS

Número de palas: 6

Number of poles
Polzahl
Nombre de pôles

Courbes caractéristiques

Q= Débit en m³/h, m³/s et cfm.
Pe = Pression statique en mmH₂O, Pa et inwg.



Consultar características del punto de máxima eficiencia (BEP) al final de la serie.
Available features best efficiency point (BEP) at the end of the series.
Siehe Eigenschaften des besten Effizienzpunkts (BEP) am Ende der Serie.
Consulter les caractéristiques du point de rendement maximal (BEP) à la fin de la série.

Curvas características

Q= Caudal en m³/h, m³/s y cfm.
Pe= Presión estática en mmH₂O, Pa e inwg.

Diámetro Hélice (cm): 125

Impeller diameter (cm)
Durchmesser des Laufrads (cm)
Diamètre Hélice (cm)

Characteristic curves

Q = Airflow in m³/h, m³/s and cfm.
Pe= Static pressure in mmH₂O, Pa and in wg.

Número de polos: 4

Number of blades
Anzahl Schaufeln
Nombre de pales

Kennlinien

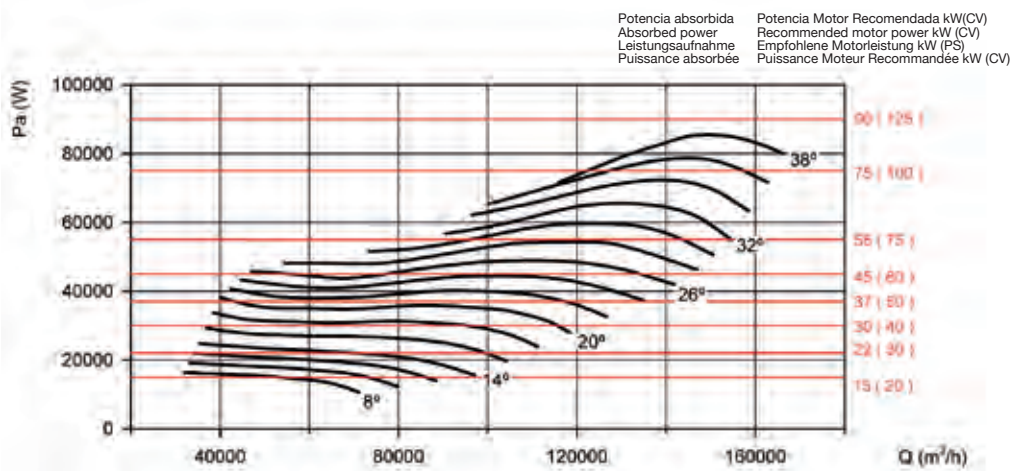
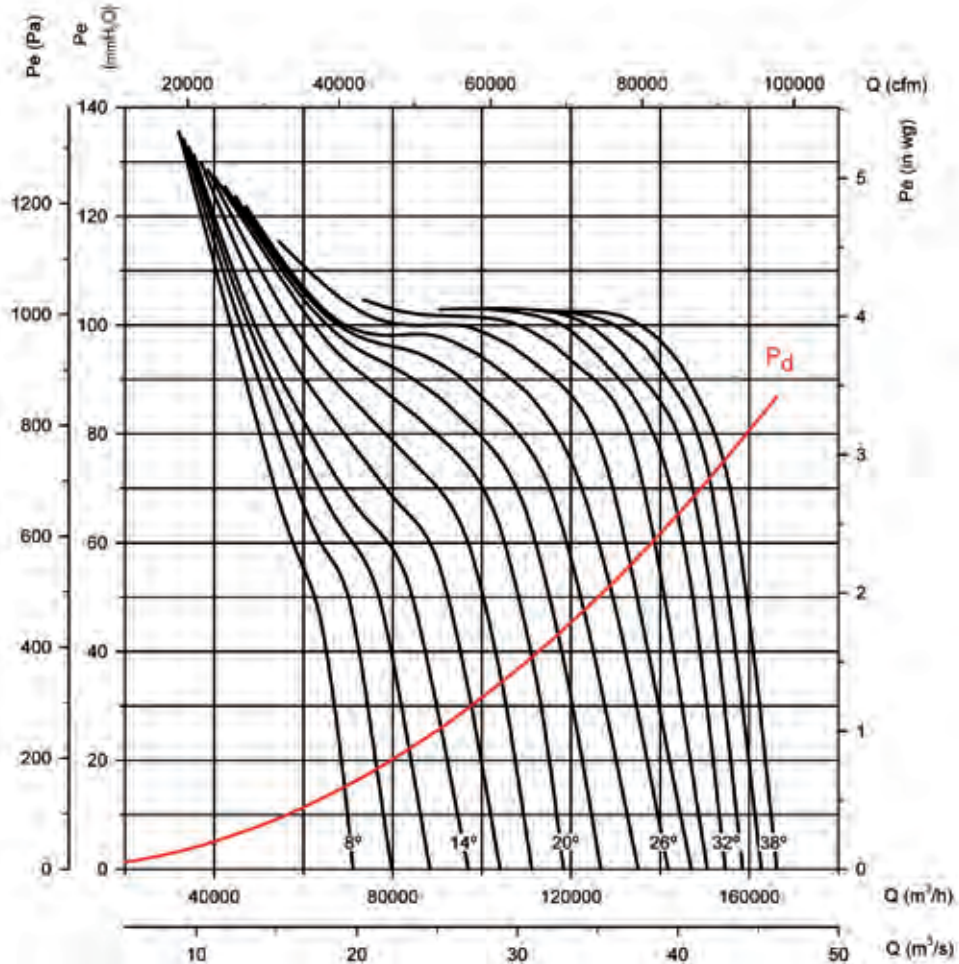
Q= Volumenstrom in m³/h, m³/s und cfm.
Pe = Statischer Druck in mmH₂O, Pa und inWS

Número de palas: 9

Number of poles
Polzahl
Nombre de pôles

Courbes caractéristiques

Q= Débit en m³/h, m³/s et cfm.
Pe = Pression statique en mmH₂O, Pa et inwg.



Consultar características del punto de máxima eficiencia (BEP) al final de la serie.
Available features best efficiency point (BEP) at the end of the series.
Siehe Eigenschaften des besten Effizienzpunkts (BEP) am Ende der Serie.
Consulter les caractéristiques du point de rendement maximal (BEP) à la fin de la série.

Curvas características

Q= Caudal en m³/h, m³/s y cfm.
Pe= Presión estática en mmH₂O, Pa e inwg.

Characteristic curves

Q = Airflow in m³/h, m³/s and cfm.
Pe= Static pressure in mmH₂O, Pa and in wg.

Kennlinien

Q= Volumenstrom in m³/h, m³/s und cfm.
Pe = Statischer Druck in mmH₂O, Pa und inWS

Courbes caractéristiques

Q= Débit en m³/h, m³/s et cfm.
Pe = Pression statique en mmH₂O, Pa et inwg.

Diámetro Hélice (cm): 125

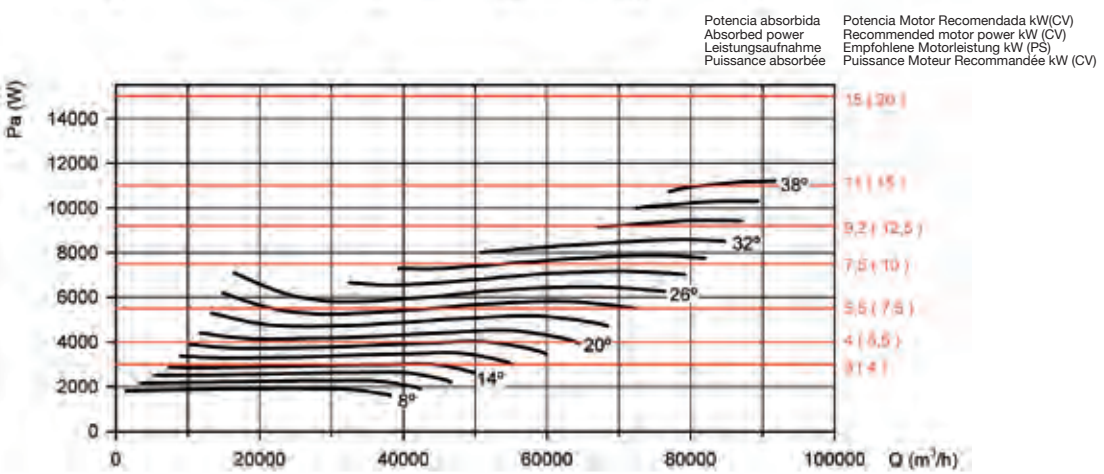
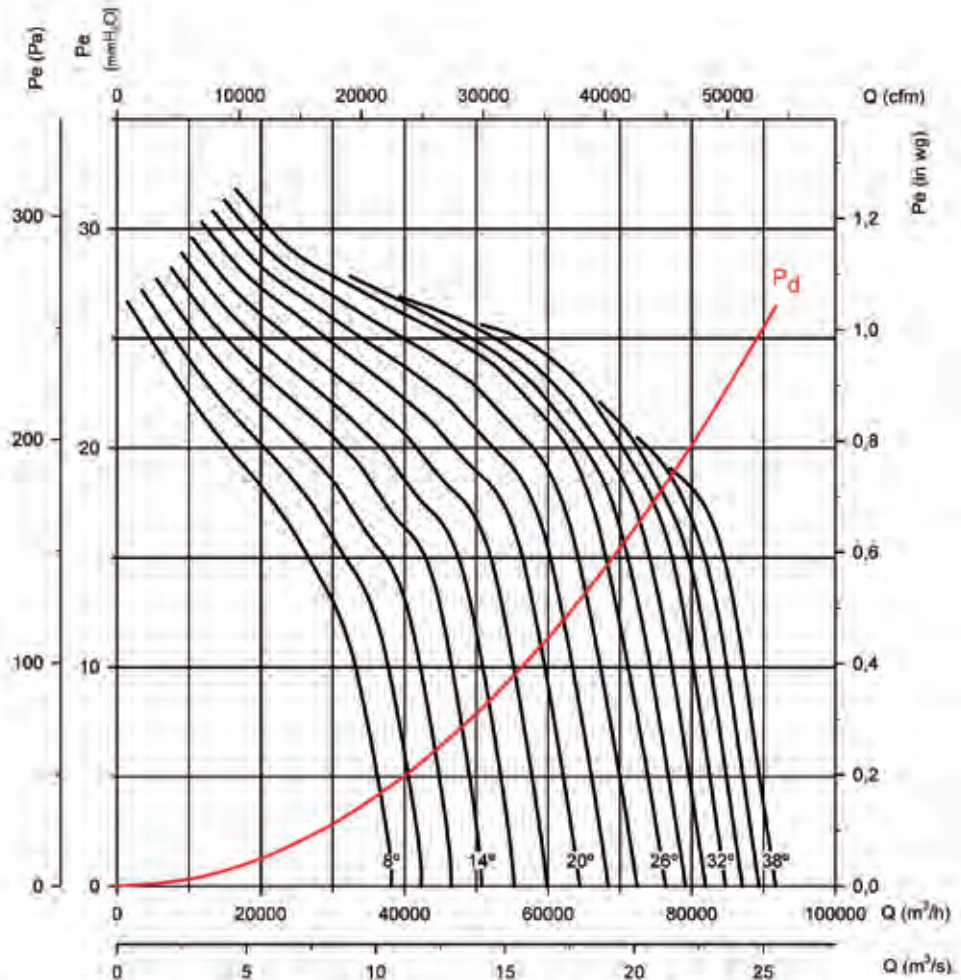
Impeller diameter (cm)
Durchmesser des Laufrads (cm)
Diamètre Hélice (cm)

Número de polos: 6

Number of blades
Anzahl Schaufeln
Nombre de pales

Número de palas: 3

Number of poles
Polzahl
Nombre de pôles



Consultar características del punto de máxima eficiencia (BEP) al final de la serie.
Available features best efficiency point (BEP) at the end of the series.
Siehe Eigenschaften des besten Effizienzpunkts (BEP) am Ende der Serie.
Consulter les caractéristiques du point de rendement maximal (BEP) à la fin de la série.

Curvas características

Characteristic curves

Kennlinien

Courbes caractéristiques

Q= Caudal en m³/h, m³/s y cfm.
Pe= Presión estática en mmH₂O, Pa e inwg.

Q = Airflow in m³/h, m³/s and cfm.
Pe= Static pressure in mmH₂O, Pa and in wg.

Q= Volumenstrom in m³/h, m³/s und cfm.
Pe = Statischer Druck in mmH₂O, Pa und inWS

Q= Débit en m³/h, m³/s et cfm.
Pe = Pression statique en mmH₂O, Pa et inwg.

Diámetro Hélice (cm): 125

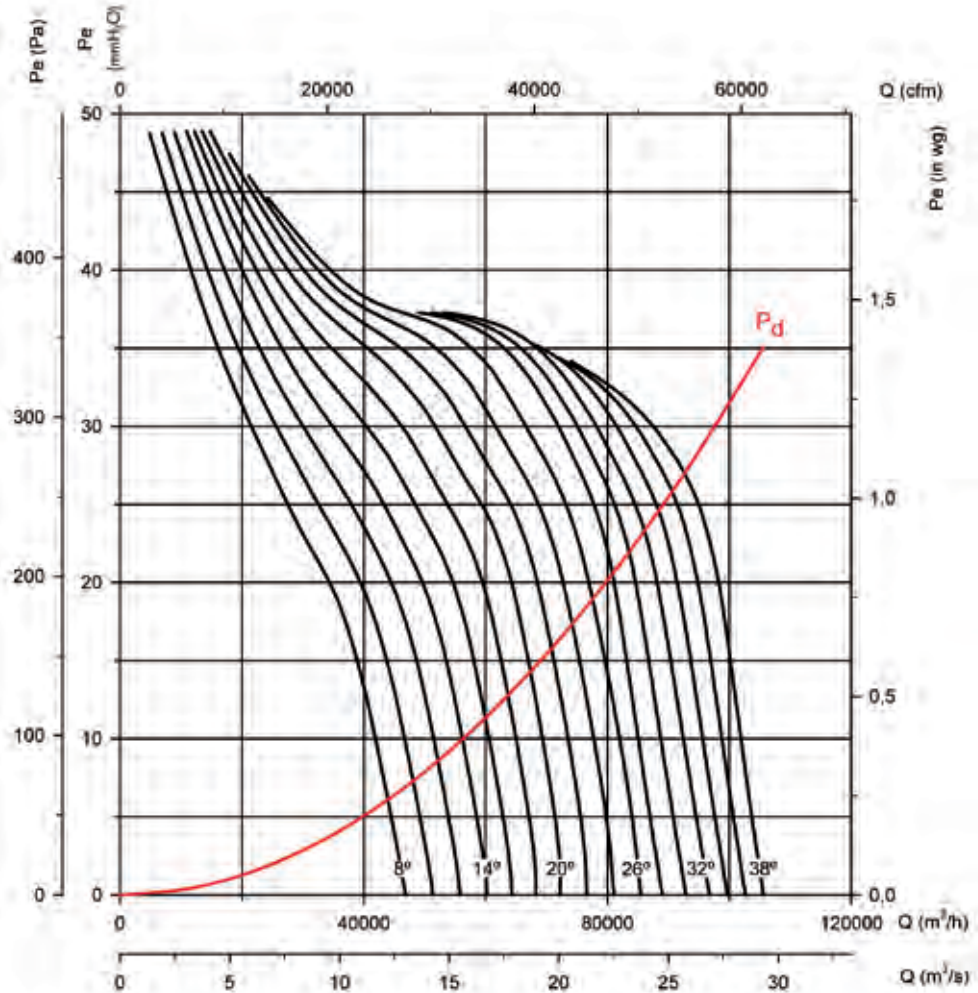
Número de polos: 6

Número de palas: 6

Impeller diameter (cm)
Durchmesser des Laufrads (cm)
Diamètre Hélice (cm)

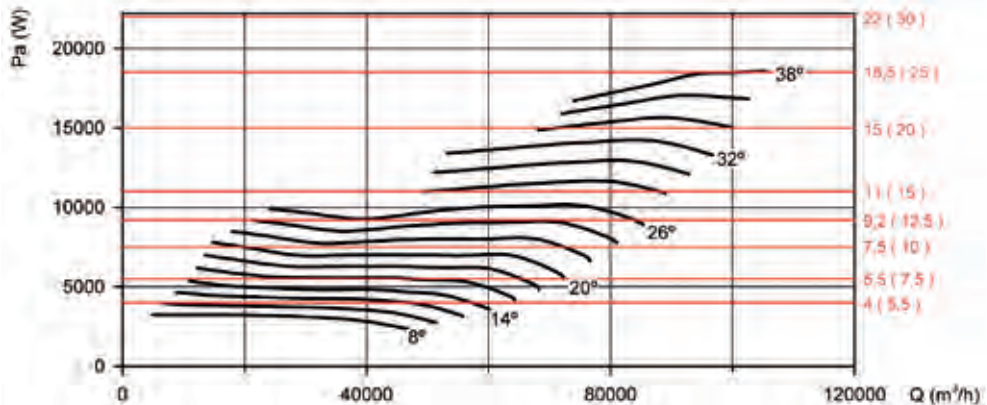
Number of blades
Anzahl Schaufeln
Nombre de pales

Number of poles
Polzahl
Nombre de pôles



Potencia absorbida
Absorbed power
Leistungsaufnahme
Puissance absorbée

Potencia Motor Recomendada kW(CV)
Recommended motor power kW (CV)
Empfohlene Motorleistung kW (PS)
Puissance Moteur Recommandée kW (CV)



Consultar características del punto de máxima eficiencia (BEP) al final de la serie.
Available features best efficiency point (BEP) at the end of the series.
Siehe Eigenschaften des besten Effizienzpunkts (BEP) am Ende der Serie.
Consulter les caractéristiques du point de rendement maximal (BEP) à la fin de la série.

Curvas características

Q= Caudal en m³/h, m³/s y cfm.
Pe= Presión estática en mmH₂O, Pa e inwg.

Characteristic curves

Q = Airflow in m³/h, m³/s and cfm.
Pe= Static pressure in mmH₂O, Pa and in wg.

Kennlinien

Q= Volumenstrom in m³/h, m³/s und cfm.
Pe = Statischer Druck in mmH₂O, Pa und inWS

Courbes caractéristiques

Q= Débit en m³/h, m³/s et cfm.
Pe = Pression statique en mmH₂O, Pa et inwg.

Diámetro Hélice (cm): 125

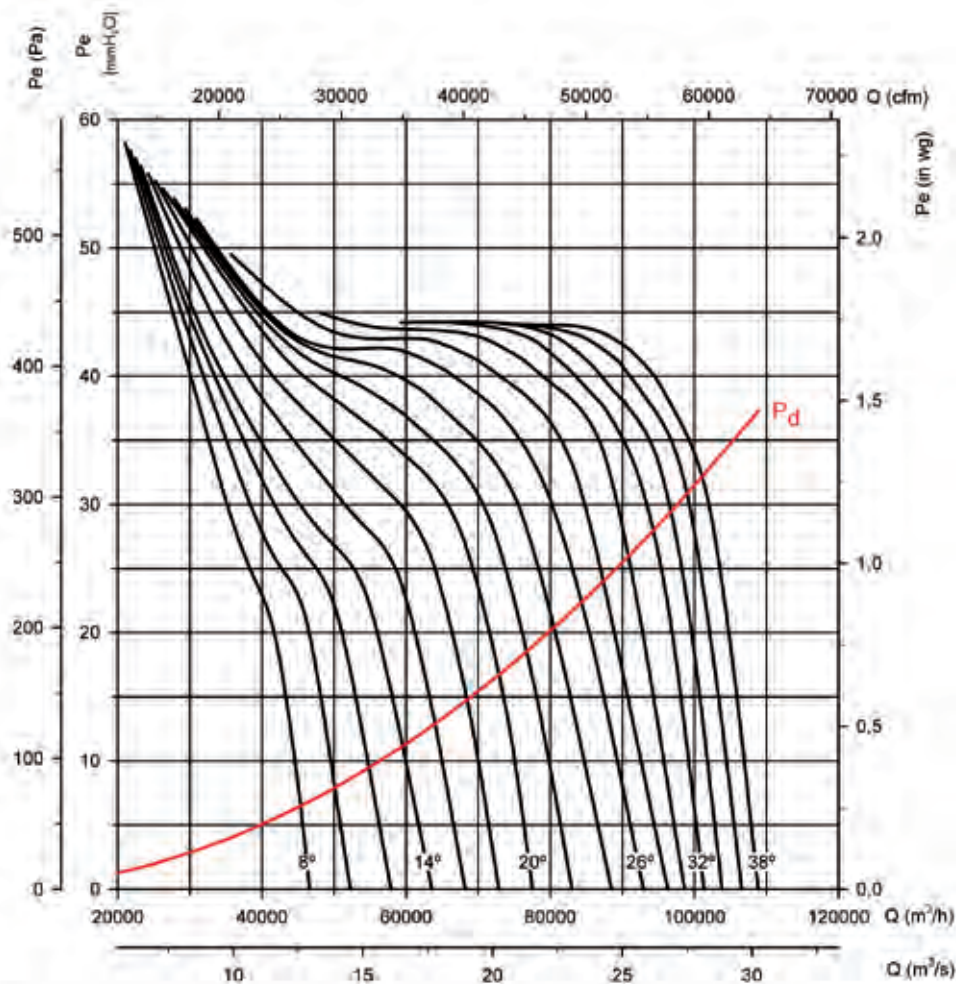
Impeller diameter (cm)
Durchmesser des Laufrads (cm)
Diamètre Hélice (cm)

Número de polos: 6

Number of blades
Anzahl Schaufeln
Nombre de pales

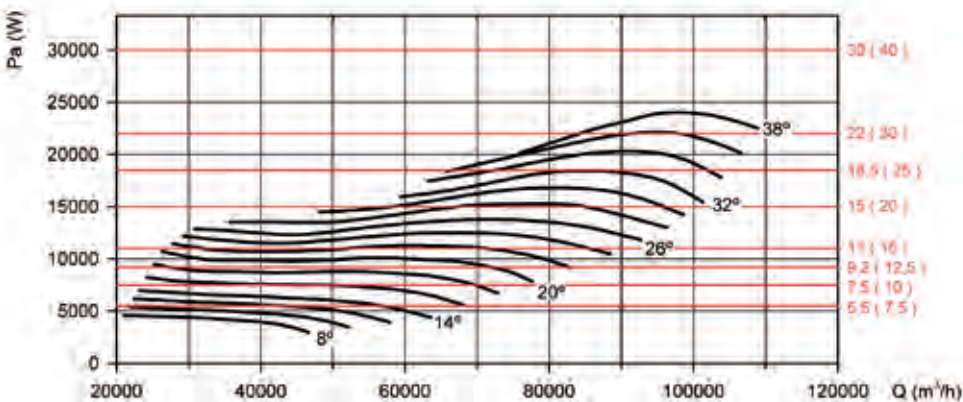
Número de palas: 9

Number of poles
Polzahl
Nombre de pôles



Potencia absorbida
Absorbed power
Leistungsaufnahme
Puissance absorbée

Potencia Motor Recomendada kW(CV)
Recommended motor power kW (CV)
Empfohlene Motorleistung kW (PS)
Puissance Moteur Recommandée kW (CV)



Consultar características del punto de máxima eficiencia (BEP) al final de la serie.
Available features best efficiency point (BEP) at the end of the series.
Siehe Eigenschaften des besten Effizienzpunkts (BEP) am Ende der Serie.
Consulter les caractéristiques du point de rendement maximal (BEP) à la fin de la série.



Erp

Características del punto de máxima eficiencia (BEP)

MC	Categoría de medición
EC	Categoría de eficiencia
S	Estática
T	Total
VSD	Variador de velocidad
SR	Relación específica
ηe[%]	Eficiencia
N	Grado de eficiencia
[kW]	Potencia eléctrica
[m³/h]	Caudal
[mmH₂O]	Presión estática o total (Según EC)
[RPM]	Velocidad

BEP (best efficiency point) characteristics

MC	Measurement category
EC	Efficiency category
S	Static
T	Total
VSD	Variable-speed drive
SR	Specific ratio
ηe[%]	Efficiency
N	Efficiency grade
[kW]	Input power
[m³/h]	Airflow
[mmH₂O]	Static or total pressure (According to EC)
[RPM]	Speed

Eigenschaften des besten Effizienzpunkts (BEP)

MC	Messkategorie
EC	Effizienzklasse
S	Statisch
T	Gesamt
VSD	Drehzahlregler
SR	Spezifisches Verhältnis
ηe[%]	Effizienz
N	Wirkungsgrad
[kW]	Leistungsaufnahme
[m³/h]	Volumenstrom
[mmH₂O]	Statischer Druck bzw. Gesamtdruck (gemäß EC)
[U/MIN]	Drehzahl

Caractéristiques du point de rendement maximal (BEP)

MC	Catégorie de mesure
EC	Catégorie de rendement
S	Statique
T	Total
VSD	Variateur de vitesse
SR	Rapport spécifique
ηe[%]	Rendement
N	Niveau de rendement
[kW]	Puissance électrique
[m³/h]	Débit
[mmH₂O]	Pression statique ou totale (Selon EC)
[RPM]	Vitesse

TST-40-2T

α [°]	PN	MC	EC	VSD	SR	ηe [%]	N	[kW]	[m³/h]	[mmH ₂ O]	[RPM]
8	0,55	A	S	NO	1,00	62,6%	71,8	0,350	2568	31,36	2906
10	0,55	A	S	NO	1,00	52,2%	60,4	0,502	2900	33,16	2866
12	0,55	A	S	NO	1,00	47,1%	54,8	0,601	3889	26,74	2839
14	0,75	A	S	NO	1,00	43,7%	50,8	0,780	3142	39,89	2831
16	0,75	A	S	NO	1,00	40,1%	46,5	0,967	4420	32,19	2791
18	1,1	A	S	NO	1,00	38,8%	44,8	1,129	4772	33,70	2918
20	1,1	A	S	NO	1,00	36,4%	41,9	1,334	5180	34,43	2903
22	1,5	A	S	NO	1,00	35,0%	40,2	1,506	5517	35,04	2951
24	1,5	A	S	NO	1,00	33,3%	38,1	1,699	5784	35,89	2945
26	2,2	A	S	NO	1,00	33,1%	37,8	1,816	6197	35,64	2952
28	2,2	A	S	NO	1,00	31,0%	35,4	2,026	6675	34,58	2946
30	2,2	A	S	NO	1,00	29,1%	33,3	2,228	7045	33,87	2941
32	2,2	B	T	NO	1,00	44,1%	48,1	2,318	8257	45,45	2939

TST-40-4T

α [°]	PN	MC	EC	VSD	SR	ηe [%]	N	[kW]	[m³/h]	[mmH ₂ O]	[RPM]
8	0,55	A	S	-	-	-	-	0,042	1284	7,84	1495
10	0,55	A	S	-	-	-	-	0,061	1339	9,01	1493
12	0,55	A	S	-	-	-	-	0,079	1425	9,60	1491
14	0,55	A	S	-	-	-	-	0,097	1571	9,97	1489
16	0,55	A	S	-	-	-	-	0,120	2210	8,05	1486
18	0,55	A	S	NO	1,00	38,0%	49,6	0,144	2386	8,43	1484
20	0,55	A	S	NO	1,00	36,1%	47,3	0,169	2564	8,71	1481
22	0,55	A	S	NO	1,00	33,5%	44,3	0,196	2758	8,76	1478
24	0,55	A	S	NO	1,00	32,3%	42,8	0,218	2939	8,80	1475
26	0,55	A	S	NO	1,00	31,0%	41,3	0,242	3099	8,91	1473
28	0,55	A	S	NO	1,00	29,1%	39,0	0,270	3337	8,65	1469
30	0,55	A	S	NO	1,00	27,3%	37,0	0,297	3522	8,47	1466
32	0,55	B	T	NO	1,00	41,3%	50,9	0,309	4129	11,36	1465

TST-40-6T

α [°]	PN	MC	EC	VSD	SR	ηe [%]	N	[kW]	[m³/h]	[mmH ₂ O]	[RPM]
8	0,55	A	S	-	-	-	-	0,012	841	3,37	999
10	0,55	A	S	-	-	-	-	0,018	877	3,87	999
12	0,55	A	S	-	-	-	-	0,023	934	4,12	998
14	0,55	A	S	-	-	-	-	0,028	1029	4,28	998
16	0,55	A	S	-	-	-	-	0,035	1448	3,45	997
18	0,55	A	S	-	-	-	-	0,042	1563	3,62	997
20	0,55	A	S	-	-	-	-	0,049	1680	3,74	996
22	0,55	A	S	-	-	-	-	0,057	1807	3,76	995
24	0,55	A	S	-	-	-	-	0,064	1895	3,85	995
26	0,55	A	S	-	-	-	-	0,071	1987	3,92	994
28	0,55	A	S	-	-	-	-	0,078	2186	3,71	994
30	0,55	A	S	-	-	-	-	0,086	2308	3,63	993
32	0,55	B	T	-	-	-	-	0,094	2422	3,61	992


Erp
Características del punto de máxima eficiencia (BEP)
BEP (best efficiency point) characteristics
Eigenschaften des besten Effizienzpunkts (BEP)
Caractéristiques du point de rendement maximal (BEP)
TST-45-2T

α [°]	PN	MC	EC	VSD	SR	ηe [%]	N	[kW]	[m³/h]	[mmH ₂ O]	[RPM]
8	0,55	A	S	NO	1,00	53,7%	61,1	0,689	4682	29,06	2816
10	0,75	A	S	NO	1,00	45,6%	52,1	0,938	4676	33,60	2797
12	1,1	A	S	NO	1,00	41,7%	47,7	1,131	5445	31,82	2918
14	1,1	A	S	NO	1,00	39,4%	44,9	1,347	6350	30,67	2902
16	1,5	A	S	NO	1,00	38,0%	43,1	1,593	6802	32,70	2948
18	2,2	A	S	NO	1,00	37,4%	42,0	1,822	7270	34,40	2952
20	2,2	A	S	NO	1,00	36,8%	41,0	2,112	7694	37,06	2944
22	2,2	A	S	NO	1,01	37,5%	41,4	2,417	8144	40,86	2936
24	3	A	S	NO	1,01	37,6%	41,3	2,682	8424	44,02	2939
26	3	A	S	NO	1,01	36,0%	39,4	2,968	8872	44,28	2933
28	3	A	S	NO	1,01	31,7%	34,8	3,334	9370	41,49	2925
30	4	B	T	NO	1,00	44,3%	47,2	3,571	11649	49,90	2946

TST-45-4T

α [°]	PN	MC	EC	VSD	SR	ηe [%]	N	[kW]	[m³/h]	[mmH ₂ O]	[RPM]
8	0,55	A	S	-	-	-	-	0,083	2341	7,26	1491
10	0,55	A	S	-	-	-	-	0,116	2338	8,40	1487
12	0,55	A	S	NO	1,00	40,9%	52,5	0,144	2742	7,89	1484
14	0,55	A	S	NO	1,00	38,6%	49,7	0,172	3175	7,67	1480
16	0,55	A	S	NO	1,00	36,5%	47,1	0,207	3401	8,17	1476
18	0,55	A	S	NO	1,00	35,0%	45,2	0,243	3635	8,60	1472
20	0,55	A	S	NO	1,00	34,9%	44,7	0,281	3947	9,14	1468
22	0,55	A	S	NO	1,00	34,4%	43,9	0,319	4027	10,01	1464
24	0,55	A	S	NO	1,00	34,2%	43,3	0,364	4316	10,59	1459
26	0,55	A	S	NO	1,00	33,8%	42,6	0,403	4312	11,62	1454
28	0,55	A	S	NO	1,00	29,3%	37,8	0,452	4685	10,37	1449
30	0,55	B	T	NO	1,00	40,3%	48,6	0,491	5825	12,48	1444
32	0,55	B	T	NO	1,00	39,0%	47,1	0,531	6243	12,19	1440
34	0,55	B	T	NO	1,00	38,8%	46,7	0,574	6470	12,66	1435
36	0,55	B	T	NO	1,00	38,5%	46,2	0,618	6694	13,06	1430
38	0,55	B	T	NO	1,00	38,2%	45,6	0,661	6877	13,48	1425

TST-45-6T

α [°]	PN	MC	EC	VSD	SR	ηe [%]	N	[kW]	[m³/h]	[mmH ₂ O]	[RPM]
8	0,55	A	S	-	-	-	-	0,024	1534	3,12	998
10	0,55	A	S	-	-	-	-	0,034	1532	3,61	997
12	0,55	A	S	-	-	-	-	0,042	1797	3,39	997
14	0,55	A	S	-	-	-	-	0,050	2080	3,29	996
16	0,55	A	S	-	-	-	-	0,060	2228	3,51	995
18	0,55	A	S	-	-	-	-	0,070	2382	3,69	994
20	0,55	A	S	-	-	-	-	0,081	2586	3,92	993
22	0,55	A	S	-	-	-	-	0,092	2644	4,41	992
24	0,55	A	S	-	-	-	-	0,105	2760	4,72	991
26	0,55	A	S	-	-	-	-	0,116	2826	4,97	990
28	0,55	A	S	NO	1,00	28,5%	40,4	0,131	3069	4,45	989
30	0,55	B	T	NO	1,00	39,2%	50,9	0,142	3816	5,36	988
32	0,55	B	T	NO	1,00	37,9%	49,4	0,154	4090	5,23	987
34	0,55	B	T	NO	1,00	37,8%	49,0	0,166	4239	5,43	986
36	0,55	B	T	NO	1,00	37,5%	48,5	0,179	4386	5,60	985
38	0,55	B	T	NO	1,00	37,1%	48,0	0,191	4506	5,79	984

TST-50-2T

α [°]	PN	MC	EC	VSD	SR	ηe [%]	N	[kW]	[m³/h]	[mmH ₂ O]	[RPM]
8	2,2	A	S	NO	1,00	40,3%	45,0	1,823	6883	39,24	2952
10	2,2	A	S	NO	1,00	38,0%	42,1	2,221	7275	42,60	2941
12	2,2	A	S	NO	1,00	36,8%	40,6	2,577	8011	43,55	2932
14	3	A	S	NO	1,01	36,5%	39,9	2,890	8704	44,52	2935
16	3	A	S	NO	1,01	34,4%	37,4	3,386	9218	46,38	2924
18	4	A	S	NO	1,01	33,2%	35,9	3,816	9715	47,89	2943
20	4	A	S	NO	1,01	31,7%	34,0	4,297	9906	50,43	2935
22	4	A	S	NO	1,01	30,7%	32,8	4,615	9091	57,23	2931
24	5,5	B	T	NO	1,00	44,1%	46,0	5,040	15830	51,58	2928
26	5,5	B	T	NO	1,01	44,7%	46,3	5,508	16933	53,40	2922
28	5,5	B	T	NO	1,01	43,7%	45,0	6,251	18159	55,30	2911
30	7,5	B	T	NO	1,01	44,2%	45,2	6,938	19309	58,31	2959
32	7,5	B	T	NO	1,01	44,3%	45,0	7,696	20591	60,82	2955



Erp

Características del punto de máxima eficiencia (BEP)

BEP (best efficiency point) characteristics

Eigenschaften des besten Effizienzpunkts (BEP)

Caractéristiques du point de rendement maximal (BEP)

TST-50-4T

α [°]	PN	MC	EC	VSD	SR	ηe [%]	N	[kW]	[m³/h]	[mmH₂O]	[RPM]
8	0,55	A	S	NO	1,00	37,8%	48,0	0,243	3441	9,81	1472
10	0,55	A	S	NO	1,00	35,6%	45,3	0,296	3638	10,65	1466
12	0,55	A	S	NO	1,00	34,6%	43,8	0,344	4006	10,89	1461
14	0,55	A	S	NO	1,00	33,7%	42,6	0,392	4352	11,13	1456
16	0,55	A	S	NO	1,00	31,7%	40,2	0,459	4609	11,60	1448
18	0,55	A	S	NO	1,00	30,2%	38,3	0,525	4858	11,97	1440
20	0,55	A	S	NO	1,00	28,8%	36,6	0,591	4953	12,61	1433
22	0,55	A	S	NO	1,00	27,9%	35,5	0,634	4545	14,31	1428
24	0,55	B	T	NO	1,00	39,5%	46,8	0,703	7915	12,90	1420
26	0,75	B	T	NO	1,00	40,9%	48,0	0,753	8466	13,35	1444
28	0,75	B	T	NO	1,00	40,0%	46,8	0,854	9080	13,83	1437
30	1,1	B	T	NO	1,00	40,8%	47,3	0,939	9654	14,58	1458
32	1,1	B	T	NO	1,00	40,9%	47,1	1,041	10296	15,21	1454
34	1,1	B	T	NO	1,00	40,8%	46,8	1,161	11232	15,50	1448
36	1,1	B	T	NO	1,00	40,6%	46,2	1,302	11647	16,67	1442
38	1,5	B	T	NO	1,00	41,2%	46,6	1,420	12048	17,84	1453

TST-50-6T

α [°]	PN	MC	EC	VSD	SR	ηe [%]	N	[kW]	[m³/h]	[mmH₂O]	[RPM]
8	0,55	A	S	-	-	-	-	0,070	2255	4,21	994
10	0,55	A	S	-	-	-	-	0,086	2383	4,57	993
12	0,55	A	S	-	-	-	-	0,099	2624	4,67	992
14	0,55	A	S	-	-	-	-	0,113	2851	4,78	991
16	0,55	A	S	NO	1,00	30,8%	42,7	0,133	3020	4,98	989
18	0,55	A	S	NO	1,00	29,4%	40,9	0,152	3183	5,14	987
20	0,55	A	S	NO	1,00	28,0%	39,2	0,171	3245	5,41	986
22	0,55	A	S	NO	1,00	27,1%	38,1	0,183	2978	6,14	985
24	0,55	B	T	NO	1,00	38,5%	49,2	0,203	5186	5,54	983
26	0,55	B	T	NO	1,00	39,0%	49,4	0,222	5547	5,73	982
28	0,55	B	T	NO	1,00	38,1%	48,2	0,252	5949	5,93	979
30	0,55	B	T	NO	1,00	38,0%	47,8	0,283	6325	6,26	977
32	0,55	B	T	NO	1,00	38,1%	47,6	0,314	6745	6,53	974
34	0,55	B	T	NO	1,00	38,1%	47,3	0,350	7359	6,65	971
36	0,55	B	T	NO	1,00	37,8%	46,7	0,393	7631	7,16	967
38	0,55	B	T	NO	1,00	37,8%	46,4	0,436	7894	7,66	964

TST-56-2T

α [°]	PN	MC	EC	VSD	SR	ηe [%]	N	[kW]	[m³/h]	[mmH₂O]	[RPM]
8	2,2	A	S	NO	1,00	58,8%	63,2	1,998	9846	43,83	2947
10	2,2	A	S	NO	1,01	53,7%	57,5	2,516	10679	46,48	2933
12	3	A	S	NO	1,01	50,4%	53,7	3,075	11114	51,27	2931
14	4	A	S	NO	1,01	49,1%	51,9	3,547	11978	53,38	2947
16	4	A	S	NO	1,01	45,3%	47,7	4,212	12896	54,34	2937
18	5,5	A	S	NO	1,01	43,0%	45,0	4,831	14184	53,78	2931
20	5,5	A	S	NO	1,01	42,8%	44,4	5,527	14979	57,97	2921
22	5,5	A	S	NO	1,01	40,7%	42,1	6,123	15917	57,53	2913
24	7,5	A	S	NO	1,01	39,0%	40,1	6,641	16159	58,84	2961
26	7,5	A	S	NO	1,01	38,6%	39,5	7,220	16918	60,47	2958
28	7,5	B	T	NO	1,01	54,7%	55,3	8,171	22277	73,70	2952
30	11	B	T	NO	1,01	52,8%	53,1	9,148	23259	76,30	2952
32	11	B	T	NO	1,01	51,1%	51,1	10,225	24598	77,96	2946
34	11	B	T	NO	1,01	49,8%	49,8	11,302	25738	80,28	2940
36	15	B	T	NO	1,01	49,9%	49,8	12,244	27684	81,05	2971
38	15	B	T	NO	1,01	49,4%	49,3	13,318	28598	84,53	2968
40	15	B	T	NO	1,01	47,2%	47,0	14,400	29153	85,69	2965
42	15	B	T	NO	1,01	45,7%	45,4	15,620	30493	85,95	2962



Erp

Características del punto de máxima eficiencia (BEP)

BEP (best efficiency point) characteristics

Eigenschaften des besten Effizienzpunkts (BEP)

Caractéristiques du point de rendement maximal (BEP)

TST-56-4T

α [°]	PN	MC	EC	VSD	SR	ηe [%]	N	[kW]	[m³/h]	[mmH ₂ O]	[RPM]
8	0,55	A	S	NO	1,00	55,1%	65,1	0,266	4923	10,96	1470
10	0,55	A	S	NO	1,00	50,4%	59,7	0,335	5339	11,62	1462
12	0,55	A	S	NO	1,00	46,5%	55,2	0,417	5557	12,82	1453
14	0,55	A	S	NO	1,00	44,6%	52,9	0,488	5989	13,35	1445
16	0,55	A	S	NO	1,00	41,2%	49,0	0,579	6448	13,58	1434
18	0,55	A	S	NO	1,00	38,5%	45,9	0,674	7092	13,45	1424
20	0,75	A	S	NO	1,00	39,1%	46,2	0,755	7489	14,49	1444
22	0,75	A	S	NO	1,00	37,2%	44,1	0,837	7959	14,38	1438
24	0,75	A	S	NO	1,00	35,2%	41,8	0,919	8079	14,71	1432
26	1,1	A	S	NO	1,00	35,6%	42,0	0,977	8459	15,12	1457
28	1,1	B	T	NO	1,00	50,5%	56,6	1,106	11138	18,42	1451
30	1,1	B	T	NO	1,00	48,1%	53,8	1,255	11629	19,08	1444
32	1,5	B	T	NO	1,00	47,3%	52,7	1,380	12299	19,49	1454
34	1,5	B	T	NO	1,00	46,1%	51,3	1,525	12869	20,07	1450
36	1,5	B	T	NO	1,00	45,6%	50,5	1,670	13581	20,60	1445
38	2,2	B	T	NO	1,00	45,9%	50,7	1,780	14043	21,38	1456
40	2,2	B	T	NO	1,00	44,1%	48,7	1,926	14576	21,42	1452
42	2,2	B	T	NO	1,00	42,7%	47,0	2,089	15246	21,49	1448
44	2,2	B	T	NO	1,00	42,0%	46,0	2,308	16393	21,70	1442

TST-56-6T

α [°]	PN	MC	EC	VSD	SR	ηe [%]	N	[kW]	[m³/h]	[mmH ₂ O]	[RPM]
8	0,55	A	S	-	-	-	-	0,077	3225	4,70	994
10	0,55	A	S	-	-	-	-	0,097	3498	4,99	992
12	0,55	A	S	-	-	-	-	0,121	3641	5,50	990
14	0,55	A	S	NO	1,00	43,4%	55,1	0,141	3924	5,73	988
16	0,55	A	S	NO	1,00	40,1%	51,3	0,167	4225	5,83	986
18	0,55	A	S	NO	1,00	37,5%	48,3	0,195	4646	5,77	984
20	0,55	A	S	NO	1,00	37,3%	47,7	0,223	4907	6,22	982
22	0,55	A	S	NO	1,00	35,5%	45,7	0,247	5214	6,17	980
24	0,55	A	S	NO	1,00	33,6%	43,5	0,271	5293	6,31	978
26	0,55	A	S	NO	1,00	33,2%	42,9	0,295	5542	6,49	976
28	0,55	B	T	NO	1,00	47,1%	56,4	0,334	7298	7,91	972
30	0,55	B	T	NO	1,00	44,8%	53,8	0,379	7619	8,19	969
32	0,55	B	T	NO	1,00	43,4%	52,0	0,423	8058	8,37	965
34	0,55	B	T	NO	1,00	42,3%	50,7	0,468	8431	8,61	961
36	0,55	B	T	NO	1,00	41,9%	50,1	0,512	9069	8,70	958
38	0,55	B	T	NO	1,00	41,5%	49,5	0,557	9368	9,07	954
40	0,55	B	T	NO	1,00	39,7%	47,4	0,602	9550	9,20	950
42	0,55	B	T	NO	1,00	38,4%	45,9	0,653	9989	9,22	946
44	0,55	B	T	NO	1,00	37,8%	45,0	0,721	10740	9,32	940

TST-63-2T

α [°]	PN	MC	EC	VSD	SR	ηe [%]	N	[kW]	[m³/h]	[mmH ₂ O]	[RPM]
8	4	C	S	NO	1,01	48,2%	50,3	4,647	13801	59,58	2930
10	5,5	C	S	NO	1,01	47,7%	49,5	5,240	15062	60,95	2925
12	5,5	C	S	NO	1,01	47,0%	48,4	5,900	16392	62,10	2916
14	7,5	C	S	NO	1,01	47,2%	48,4	6,481	17777	63,16	2962
16	7,5	C	S	NO	1,01	46,3%	47,2	7,270	19115	64,69	2957
18	7,5	C	S	NO	1,01	47,0%	47,6	8,043	19736	70,39	2953
20	11	C	S	NO	1,01	47,9%	48,3	8,699	20827	73,50	2954
22	11	C	S	NO	1,01	44,4%	44,5	10,183	22211	74,82	2946
24	11	C	S	NO	1,01	41,3%	41,3	11,648	23509	75,23	2938
26	15	C	S	NO	1,01	39,1%	39,0	13,056	24775	75,68	2969
28	15	B	T	NO	1,01	59,9%	59,7	14,890	35881	91,36	2964
30	18,5	B	T	NO	1,01	58,8%	58,5	16,674	37937	94,99	2951
32	18,5	B	T	NO	1,01	58,0%	57,6	18,487	40069	98,35	2946
34	18,5	B	T	NO	1,01	57,6%	57,2	19,943	44238	95,40	2941
36	22	B	T	NO	1,01	57,8%	57,3	21,625	45504	100,94	2955
38	22	B	T	NO	1,01	58,2%	57,7	23,397	46829	106,91	2951



Erp

Características del punto de máxima eficiencia (BEP)

BEP (best efficiency point) characteristics

Eigenschaften des besten Effizienzpunkts (BEP)

Caractéristiques du point de rendement maximal (BEP)

TST-63-4T

α [°]	PN	MC	EC	VSD	SR	ηe [%]	N	[kW]	[m³/h]	[mmH₂O]	[RPM]
8	0,55	C	S	NO	1,00	49,4%	57,1	0,605	7675	14,31	1431
10	0,75	C	S	NO	1,00	48,9%	56,2	0,695	7963	15,67	1448
12	0,75	C	S	NO	1,00	50,0%	57,0	0,781	8606	16,66	1442
14	0,75	C	S	NO	1,00	49,8%	56,5	0,868	9291	17,07	1436
16	1,1	C	S	NO	1,00	48,2%	54,6	0,966	9692	17,64	1457
18	1,1	C	S	NO	1,00	48,0%	54,1	1,078	10219	18,59	1452
20	1,1	C	S	NO	1,00	47,9%	53,7	1,193	10625	19,76	1447
22	1,5	C	S	NO	1,00	45,0%	50,5	1,360	11327	19,86	1455
24	1,5	C	S	NO	1,00	42,3%	47,4	1,551	12026	20,03	1449
26	1,5	C	S	NO	1,00	40,3%	45,1	1,748	12561	20,60	1442
28	2,2	B	T	NO	1,00	64,2%	68,7	1,953	18581	24,78	1451
30	2,2	B	T	NO	1,00	62,7%	66,9	2,201	19481	26,02	1445
32	2,2	B	T	NO	1,00	61,9%	65,8	2,447	20324	27,38	1439
34	3	B	T	NO	1,00	61,8%	65,5	2,610	21482	27,57	1448
36	3	B	T	NO	1,00	61,7%	65,2	2,810	22995	27,71	1444
38	3	B	T	NO	1,00	62,6%	65,9	3,020	24239	28,64	1440

TST-63-6T

α [°]	PN	MC	EC	VSD	SR	ηe [%]	N	[kW]	[m³/h]	[mmH₂O]	[RPM]
8	0,55	C	S	NO	1,00	48,1%	59,2	0,175	5028	6,14	986
10	0,55	C	S	NO	1,00	46,6%	57,3	0,205	5217	6,73	983
12	0,55	C	S	NO	1,00	47,6%	58,0	0,231	5639	7,15	981
14	0,55	C	S	NO	1,00	47,4%	57,5	0,256	6087	7,33	979
16	0,55	C	S	NO	1,00	44,9%	54,6	0,291	6350	7,57	976
18	0,55	C	S	NO	1,00	44,7%	54,1	0,325	6695	7,98	973
20	0,55	C	S	NO	1,00	44,6%	53,8	0,360	6961	8,48	970
22	0,55	C	S	NO	1,00	41,3%	50,0	0,417	7421	8,53	965
24	0,55	C	S	NO	1,00	38,8%	47,1	0,476	7879	8,60	961
26	0,55	C	S	NO	1,00	36,9%	45,0	0,536	8230	8,84	956
28	0,55	B	T	NO	1,00	57,7%	65,4	0,611	12174	10,64	949
30	0,55	B	T	NO	1,00	56,4%	63,7	0,688	12764	11,17	943
32	0,75	B	T	NO	1,00	57,3%	64,5	0,743	13316	11,75	954
34	0,75	B	T	NO	1,00	56,4%	63,3	0,804	14075	11,84	950
36	0,75	B	T	NO	1,00	56,4%	63,1	0,865	15066	11,90	946
38	0,75	B	T	NO	1,00	57,1%	63,7	0,930	15880	12,29	942

TST-71-4T

α [°]	PN	MC	EC	VSD	SR	ηe [%]	N	[kW]	[m³/h]	[mmH₂O]	[RPM]
8	1,1	C	S	NO	1,00	50,2%	56,5	0,999	10244	17,99	1456
10	1,1	C	S	NO	1,00	48,7%	54,5	1,172	11274	18,59	1448
12	1,1	C	S	NO	1,00	47,9%	53,4	1,346	12330	19,20	1440
14	1,5	C	S	NO	1,00	48,4%	53,6	1,495	13405	19,83	1450
16	1,5	C	S	NO	1,00	45,8%	50,6	1,717	14522	19,88	1443
18	2,2	C	S	NO	1,00	45,2%	49,8	1,906	15360	20,62	1452
20	2,2	C	S	NO	1,00	44,8%	49,1	2,168	16397	21,78	1446
22	2,2	C	S	NO	1,00	42,8%	46,8	2,369	17056	21,84	1441
24	2,2	C	S	NO	1,00	42,2%	45,9	2,566	17819	22,30	1436
26	3	C	S	NO	1,00	42,1%	45,6	2,734	18933	22,31	1445
28	3	C	S	NO	1,00	40,7%	44,0	2,976	19369	22,96	1441
30	3	C	S	NO	1,00	38,7%	41,8	3,225	19849	23,10	1436
32	3	C	S	NO	1,00	37,3%	40,2	3,456	20418	23,20	1431
34	4	C	S	NO	1,00	36,2%	39,0	3,681	21714	22,57	1460
36	4	B	T	NO	1,00	64,6%	67,0	4,158	28986	34,02	1455
38	4	B	T	NO	1,00	62,8%	65,0	4,510	29926	34,78	1451



Erp

Características del punto de máxima eficiencia (BEP)

BEP (best efficiency point) characteristics

Eigenschaften des besten Effizienzpunkts (BEP)

Caractéristiques du point de rendement maximal (BEP)

TST-71-6T

α [°]	PN	MC	EC	VSD	SR	ηe [%]	N	[kW]	[m³/h]	[mmH₂O]	[RPM]
8	0,55	C	S	NO	1,00	46,8%	56,4	0,302	6712	7,72	975
10	0,55	C	S	NO	1,00	45,3%	54,5	0,354	7386	7,98	971
12	0,55	C	S	NO	1,00	44,6%	53,4	0,406	8078	8,24	966
14	0,55	C	S	NO	1,00	44,4%	52,8	0,459	8783	8,51	962
16	0,55	C	S	NO	1,00	42,0%	50,1	0,527	9514	8,53	956
18	0,55	C	S	NO	1,00	40,7%	48,4	0,596	10063	8,85	951
20	0,55	C	S	NO	1,00	40,3%	47,7	0,678	10743	9,35	944
22	0,75	C	S	NO	1,00	39,6%	46,9	0,720	11175	9,37	955
24	0,75	C	S	NO	1,00	39,0%	46,1	0,779	11674	9,57	951
26	0,75	C	S	NO	1,00	38,4%	45,2	0,842	12404	9,58	947
28	0,75	C	S	NO	1,00	37,1%	43,7	0,916	12690	9,86	943
30	1,1	C	S	NO	1,00	36,1%	42,5	0,972	13005	9,92	961
32	1,1	C	S	NO	1,00	34,8%	41,0	1,041	13377	9,96	958
34	1,1	C	S	NO	1,00	33,4%	39,4	1,123	14226	9,69	955
36	1,1	B	T	NO	1,00	59,5%	65,2	1,268	18991	14,60	949
38	1,1	B	T	NO	1,00	57,9%	63,4	1,376	19607	14,93	945

TST-80-4T

α [°]	PN	MC	EC	VSD	SR	ηe [%]	N	[kW]	[m³/h]	[mmH₂O]	[RPM]
8	1,5	C	S	NO	1,00	51,0%	55,9	1,683	13964	22,58	1444
10	2,2	C	S	NO	1,00	49,4%	53,8	1,987	15817	22,78	1450
12	2,2	C	S	NO	1,00	47,0%	51,0	2,417	16923	24,69	1440
14	3	C	S	NO	1,00	47,2%	50,7	2,746	18703	25,45	1445
16	3	C	S	NO	1,00	44,5%	47,4	3,404	20444	27,19	1432
18	4	C	S	NO	1,00	43,6%	46,1	4,011	22304	28,78	1457
20	5,5	C	S	NO	1,00	43,7%	45,8	4,605	23848	30,98	1474
22	5,5	C	S	NO	1,00	44,7%	46,6	4,902	24787	32,44	1473
24	5,5	C	S	NO	1,00	42,9%	44,6	5,410	25791	33,05	1470
26	5,5	C	S	NO	1,00	42,0%	43,5	5,852	26826	33,68	1467
28	7,5	C	S	NO	1,00	41,1%	42,3	6,423	27918	34,75	1473
30	7,5	C	S	NO	1,01	40,4%	41,4	7,090	29984	35,12	1471
32	7,5	C	S	NO	1,01	39,5%	40,2	7,743	31204	35,97	1468

TST-80-6T

α [°]	PN	MC	EC	VSD	SR	ηe [%]	N	[kW]	[m³/h]	[mmH₂O]	[RPM]
8	1,1	C	S	NO	1,00	49,2%	57,5	0,491	9149	9,69	980
10	1,1	C	S	NO	1,00	46,7%	54,5	0,591	10363	9,78	976
12	1,1	C	S	NO	1,00	44,5%	51,8	0,718	11087	10,60	971
14	1,1	C	S	NO	1,00	44,0%	50,9	0,828	12254	10,92	967
16	1,1	C	S	NO	1,00	41,5%	47,7	1,026	13395	11,67	959
18	1,1	C	S	NO	1,00	40,2%	45,9	1,224	14613	12,35	951
20	1,5	C	S	NO	1,00	40,8%	46,2	1,388	15625	13,30	970
22	1,5	C	S	NO	1,00	41,7%	46,9	1,478	16240	13,93	968
24	1,5	C	S	NO	1,00	40,0%	45,0	1,631	16897	14,19	964
26	1,5	C	S	NO	1,00	39,2%	44,0	1,764	17576	14,46	962
28	2,2	C	S	NO	1,00	38,6%	43,2	1,922	18291	14,92	964
30	2,2	C	S	NO	1,00	38,0%	42,3	2,122	19645	15,07	960
32	2,2	C	S	NO	1,00	37,1%	41,1	2,317	20444	15,44	956

TST-80-8T

α [°]	PN	MC	EC	VSD	SR	ηe [%]	N	[kW]	[m³/h]	[mmH₂O]	[RPM]
8	0,55	C	S	NO	1,00	39,4%	49,4	0,266	6934	5,57	734
10	0,55	C	S	NO	1,00	37,5%	46,9	0,321	7854	5,62	731
12	0,55	C	S	NO	1,00	35,7%	44,6	0,390	8403	6,09	727
14	0,55	C	S	NO	1,00	35,3%	43,8	0,449	9287	6,27	724
16	0,55	C	S	NO	1,00	33,3%	41,2	0,557	10152	6,70	718
18	0,55	C	S	NO	1,00	32,2%	39,6	0,664	11075	7,10	711
20	0,55	C	S	NO	1,00	31,9%	38,9	0,772	11842	7,64	705
22	0,55	C	S	NO	1,00	32,6%	39,5	0,822	12308	8,00	702
24	0,75	C	S	NO	1,00	36,2%	43,2	0,785	12806	8,15	719
26	0,75	C	S	NO	1,00	35,5%	42,3	0,849	13321	8,30	717
28	0,75	C	S	NO	1,00	34,3%	40,8	0,942	13863	8,57	713
30	1,1	C	S	NO	1,00	34,2%	40,5	1,026	14889	8,66	715
32	1,1	C	S	NO	1,00	33,4%	39,4	1,121	15494	8,87	712



Erp

Características del punto de máxima eficiencia (BEP)

BEP (best efficiency point) characteristics

Eigenschaften des besten Effizienzpunkts (BEP)

Caractéristiques du point de rendement maximal (BEP)

TST-90-4T

α [°]	PN	MC	EC	VSD	SR	ηe [%]	N	[kW]	[m³/h]	[mmH ₂ O]	[RPM]
8	3	C	S	NO	1,00	51,9%	55,2	3,028	19656	29,36	1440
10	3	C	S	NO	1,00	51,1%	54,0	3,468	23364	27,87	1431
12	4	C	S	NO	1,00	50,5%	53,0	4,049	25081	29,94	1456
14	4	C	S	NO	1,00	50,8%	52,9	4,602	27678	31,02	1450
16	5,5	C	S	NO	1,00	49,1%	50,8	5,393	29635	32,80	1470
18	5,5	C	S	NO	1,00	47,7%	49,0	6,251	31521	34,72	1465
20	7,5	C	S	NO	1,00	46,8%	47,8	7,035	33277	36,37	1471
22	7,5	C	S	NO	1,01	45,2%	45,9	7,879	35009	37,36	1467
24	11	C	S	NO	1,01	44,3%	44,8	8,627	36254	38,77	1479
26	11	C	S	NO	1,01	43,6%	43,7	9,577	37545	40,84	1477
28	11	C	S	NO	1,01	41,7%	41,7	10,667	39574	41,28	1474
30	11	C	S	NO	1,01	40,0%	40,0	11,780	41490	41,74	1471
32	15	C	S	NO	1,01	39,0%	38,9	12,781	43446	42,17	1477

TST-90-6T

α [°]	PN	MC	EC	VSD	SR	ηe [%]	N	[kW]	[m³/h]	[mmH ₂ O]	[RPM]
8	1,5	C	S	NO	1,00	49,6%	56,3	0,891	12878	12,60	981
10	1,5	C	S	NO	1,00	48,9%	55,1	1,020	15307	11,96	978
12	1,5	C	S	NO	1,00	47,7%	53,5	1,205	16432	12,85	974
14	1,5	C	S	NO	1,00	48,0%	53,5	1,370	18134	13,31	970
16	1,5	C	S	NO	1,00	45,8%	50,8	1,625	19416	14,08	965
18	2,2	C	S	NO	1,00	45,3%	49,9	1,850	20652	14,90	965
20	2,2	C	S	NO	1,00	44,0%	48,3	2,106	21802	15,61	960
22	2,2	C	S	NO	1,00	42,5%	46,4	2,358	22937	16,04	955
24	2,2	C	S	NO	1,00	41,1%	44,8	2,615	23753	16,64	950
26	3	C	S	NO	1,00	41,1%	44,5	2,858	24599	17,53	976
28	3	C	S	NO	1,00	39,3%	42,4	3,183	25928	17,72	973
30	3	C	S	NO	1,00	37,7%	40,6	3,515	27183	17,92	970
32	4	C	S	NO	1,00	37,0%	39,7	3,789	28464	18,10	976

TST-90-8T

α [°]	PN	MC	EC	VSD	SR	ηe [%]	N	[kW]	[m³/h]	[mmH ₂ O]	[RPM]
8	0,75	C	S	NO	1,00	44,9%	53,5	0,429	9760	7,24	733
10	0,75	C	S	NO	1,00	44,2%	52,5	0,491	11601	6,87	731
12	0,75	C	S	NO	1,00	43,1%	51,0	0,580	12454	7,38	727
14	0,75	C	S	NO	1,00	43,4%	50,9	0,659	13744	7,65	724
16	0,75	C	S	NO	1,00	41,4%	48,4	0,782	14716	8,09	719
18	0,75	C	S	NO	1,00	40,2%	46,8	0,907	15652	8,56	714
20	1,1	C	S	NO	1,00	39,6%	45,9	1,018	16524	8,97	715
22	1,1	C	S	NO	1,00	38,2%	44,2	1,140	17384	9,21	711
24	1,1	C	S	NO	1,00	37,0%	42,7	1,264	18002	9,56	707
26	1,1	C	S	NO	1,00	36,4%	41,8	1,404	18643	10,07	702
28	1,5	C	S	NO	1,00	36,7%	41,9	1,484	19650	10,18	719
30	1,5	C	S	NO	1,00	35,2%	40,2	1,639	20602	10,29	715
32	1,5	C	S	NO	1,00	34,0%	38,7	1,795	21573	10,40	712

TST-100-4T

α [°]	PN	MC	EC	VSD	SR	ηe [%]	N	[kW]	[m³/h]	[mmH ₂ O]	[RPM]
8	4	C	S	NO	1,00	55,5%	57,8	4,250	28902	29,96	1454
10	5,5	C	S	NO	1,00	52,1%	53,9	5,240	30466	32,94	1471
12	5,5	C	S	NO	1,00	50,3%	51,6	6,210	32807	34,96	1465
14	7,5	C	S	NO	1,00	49,9%	50,9	7,100	35267	36,91	1471
16	7,5	C	S	NO	1,00	47,9%	48,5	8,268	37591	38,73	1466
18	11	C	S	NO	1,01	47,3%	47,5	9,324	39898	40,62	1477
20	11	C	S	NO	1,01	46,6%	46,6	10,492	42175	42,59	1474
22	11	C	S	NO	1,01	43,9%	43,9	12,052	44571	43,65	1470
24	15	C	S	NO	1,01	42,4%	42,2	13,415	47975	43,55	1476
26	15	C	S	NO	1,01	41,0%	40,8	14,939	49411	45,57	1473
28	15	C	S	NO	1,01	40,0%	39,8	16,186	50259	47,37	1471
30	18,5	B	T	NO	1,01	63,4%	63,1	17,435	67547	60,14	1474
32	18,5	B	T	NO	1,00	63,4%	63,0	17,976	81688	51,24	1473



Erp

Características del punto de máxima eficiencia (BEP)

BEP (best efficiency point) characteristics

Eigenschaften des besten Effizienzpunkts (BEP)

Caractéristiques du point de rendement maximal (BEP)

TST-100-6T

α [°]	PN	MC	EC	VSD	SR	ηe [%]	N	[kW]	[m³/h]	[mmH₂O]	[RPM]
8	2,2	C	S	NO	1,00	53,4%	59,1	1,242	18936	12,86	976
10	2,2	C	S	NO	1,00	49,5%	54,7	1,551	19961	14,14	971
12	2,2	C	S	NO	1,00	47,8%	52,4	1,838	21494	15,01	965
14	2,2	C	S	NO	1,00	46,9%	51,2	2,125	23106	15,84	960
16	2,2	C	S	NO	1,00	45,0%	48,9	2,474	24629	16,62	953
18	3	C	S	NO	1,00	44,6%	48,1	2,782	26140	17,44	976
20	3	C	S	NO	1,00	43,9%	47,1	3,131	27632	18,28	974
22	4	C	S	NO	1,00	42,1%	45,0	3,539	29202	18,74	977
24	4	C	S	NO	1,00	40,2%	42,8	3,983	30892	19,06	974
26	4	C	S	NO	1,00	38,9%	41,2	4,429	32373	19,56	971
28	5,5	C	S	NO	1,00	38,5%	40,6	4,730	32928	20,34	977
30	5,5	B	T	NO	1,00	60,7%	62,5	5,125	44255	25,82	976
32	5,5	B	T	NO	1,00	60,6%	62,4	5,284	53520	22,00	975

TST-100-8T

α [°]	PN	MC	EC	VSD	SR	ηe [%]	N	[kW]	[m³/h]	[mmH₂O]	[RPM]
8	1,5	C	S	NO	1,00	50,6%	58,5	0,570	14351	7,39	738
10	1,5	C	S	NO	1,00	47,0%	54,2	0,712	15128	8,12	735
12	1,5	C	S	NO	1,00	45,3%	52,1	0,844	16290	8,62	732
14	1,5	C	S	NO	1,00	44,5%	50,9	0,975	17512	9,10	729
16	1,5	C	S	NO	1,00	42,7%	48,7	1,136	18666	9,55	726
18	1,5	C	S	NO	1,00	41,6%	47,3	1,297	19811	10,02	723
20	1,5	C	S	NO	1,00	41,0%	46,3	1,460	20942	10,50	719
22	1,5	C	S	NO	1,00	38,7%	43,6	1,677	22132	10,76	715
24	1,5	C	S	NO	1,00	37,0%	41,6	1,887	23413	10,95	710
26	2,2	C	S	NO	1,00	36,7%	41,0	2,046	24535	11,24	724
28	2,2	C	S	NO	1,00	35,8%	39,9	2,217	24956	11,68	721
30	2,2	B	T	NO	1,00	56,4%	60,3	2,403	33541	14,83	719
32	2,2	B	T	NO	1,00	56,3%	60,2	2,477	40562	12,63	718

TST-125-4T/3

α [°]	PN	MC	EC	VSD	SR	ηe [%]	N	[kW]	[m³/h]	[mmH₂O]	[RPM]
8	7,5	C	S	NO	1,00	51,3%	52,1	7,732	41511	35,13	1468
10	11	C	S	NO	1,00	52,6%	52,9	9,098	46792	37,56	1478
12	11	C	S	NO	1,00	53,7%	53,7	10,561	52185	39,90	1474
14	11	C	S	NO	1,01	55,1%	55,0	12,025	57655	42,19	1471
16	15	C	S	NO	1,01	54,9%	54,8	13,664	62205	44,33	1475
18	15	C	S	NO	1,01	54,3%	54,0	15,545	67316	46,06	1472
20	18,5	C	S	NO	1,01	54,4%	54,0	17,323	72427	47,79	1474
22	18,5	C	S	NO	1,01	52,2%	51,7	19,993	77315	49,54	1470
24	22	C	S	NO	1,01	50,6%	50,1	22,394	82218	50,63	1472
26	30	C	S	NO	1,01	51,1%	50,5	24,524	84773	54,27	1485
28	30	C	S	NO	1,01	47,9%	47,2	27,084	90252	52,81	1483
30	30	C	S	NO	1,01	46,0%	45,2	29,766	94744	53,05	1482
32	30	C	S	NO	1,01	44,1%	43,3	32,197	96187	54,28	1480
34	37	C	S	NO	1,01	41,5%	40,6	35,389	105433	51,16	1482
36	37	B	T	NO	1,01	72,5%	71,6	39,195	121252	86,13	1480
38	45	B	T	NO	1,01	72,3%	71,2	42,145	125685	89,03	1478



Erp

Características del punto de máxima eficiencia (BEP)

BEP (best efficiency point) characteristics

Eigenschaften des besten Effizienzpunkts (BEP)

Caractéristiques du point de rendement maximal (BEP)

TST-125-4T/6

α [°]	PN	MC	EC	VSD	SR	ηe [%]	N	[kW]	[m³/h]	[mmH ₂ O]	[RPM]
8	11	C	S	NO	1,01	56,8%	56,8	12,019	48508	51,71	1471
10	15	C	S	NO	1,01	56,0%	55,8	14,423	52757	56,25	1474
12	18,5	C	S	NO	1,01	56,5%	56,2	16,578	58230	59,12	1475
14	18,5	C	S	NO	1,01	57,1%	56,7	18,813	63848	61,84	1472
16	22	C	S	NO	1,01	56,4%	55,9	21,703	68837	65,30	1473
18	30	C	S	NO	1,01	56,1%	55,5	24,370	77896	64,43	1485
20	30	C	S	NO	1,01	56,3%	55,6	27,347	80997	69,77	1483
22	30	C	S	NO	1,01	54,5%	53,7	30,990	85910	72,17	1481
24	37	C	S	NO	1,01	53,6%	52,7	34,666	88480	77,19	1483
26	37	C	S	NO	1,01	52,1%	51,1	38,796	93638	79,23	1481
28	45	C	S	NO	1,01	49,6%	48,5	44,005	102038	78,56	1477
30	55	C	S	NO	1,01	46,8%	45,7	48,644	106474	78,56	1479
32	55	C	S	NO	1,01	44,4%	43,1	53,455	110911	78,56	1477
34	55	C	S	NO	1,01	42,1%	40,8	58,161	116500	77,12	1475
36	75	B	T	NO	1,01	70,2%	68,8	64,063	136742	120,78	1488
38	75	B	T	NO	1,01	70,2%	68,8	69,029	142272	125,19	1487

TST-125-4T/9

α [°]	PN	MC	EC	VSD	SR	ηe [%]	N	[kW]	[m³/h]	[mmH ₂ O]	[RPM]
8	18,5	C	S	NO	1,01	69,3%	68,9	17,720	37304	120,90	1474
10	18,5	C	S	NO	1,01	59,8%	59,4	19,295	56423	75,15	1471
12	22	C	S	NO	1,01	57,1%	56,6	21,805	61289	74,68	1473
14	22	C	S	NO	1,01	55,7%	55,1	23,707	73859	65,67	1470
16	30	C	S	NO	1,01	53,2%	52,5	28,561	80439	69,38	1482
18	37	C	S	NO	1,01	52,2%	51,4	33,442	87528	73,29	1483
20	37	C	S	NO	1,01	51,7%	50,8	38,503	94456	77,46	1481
22	45	C	S	NO	1,01	50,6%	49,6	43,142	97688	82,16	1478
24	45	C	S	NO	1,01	50,1%	48,9	47,794	101406	86,68	1475
26	55	C	S	NO	1,01	50,6%	49,4	52,342	106241	91,67	1478
28	55	C	S	NO	1,01	49,4%	48,1	58,152	112236	93,94	1475
30	75	C	S	NO	1,01	49,3%	47,9	63,649	120361	95,67	1488
32	75	C	S	NO	1,01	48,2%	46,8	69,211	125253	97,81	1487
34	75	C	S	NO	1,01	45,7%	44,2	75,996	130939	97,53	1486
36	90	B	T	NO	1,01	72,4%	70,8	83,094	145177	152,12	1487
38	90	B	T	NO	1,02	70,2%	68,6	90,538	149120	156,66	1486

TST-125-6T/3

α [°]	PN	MC	EC	VSD	SR	ηe [%]	N	[kW]	[m³/h]	[mmH ₂ O]	[RPM]
8	3	C	S	NO	1,00	49,0%	53,1	2,278	27197	15,08	981
10	3	C	S	NO	1,00	49,6%	53,2	2,715	30657	16,12	977
12	3	C	S	NO	1,00	50,6%	53,8	3,152	34190	17,13	973
14	4	C	S	NO	1,00	52,7%	55,6	3,531	37774	18,11	977
16	4	C	S	NO	1,00	52,1%	54,6	4,051	40755	19,03	974
18	4	C	S	NO	1,00	51,5%	53,7	4,608	44104	19,77	970
20	5,5	C	S	NO	1,00	52,0%	53,9	5,092	47452	20,51	976
22	5,5	C	S	NO	1,00	49,9%	51,4	5,877	50654	21,27	972
24	7,5	C	S	NO	1,00	49,7%	50,9	6,486	53010	22,32	977
26	7,5	C	S	NO	1,00	48,9%	49,8	7,224	56526	22,97	974
28	7,5	C	S	NO	1,00	46,3%	46,9	7,973	59317	22,84	972
30	11	C	S	NO	1,00	44,7%	45,1	8,615	62074	22,77	979
32	11	C	S	NO	1,00	43,0%	43,2	9,358	64946	22,76	977
34	11	C	S	NO	1,00	40,2%	40,2	10,268	68214	22,21	975
36	11	B	T	NO	1,00	70,1%	70,1	11,398	79441	36,97	972
38	15	B	T	NO	1,00	70,1%	70,0	12,217	82345	38,21	974



Erp

Características del punto de máxima eficiencia (BEP)

BEP (best efficiency point) characteristics

Eigenschaften des besten Effizienzpunkts (BEP)

Caractéristiques du point de rendement maximal (BEP)

TST-125-6T/6

α [°]	PN	MC	EC	VSD	SR	ηe [%]	N	[kW]	[m³/h]	[mmH ₂ O]	[RPM]
8	4	C	S	NO	1,00	54,4%	57,3	3,530	31781	22,20	977
10	4	C	S	NO	1,00	53,1%	55,5	4,276	34565	24,14	972
12	5,5	C	S	NO	1,00	54,1%	56,1	4,873	38151	25,38	977
14	5,5	C	S	NO	1,00	54,7%	56,3	5,530	41832	26,55	974
16	7,5	C	S	NO	1,00	54,6%	55,8	6,307	45100	28,03	978
18	7,5	C	S	NO	1,00	53,8%	54,8	7,137	51036	27,66	975
20	7,5	C	S	NO	1,00	54,0%	54,6	8,009	53067	29,95	972
22	11	C	S	NO	1,00	52,9%	53,2	8,969	56286	30,98	978
24	11	C	S	NO	1,00	51,5%	51,6	10,146	57719	33,26	975
26	11	C	S	NO	1,00	50,3%	50,3	11,282	61349	34,01	972
28	15	C	S	NO	1,00	48,1%	48,0	12,756	66852	33,72	973
30	15	C	S	NO	1,00	45,2%	45,0	14,156	69759	33,72	970
32	15	C	S	NO	1,00	42,9%	42,6	15,556	72666	33,72	967
34	18,5	C	S	NO	1,00	40,9%	40,6	16,829	76327	33,10	979
36	18,5	B	T	NO	1,01	67,8%	67,4	18,637	89589	51,84	977
38	18,5	B	T	NO	1,01	67,9%	67,4	20,081	93213	53,74	975

TST-125-6T/9

α [°]	PN	MC	EC	VSD	SR	ηe [%]	N	[kW]	[m³/h]	[mmH ₂ O]	[RPM]
8	5,5	C	S	NO	1,01	66,3%	68,1	5,209	24441	51,89	975
10	5,5	C	S	NO	1,00	57,2%	58,8	5,672	36967	32,26	973
12	7,5	C	S	NO	1,00	55,3%	56,6	6,337	40155	32,06	978
14	7,5	C	S	NO	1,00	53,9%	54,9	6,890	48390	28,19	976
16	7,5	C	S	NO	1,00	51,1%	51,6	8,364	52702	29,78	970
18	11	C	S	NO	1,00	50,5%	50,6	9,725	57346	31,46	976
20	11	C	S	NO	1,00	50,0%	50,0	11,197	61885	33,25	973
22	15	C	S	NO	1,00	49,1%	49,0	12,506	64003	35,27	974
24	15	C	S	NO	1,00	48,9%	48,7	13,845	65542	37,94	971
26	15	C	S	NO	1,01	48,9%	48,7	15,232	69606	39,35	968
28	18,5	C	S	NO	1,01	48,0%	47,6	16,827	73534	40,32	979
30	18,5	C	S	NO	1,01	47,6%	47,2	18,516	78857	41,07	977
32	18,5	C	S	NO	1,01	46,6%	46,1	20,134	82062	41,98	975
34	22	C	S	NO	1,01	44,6%	44,1	21,901	85787	41,86	977
36	30	B	T	NO	1,01	70,8%	70,2	23,874	95116	65,30	989
38	30	B	T	NO	1,01	68,8%	68,1	26,013	97699	67,25	988